

การศึกษาปัจจัยที่ควบคุมการเกิดตะกรันในหม้อไอน้ำของโรงไฟฟ้าเมื่อเมื่อ

นาย พิธา ศรีบุศย์ดี

วิทยานิพนธ์นี้เป็นส่วนหนึ่งของการศึกษาตามหลักสูตรปริญญาวิศวกรรมศาสตรมหาบัณฑิต

สาขาวิชาวิศวกรรมทรัพยากรถโนรี ภาควิชาวิศวกรรมเหมืองแร่และปิโตรเลียม

คณะวิศวกรรมศาสตร์ จุฬาลงกรณ์มหาวิทยาลัย

ปีการศึกษา 2552

ลิขสิทธิ์ของจุฬาลงกรณ์มหาวิทยาลัย

STUDY OF FACTORS CONTROLLING SLAG FORMATION IN BOILER OF MAE MOH  
POWER PLANT

Mr.Pitha Sribuddee

A Thesis Submitted in Partial Fulfillment of the Requirements  
for the Degree of Master of Engineering Program in Georesources Engineering

Department of Mining and Petroleum Engineering

Faculty of Engineering  
Chulalongkorn University

Academic Year 2009

Copyright of Chulalongkorn University

หัวขอวิทยานิพนธ์ การศึกษาปัจจัยที่ควบคุมการเกิดตะกรันในหม้อไอน้ำของ  
 ใจไฟฟ้าแม่เมะ  
 โดย นายพิชา ศรีบุศย์  
 สาขาวิชา วิศวกรรมทรัพยากรถยนต์  
 อาจารย์ที่ปรึกษาวิทยานิพนธ์หลัก รองศาสตราจารย์ ดร.กิญโญ มีจำนวน  
 อาจารย์ที่ปรึกษาวิทยานิพนธ์ร่วม ผู้ช่วยศาสตราจารย์ ดร.สุรพล ภูวิจิตร

---

คณะวิศวกรรมศาสตร์ จุฬาลงกรณ์มหาวิทยาลัย อนุมัติให้แนบวิทยานิพนธ์  
 ฉบับนี้เป็นส่วนหนึ่งของการศึกษาตามหลักสูตรปริญญาบัณฑิต

..... คณบดีคณะวิศวกรรมศาสตร์  
 (รองศาสตราจารย์ ดร.บุญสม เลิศนิรถุวงศ์)

คณะกรรมการสอบวิทยานิพนธ์

..... ประธานกรรมการ  
 (รองศาสตราจารย์ ดร.ดาวลีย์ วิวาระนนະเดช)

..... อาจารย์ที่ปรึกษาวิทยานิพนธ์หลัก  
 (รองศาสตราจารย์ ดร.กิญโญ มีจำนวน)

..... อาจารย์ที่ปรึกษาวิทยานิพนธ์ร่วม  
 (ผู้ช่วยศาสตราจารย์ ดร.สุรพล ภูวิจิตร)

..... กรรมการสอนมหาวิทยาลัย  
 (ผู้ช่วยศาสตราจารย์ ดร.เทียนไชย ตันไทย)

จุฬาลงกรณ์มหาวิทยาลัย

พิธี ศรีบุศย์ดี : การศึกษาปัจจัยที่ควบคุมการเกิดตะกรันในหม้อไอน้ำของโรงไฟฟ้าแม่เมาะ. (STUDY OF FACTORS CONTROLLING SLAG FORMATION IN BOILER OF MAE MOH POWER PLANT) อ.ที่ปรึกษาวิทยานิพนธ์หลัก: รศ.ดร.กัญญา มีชานะ, อ.ที่ปรึกษาวิทยานิพนธ์ร่วม: ผศ.ดร.สุรพลด ภูวิจิตร, ๙๔ หน้า.

ตะกรัน (Slag) ที่เกิดขึ้นในโรงไฟฟ้าแม่เมาะสร้างปัญหาในการผลิตกระแสไฟฟ้าอย่างมากเนื่องจากการที่มีตะกรันไปติดอยู่ในผังเตาของหม้อไอน้ำของโรงไฟฟ้า ซึ่งสาเหตุหลักที่ก่อให้เกิดตะกรันคือ ถ่านหินที่มีปริมาณร้อยละของ CaO ที่อยู่ในช่วง 23-35% การทดลองนำเอาตัวอย่างถ่านหินจำนวนสามตัวอย่าง ซึ่งมีปริมาณร้อยละของ CaO แตกต่างกันคือ ตัวอย่างที่มีค่า CaO ต่ำ (2.24%) ค่า CaO ปานกลาง (27.34%) และ ตัวอย่างที่มีค่า CaO สูง (31.81%) นำไปหาค่าอุณหภูมิเริ่มต้นของการหลอม (Initial Deforming Temperature: IT) ของเด้า พบว่า อุณหภูมิการหลอมของตัวอย่าง ที่มีค่า CaO ปานกลาง มีค่า IT = 1,197 °C (อุณหภูมิต่ำสุด) ซึ่งต่ำกว่าอุณหภูมิในเตาเผาหม้อไอน้ำ (1,200 °C) ตัวอย่างที่มีค่า CaO สูง มีค่า IT = 1,301 °C และ ตัวอย่างที่มีค่า CaO ต่ำ จะมีค่า IT มากกว่า 1,500 °C หลังจากนั้นนำตัวอย่างถ่านหินทั้งสามมาเผาที่อุณหภูมิ 800 °C, 900 °C, 1,000 °C, 1,100 °C และ 1,200 °C แล้วนำเด้าที่ได้มายิ่งหะด้วยวิธี X-Ray Diffraction (XRD) เพื่อหารายละเอียดของแร่ในแต่ละอุณหภูมิของตัวอย่าง พบว่าเมื่อเผาตัวอย่างที่มีค่า CaO ปานกลางที่อุณหภูมิ 1,100 °C เกิดแร่เกลโนไลต์ (Gehlenite) ซึ่งเป็นแร่ชนิดเดียวที่กับที่พบร่วมกับตัวอย่างตะกรันที่ได้เก็บตัวอย่างมาจากโรงไฟฟ้าแม่เมาะจำนวน 3 ตัวอย่าง จากนั้นได้นำตัวอย่างถ่านหินที่ผสมกันระหว่าง ตัวอย่างที่มีค่า CaO ต่ำ กับตัวอย่างที่มีค่า CaO ปานกลาง ในอัตราส่วนต่าง ๆ นำไปเผาที่อุณหภูมิต่าง ๆ กันพบว่า ตัวอย่างถ่านหินผสมระหว่าง ที่มีค่า CaO ต่ำ 20% กับ ที่มีค่า CaO ปานกลาง 80% (IT = 1,322 °C) เกิดแร่เกลโนไลต์ที่อุณหภูมิระหว่าง 800 °C - 1,100 °C และเมื่อนำตัวอย่างเด้ามาหาองค์ประกอบของได้แก่ปริมาณร้อยละของ  $\text{SiO}_2$ , CaO และ  $\text{Al}_2\text{O}_3$  มาพิจารณาใน Ternary Phase Diagram พบว่าตัวอย่างที่มีค่า CaO ปานกลางและตัวอย่างถ่านหินผสมดังกล่าวซึ่งตั้งต้นอยู่ในบริเวณของแร่เกลโนไลต์ที่มีอุณหภูมิของการหลอมตัวต่ำ อาจสรุปได้ว่าการควบคุมให้ปริมาณ  $\text{SiO}_2$ , CaO และ  $\text{Al}_2\text{O}_3$  ในเด้าถ่านหินเพื่อมิให้อยู่ในบริเวณของการหลอมตัวต่ำ (Low-Temperature Eutectic Region) จะป้องกันการเกิดตะกรันได้

ภาควิชา.....วิศวกรรมเหมืองแร่และปิโตรเลียม..ลายมือชื่อนิสิต.....  
พิธี ศรีบุศย์ดี  
 สาขาวิชา....วิศวกรรมทรัพยากรถถ่าน.....ลายมือชื่อ อ.ที่ปรึกษาวิทยานิพนธ์หลัก.....  
 ปีการศึกษา..2552.....ลายมือชื่อ อ.ที่ปรึกษาวิทยานิพนธ์ร่วม...  
บูรณ์

## 5070592021: MAJOR GEORESOURCES ENGINEERING

KEYWORDS : SLAG / LIGNITE COAL / ASH COMPOSITION / ASH FUSION / GEHENITE

PITHA SRIBUDDEE: STUDY OF FACTORS CONTROLLING SLAG FORMATION IN BOILER OF MAE MOH POWER PLANT. THESIS ADVISOR: ASSOC.PROF. PINYO MEECHUMNA, Ph.D., THESIS CO-ADVISOR: ASST.PROF. SURAPOL POOVICHIT, Ph.D., 94 pp.

Boiler slagging has been recognized as one of the most troublesome operational problems associated with pulverized coal combustion of Mae Moh power plants. It has been noticed that CaO content in the range of 23-35% of coal ash creates boiler slagging problem. Study of minerals and ash fusion characteristics of three kinds of coal samples namely low CaO (2.24%), medium CaO (27.34%) and high (31.81%) have been conducted. It has been found that Initial Deforming Temperature (IT) of the ash of the three samples respectively are > 1,500°C, 1,197°C and 1,301°C. The IT analyses show 27.34% CaO has the lowest IT (1,197°C) which is lower than minimum temperature in boiler (1,200°C). These samples were put in furnaces to be combusted at 800°C - 1,200°C at 100°C intervals and ashes obtained were analyzed by XRD to identify mineral phases contained in the ashes. Gehlenite has been identified in coal ash (slag) when medium CaO coal was combusted. Boiler slags collected from Mae Moh power plants has also been found to contain gehlenite. Blending of low and medium CaO samples at different proportion has been done and gehlenite has been identified at the temperature between 800°C - 1,000°C in the blended coal samples (especially with 20% low CaO + 80% medium CaO sample). Three oxides namely SiO<sub>2</sub>, CaO and Al<sub>2</sub>O<sub>3</sub> analyzed in the coal ash plotted into the ternary phase diagram shows that medium CaO sample is in gehlenite area of the diagram which is closed to low – melting eutectic temperature region.

Department:.....Mining and Petroleum Engineering Student's Signature.....

Field of Study :....Georesources Engineering..... Advisor's Signature .....

Academic Year :2009..... Co-Advisor's Signature .....

## กิตติกรรมประกาศ

ข้าพเจ้าขอขอบพระคุณรองศาสตราจารย์ ดร. วิญญา มีชานะ อาจารย์ที่ปรึกษา  
หลัก และผู้ช่วยศาสตราจารย์ ดร. สุรพล ภูวิจิตร อาจารย์ที่ปรึกษาร่วม ที่ได้ให้คำปรึกษาแนะนำ  
ทางการวิจัยและข้อคิดเห็นในการแก้ไขปัญหาต่างๆ ตลอดจนช่วยแก้ไข และคอยกระตุนให้  
วิทยานิพนธ์ฉบับนี้สำเร็จลุล่วงไปได้ด้วยดี

ขอขอบพระคุณคณะกรรมการสอบวิทยานิพนธ์ ชี้ประกอบด้วย รอง  
ศาสตราจารย์ ดร.ดาวัลย์ วิวรรณเดช ประธานกรรมการ และผู้ช่วยศาสตราจารย์ ดร.เทียนไชย  
ตันไทย กรรมการภาຍนอกราชวิทยาลัย และขอขอบพระคุณอ.อุทิศ ทองกลึง และคุณพงศธร รุ่ง  
เจริญ ที่เป็นที่ปรึกษาในด้านเครื่องมือที่ใช้ในการทดลอง และบุคลากรในภาควิชาชีวกรรมเมื่อง  
แร่และปิโตรเลียมทุกท่านที่อำนวยความสะดวก ให้คำแนะนำที่เป็นประโยชน์ ทำให้งานวิจัยครั้งนี้  
สำเร็จได้ตามเป้าหมาย

ขอขอบพระคุณเจ้าหน้าที่การไฟฟ้าฝ่ายผลิตแห่งประเทศไทย สำเร็จฯ  
จังหวัดลำปาง โดยคุณจำพล กิตติโซติกุล คุณกนิษฐา วงศ์ใหญ่ และเจ้าหน้าที่ท่านอื่นทุกท่านที่ได้  
สนับสนุนด้านข้อมูลและคำปรึกษาที่เกี่ยวข้องวิทยานิพนธ์ฉบับนี้

สุดท้ายนี้ ผู้วิจัยขอกราบขอบพระคุณ บิดา-มารดา ชี้งสนับสนุนด้านการเงิน และ  
ให้กำลังใจแก่ผู้วิจัยเสมอมาจนสำเร็จการศึกษา และท้ายที่สุดผู้วิจัยขอขอบคุณ เพื่อน พี่ น้องๆ  
และบุคคลที่ไม่ได้เอียนามในที่นี้ ที่ได้สนับสนุนและช่วยเหลือผู้วิจัยตลอดมา

**ศูนย์วิทยหัพยการ**  
**จุฬาลงกรณ์มหาวิทยาลัย**

## สารบัญ

	หน้า
บทคัดย่อภาษาไทย.....	๑
บทคัดย่อภาษาอังกฤษ.....	๑
กิตติกรรมประกาศ.....	๙
สารบัญ.....	๙
สารบัญตราสาร.....	๙
สารบัญรูป.....	๙
 บทที่	
1    บทนำ.....	1
1.1    ความเป็นมาและความสำคัญของปัญหา.....	1
1.2    วัตถุประสงค์ของการวิจัย.....	2
1.3    ขอบเขตของการวิจัย.....	2
1.4    ประโยชน์ที่คาดว่าจะได้รับ.....	3
2    ทฤษฎีและงานวิจัยที่เกี่ยวข้อง.....	4
2.1    ถ่านหิน.....	4
2.1.1    การเกิดถ่านหิน.....	5
2.1.2    การจำแนกชนิดของถ่านหิน.....	7
2.2    ถ่านหินและลิกไนต์ในประเทศไทย.....	7
2.3    ลักษณะแหล่งถ่านหินแม่เมะ.....	8
2.3.1    ลักษณะภูมิประเทศ.....	8
2.3.2    ลักษณะธรณีวิทยาทั่วไป.....	9
2.3.3    ลักษณะโครงสร้างธรณีวิทยาของแม่เมะ.....	10
2.3.4    ลำดับชั้นหิน.....	12
2.4    การวิเคราะห์คุณภาพถ่านหิน.....	13
2.5    ตะกรัน.....	14
2.6    เอกสารและงานวิจัยที่เกี่ยวข้อง.....	15
3    วิธีดำเนินการวิจัย.....	28
3.1    แผนการศึกษาวิจัย.....	28
3.2    เครื่องมือและอุปกรณ์ในการวิจัย.....	28

บทที่	หน้า
3.3 ตัวอย่างที่ใช้ในงานวิจัย.....	29
3.3.1 ตัวอย่างถ่านหิน.....	29
3.3.2 ตัวอย่างตะกรัน.....	32
3.4 ขั้นตอนการทำวิจัย.....	34
3.4.1 การเตรียมและวิเคราะห์ตัวอย่างถ่านหิน.....	34
3.4.2 การเตรียมและวิเคราะห์ตัวอย่างตะกรัน.....	36
4 ผลการทดลองและการวิเคราะห์ผลการทดลอง.....	37
4.1 ผลการวิเคราะห์ตัวอย่างถ่านหินด้วยเครื่อง X-Ray Diffractometer (XRD)....	37
4.1.1 ผลการวิเคราะห์ที่ได้จากการหาอุณหภูมิการหลอมของถ่านหิน.....	37
4.1.2 ผลการวิเคราะห์ตัวอย่างถ่านหินที่ผ่านการเผาที่อุณหภูมิต่างๆ กันด้วยเครื่อง X-Ray Diffractometer (XRD).....	38
4.2 ผลการวิเคราะห์ที่ได้จากการหาอุณหภูมิการหลอมของถ่านหิน และผลการวิเคราะห์ตัวอย่างถ่านหินผสมระหว่าง Q2 และ Q4 ที่ผ่านการเผาที่อุณหภูมิต่างๆ กันด้วยเครื่อง XRD.....	42
4.2.1 ผลการวิเคราะห์ที่ได้จากการหาอุณหภูมิการหลอมของถ่านหิน.....	42
4.2.2 ผลการวิเคราะห์ตัวอย่างถ่านหินผสมระหว่าง Q2 และ Q4 ที่ผ่านการเผาที่อุณหภูมิต่างๆ กันด้วยเครื่อง X-Ray Diffractometer.....	43
4.3 ผลการวิเคราะห์ตัวอย่างตะกรันด้วยเครื่อง X-Ray Diffractometer (XRD).....	47
5 สรุปผลการวิจัย และข้อเสนอแนะ.....	54
5.1 สรุปผลการทดลอง.....	54
5.2 ข้อเสนอแนะ.....	55
รายงานอ้างอิง.....	57
ภาคผนวก.....	59
ประวัติผู้เขียนวิทยานิพนธ์.....	94

ต้นฉบับไม่มีหน้านี้

**NO THIS PAGE IN ORIGINAL**

ศูนย์วิทยทรัพยากร  
อุปlogenกรณมหาวิทยาลัย

## สารบัญตาราง

ตาราง	หน้า
1.1 สารประกอบ หรือแร่ ที่อาจเป็นองค์ประกอบอยู่ในถ่านหินลิกไนต์.....	6
2.1 องค์ประกอบทางเคมีของแร่ของตัวอย่างถ่านหิน I, J และ K.....	19
2.2 ลักษณะของการหลอมตัว ณ อุณหภูมิหนึ่งของตัวอย่าง.....	20
2.3 แสดงปริมาณองค์ประกอบทางเคมีของแร่ (ร้อยละโดยน้ำหนัก), สารอินทรีย์ (ร้อยละโดยน้ำหนัก), และค่าความร้อนที่สูญเสียไปของตัวอย่างเด็กาม.....	24
2.4 แสดงอัทธิพลของการเติม CaO ที่ทำให้อุณหภูมิของการหลอมเปลี่ยนไป.....	27
3.1 แสดงผลการทดสอบองค์ประกอบเบเคมีของชี้เด็กากของตัวอย่างถ่านหิน.....	34
4.1 แสดงอุณหภูมิของการหลอมตัวของเด็กากตัวอย่าง Q2, Q4 และ K3.....	37
4.2 อุณหภูมิของการหลอมตัวของเด็กากตัวอย่าง Q2 ที่ผสมกับ Q4 ในปริมาณต่าง ๆ....	42

**ศูนย์วิทยหัพยากร  
จุฬาลงกรณ์มหาวิทยาลัย**

## สารบัญภาพ

ภาพที่	หน้า
1.1 กราฟแสดงความสัมพันธ์ระหว่าง %CaO และค่า IT.....	1
1.2 แสดงคุณภาพถ่านหินโดยดูจากค่าบริมาณ %CaO ที่มากกว่า 23% ซึ่งเริ่มเกิดปัญหาตะกรันมากขึ้นในปี พ.ศ. 2563.....	2
1.3 ผลการศึกษาของ JGSEE.....	3
1.4 ผลการทดลองของ บริษัท Taiho Industries จำกัด.....	5
1.5 แสดงการพองตัว ของ Silica-base Additive ในการแก้ปัญหาแตก.....	5
2.1 แสดงบริเวณที่มีการทำเหมืองถ่านหิน.....	12
2.2 แสดงลักษณะทางธรณีวิทยาของเหมืองแม่เมะ.....	14
2.3 แผนที่ทางธรณีวิทยาและลำดับชั้นหินของเหมืองแม่เมะ.....	15
2.4 แผนที่ทางธรณีวิทยาและลำดับชั้นหินของเหมืองแม่เมะ.....	16
2.5 กราฟของ XRD ที่ได้จากการวิเคราะห์ตัวอย่างถ่านหิน I, J และ K.....	20
2.6 กราฟแสดงความสัมพันธ์ระหว่างบริมาณความเข้มข้นของ XRD กับอุณหภูมิของตัวอย่างถ่านหิน 20% I ผสมกับถ่านหิน 80% J.....	21
2.7 กราฟแสดงความสัมพันธ์ระหว่างบริมาณความเข้มข้นของ XRD กับอุณหภูมิของตัวอย่างถ่านหิน J 40% ผสมกับถ่านหิน K 60%.....	22
2.8 Ternary Phase Diagram ระหว่าง CaO-Al <sub>2</sub> O <sub>3</sub> -SiO <sub>2</sub> .....	23
2.9 กราฟ XRD ของตัวอย่างวิเคราะห์ที่อุณหภูมิ 1,300 °C.....	25
2.10 แสดงข้อมูลจาก XRD ของตัวอย่างที่อุณหภูมิ 1,400 °C .....	25
2.11 แสดงอุณหภูมิการหลอมของตัวอย่างเมื่อเติม CaO ในปริมาณต่าง ๆ .....	26
3.1 แสดงการเก็บตัวอย่างของ Q2.....	29
3.2 แสดงการเก็บตัวอย่างของ Q4.....	30
3.3 แสดงการเก็บตัวอย่างของ K3.....	30
3.4 ตัวอย่างถ่านหิน Q2.....	31
3.5 ตัวอย่างถ่านหิน Q4.....	31
3.6 ตัวอย่างถ่านหิน K3.....	32
3.7 ตัวอย่าง Slag A.....	32
3.8 ตัวอย่าง Slag B.....	33
3.9 ตัวอย่าง Slag C.....	33

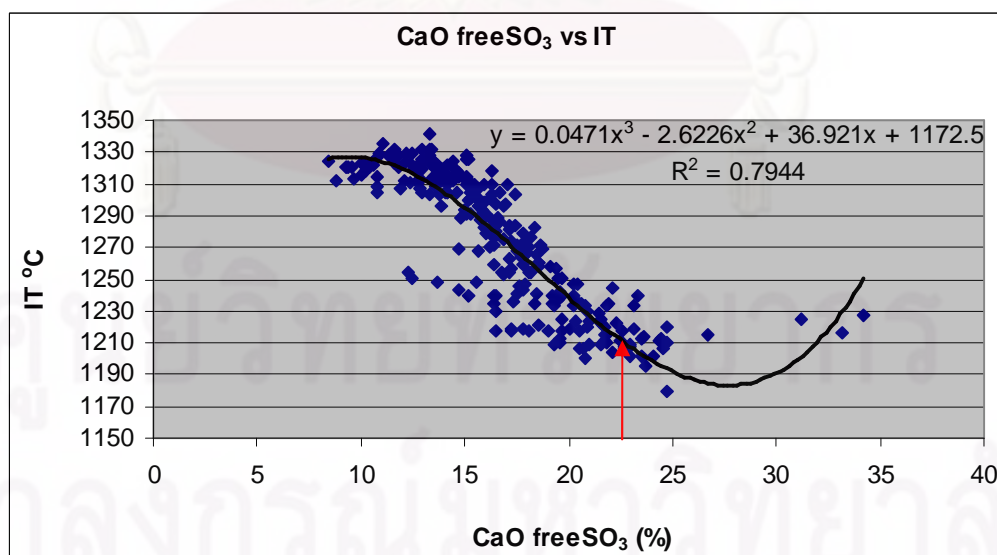
ภาพที่		หน้า
3.10	รูป่างของพีรามิดในแต่ละค่าของอุณหภูมิการหลอม.....	35
4.1	แสดงผลวิเคราะห์ XRD ซึ่งแสดงการเกิดของแร่ในถ่านหิน Q2 ซึ่งผ่านการเผาที่อุณหภูมิต่าง ๆ .....	38
4.2	แสดงผลวิเคราะห์ XRD ซึ่งแสดงการเกิดของแร่ในถ่านหิน Q4 ซึ่งผ่านการเผาที่อุณหภูมิต่าง ๆ .....	39
4.3	แสดงผลวิเคราะห์ XRD ซึ่งแสดงการเกิดของแร่ในถ่านหิน K3 ซึ่งผ่านการเผาที่อุณหภูมิต่าง ๆ .....	39
4.4	แสดง Ternary Phase Diagram ของตัวอย่าง Q2, Q4 และ K3.....	41
4.5	แสดงอุณหภูมิเริ่มต้นของการหลอมกับปริมาณถ่านหินผสมระหว่าง Q2 กับ Q4...	43
4.6	แสดงผลวิเคราะห์ XRD ซึ่งแสดงการเกิดของแร่ในถ่านหิน 60% Q2 กับ 40% Q4 ซึ่งผ่านการเผาที่อุณหภูมิต่าง ๆ .....	45
4.7	แสดงกราฟ XRD ที่สัมพันธ์กับอุณหภูมิกับการเกิดแร่ของตัวอย่างถ่านหินผสมกันระหว่าง 40% Q2 กับ 60% Q4.....	45
4.8	แสดงกราฟ XRD ที่สัมพันธ์กับอุณหภูมิกับการเกิดแร่ของตัวอย่างถ่านหินผสมกันระหว่าง 20% Q2 กับ 80% Q4.....	46
4.9	แสดง Ternary Phase Diagram ความสัมพันธ์ของตัวอย่าง Q2 ที่ผสมกับ Q4....	47
4.10	XRD Pattern ของตัวอย่าง Slag A (แร่เกล็อกโนต์).....	49
4.11	XRD Pattern ของตัวอย่าง Slag A (แร่อาร์โคร์มาโนต์).....	50
4.12	XRD Pattern ของตัวอย่าง Slag B (แร่เกล็อกโนต์).....	51
4.13	XRD Pattern ของตัวอย่าง Slag C (แร่เกล็อกโนต์).....	52
4.14	XRD Pattern ของตัวอย่าง Slag C (แร่องนอไท์).....	53

## บทที่ 1 บทนำ

### 1.1 ความเป็นมาและปัญหา (วิญญาณ., 2550)

โรงไฟฟ้าแม่เมาะของการไฟฟ้าฝ่ายผลิตแห่งประเทศไทย (กฟผ.) กำลังประสบปัญหา กับ ตะกรัน (Slag) ที่เกิดขึ้นบริเวณผนังเตาของหม้อไอน้ำของโรงไฟฟ้า โดยสร้างปัญหาให้กับการผลิต กระแสไฟฟ้าเป็นอย่างมาก ทำให้ต้องมีการปิดโรงไฟฟ้าในบางโรงที่เกิดปัญหา จากข้อมูลสถิติการ สรุปเสียกำลังการผลิตไฟฟ้าของโรงไฟฟ้าแม่เมาะในช่วงที่ 8-13 ระหว่างปี 2544-2548 พบร่วมกับการ ตัดต่อไฟฟ้าในช่วงเวลา 8-13 นั้น ที่มีการตัดต่อไฟฟ้าอย่างต่อเนื่อง ทำให้การรักษาความร้อนระหว่าง ห้องเผาไม่ไปยัง Water Tube ของหม้อไอน้ำประสิทธิภาพลดลง ทำให้เกิดการสูญเสียกำลังการ ผลิตไฟฟ้า ปัญหาดังกล่าวพบว่าเกิดขึ้นบ่อยครั้งในรอบหลายปีที่ผ่านมา

ก่อนปี พ.ศ.2549 ทางทีมงานกฟผ. แม่เมาะได้มีการพัฒนาแบบจำลองคอมพิวเตอร์ที่ใช้ สำหรับแหล่งถ่านหินลิกไนต์แม่เมาะ เพื่อใช้ในการควบคุมคุณภาพลิกไนต์ที่ป้อนเข้าโรงไฟฟ้าโดยได้ ลองวิเคราะห์แล้วว่าถ่านหินลิกไนต์เฉพาะค่าปริมาณร้อยละของแคลเซียมออกไซด์ (%CaO) เท่านั้น และเมื่อ นำข้อมูลของตัวอย่างถ่านหินลิกไนต์จำนวน 900 ตัวอย่าง (ข้อมูลตั้งแต่ปี พ.ศ. 2543-2548) มาหา ความสัมพันธ์ระหว่างค่าอุณหภูมิการหลอมเริ่มต้น (Initial Deforming Temperature: IT) พบร่วมกับ ปริมาณ %CaO เพิ่มขึ้น ค่า IT จะลดลงดังรูปที่ 1.1

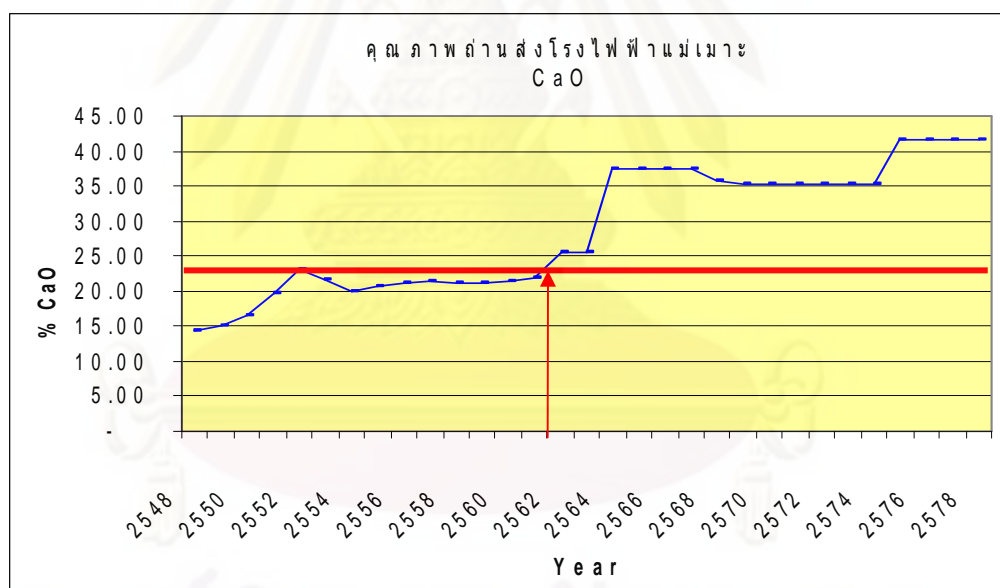


ที่มา: ข้อมูลโครงการศึกษาแนวทางการลดสัดส่วนของหม้อไอน้ำของโรงไฟฟ้าแม่เมาะ, กฟผ.

รูปที่ 1.1 กราฟแสดงความสัมพันธ์ระหว่าง %CaO และค่า IT

จากรูปที่ 1.1 พบว่าถ่านหินที่มีปริมาณ %CaO ที่อยู่ในช่วง 23-35% น่าจะทำให้เกิดปัญหาตะกรันขึ้นเนื่องจากอุณหภูมิของเตาในหม้อไอน้ำของโรงไฟฟ้าแม่เมะอยู่ในช่วง 1,200-1,300 °C และอุณหภูมิเริ่มต้นการหลอมของตัวอย่างถ่านหินที่ทำให้เกิดปัญหานั้นมีค่าต่ำกว่าในเตาหม้อไอน้ำ ทำให้เกิดตะกรันหลอมติดกับผนังเตาที่อุณหภูมิของเตา

การแก้ปัญหาในปัจจุบันทำได้โดยการผลสมถ่านในบริเวณต่าง ๆ ของเหมืองออกเป็น 3 แหล่ง คือ ถ่านหินลิกไนต์ที่มีถ้าประกอบด้วย CaO น้อยกว่า 15% , CaO อยู่ในช่วง 15-23% และ CaO มากกว่า 23% การผลสมถ่านหินลิกไนต์จะควบคุมให้คุณภาพของถ่านมีส่วนประกอบ CaO น้อยกว่า 23% ซึ่งการผลสมถ่านหินลิกไนต์ดังกล่าวทำให้มีการเสียค่าใช้จ่ายเพิ่มขึ้นจากปกติประมาณ 10-20 ล้านบาทต่อปี การผลสมถ่านหินลิกไนต์ปัจจุบันจะทำโดยวิธีการผลสมถ่านหินข้ามบ่อ แต่การผลสมถ่านหินลิกไนต์ในอนาคต (ประมาณปี พ.ศ. 2563) เมื่อขุดลึกลงไปเรื่อย ๆ พบว่า คุณภาพถ่านหินมีปริมาณ CaO สูงขึ้น (มากกว่า 23%) ดังรูปที่ 1.2 จึงทำให้การผลสมถ่านได้ยากขึ้น



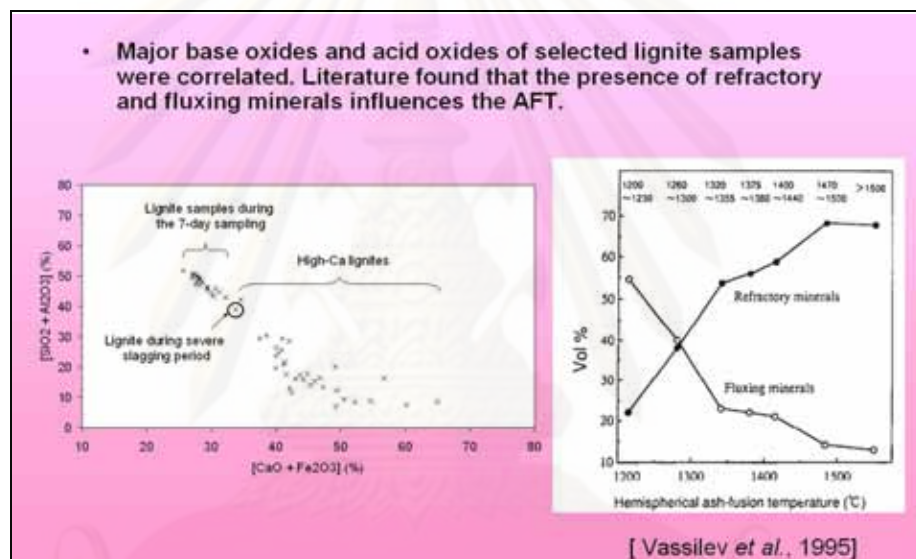
ที่มา: ข้อมูลโครงการศึกษาแนวทางการลดสัดแยกจากหม้อไอน้ำของโรงไฟฟ้าแม่เมะ, กฟผ.

รูปที่ 1.2 แสดงคุณภาพถ่านหินโดยดูจากค่าปริมาณ %CaO ที่มากกว่า 23% ซึ่งเริ่มเกิดปัญหาตะกรันมากขึ้นในปี พ.ศ. 2563

อย่างไรก็ตามการแก้ปัญหาตะกรันในห้องเผาไหม้ของหม้อไอน้ำของโรงไฟฟ้าจากนี้ไปจนถึงปี พ.ศ. 2563 จะสามารถทำได้โดยการผลสมถ่านหินลิกไนต์คุณภาพต่างๆ กันดังกล่าวข้างต้น เพื่อให้ได้ถ่านหินลิกไนต์ที่ป้อนเข้าสู่โรงไฟฟ้ามีปริมาณ CaO ในถ่านไม่เกิน 23% แต่หลังปี พ.ศ. 2563 ไปแล้ว (รูปที่ 1.2) การแก้ปัญหาโดยการผลสมถ่านหินลิกไนต์ไม่สามารถทำได้เนื่องจากถ่าน

หินลิกไนต์ที่มีปริมาณ CaO ในถ่านไม่เกิน 23% จะหมดไปทำให้ต้องป้อนถ่านหินลิกไนต์ที่มีปริมาณ CaO ในถ่านมากกว่า 23% และคาดว่าจะก่อปัญหาตะกรันมากขึ้น

ในปี พ.ศ. 2549 กฟผ.แม่เมะได้ว่าจ้างทีมงานจาก Joint Graduate School of Energy and Environment (JGSEE) ร่วมผู้เชี่ยวชาญต่างประเทศ (ผลการศึกษาของ JGSEE, 2006) โดยได้ทำการทดลองเก็บข้อมูลจากโรงไฟฟ้าเป็นระยะเวลา 7 วัน โดยเก็บข้อมูลอย่างเป็นระบบ ของโรงไฟฟ้าญี่ปุ่น 8, 9 และ 11 ซึ่งจากการศึกษาของ JGSEE ได้แสดงความสัมพันธ์ระหว่าง %  $\text{SiO}_2$  กับ  $\text{Al}_2\text{O}_3$  และ CaO กับ  $\text{Fe}_2\text{O}_3$  (รูปที่ 1.3) และให้ความเห็นว่า Fluxing Mineral ที่มีอยู่ในถ่านลิกไนต์น่าจะเป็นสาเหตุที่ทำให้ Ash Fusion Temperature (AFT) ของถ่านลิกไนต์ลดลงอันเป็นเหตุให้เกิดตะกรันได้ง่าย



ที่มา: ผลการศึกษาของ Joint Graduate School of Energy and Environment, 2006.

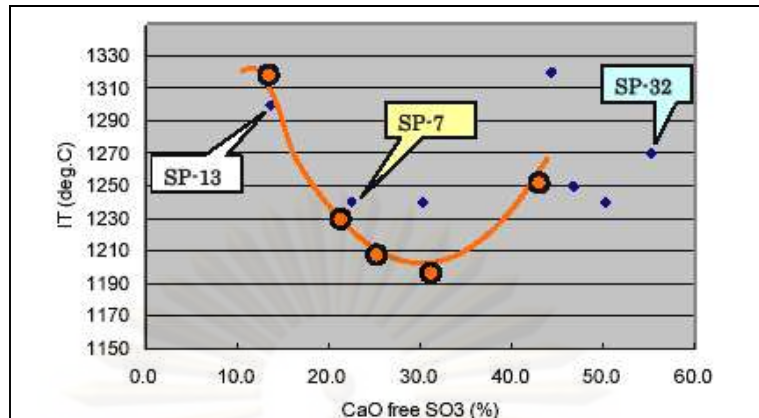
รูปที่ 1.3 ผลการศึกษาของ JGSEE

อย่างไรก็ตามจากการศึกษานี้ได้ระบุว่า Fluxing Mineral นั้นประกอบด้วยแร่อะไรบ้าง แต่ได้สรุปว่า Ca ในถ่านลิกไนต์อยู่ในรูป Water Soluble Ca ที่ไม่มีปัญหา กับ Water Insoluble Ca ซึ่งเป็นฟอร์มที่ก่อให้เกิดปัญหาตะกรัน และให้ข้อสังเกตว่าหากปริมาณ  $\text{Al}_2\text{O}_3$  มากกว่า 15% จะทำให้เกิดตะกรันมาก ส่วน Fe จะอยู่ในรูปของเหล็กชัลไฟฟ์ซึ่งเป็นแร่ไฟริต (Pyrite:  $\text{Fe}_2\text{S}$ ) ซึ่งหากมีปริมาณ Fe สูงขึ้น จะทำให้การหลอมเหลวของถ่านมีโอกาสส่งย่างขึ้น นอกจากนั้นแล้วยังได้ให้ข้อแนะนำว่าการผสมถ่านหินลิกไนต์ในปัจจุบันควรควบคุมถ่านลิกไนต์ให้มีปริมาณ CaO น้อยกว่า 20%,  $\text{Fe}_2\text{O}_3$  ประมาณ 15% และ  $\text{Al}_2\text{O}_3$  มากกว่า 15% เพื่อไม่ให้เกิดปัญหาตะกรัน และได้เสนอให้มีการศึกษาเพิ่มเติมว่าจะมีการศึกษาเพิ่มเติมถึงผลของ Fe และ Al ที่มีต่อ AFT ว่าเป็นเช่นไร และควรศึกษาถ่านสังเคราะห์ที่มีส่วนประกอบของ CaO,  $\text{Fe}_2\text{O}_3$ ,  $\text{Al}_2\text{O}_3$  และ  $\text{SiO}_2$  ตลอดจนศึกษา

เด้าลิกไนต์และเด้าสังเคราะห์ดังกล่าวด้วยเครื่องวิเคราะห์ Scanning Electron Microscope (SEM) และ X-Ray Diffractometer (XRD) เพื่อให้ทราบว่าเด้าลิกไนต์หรือเด้าวิเคราะห์นั้นประกอบด้วยสารประกอบ (Compound) หรือแร่ (Mineral) อะไรบ้าง ซึ่งการวิเคราะห์ดังกล่าวจะช่วยให้สามารถสร้าง Phase Diagram ที่สามารถอธิบายการเกิดตะกรันในห้องเผาใหม่ของหม้อไอ้น้ำได้

ในปี พ.ศ. 2549 บริษัท Marubeni (Thailand) จำกัด และ บริษัท Taiho Industries จำกัด (Taiho Industries, 2549) ได้นำตัวอย่างถ่านหินลิกไนต์ชนิดที่มีเด้า CaO สูงไปวิเคราะห์และศึกษาที่ประเทศญี่ปุ่นและได้สรุปว่าจุดวิกฤตที่เกิดตะกรันน่าจะเป็นถ่านหินที่มีปริมาณ CaO ในเด้าอยู่ในช่วงระหว่าง 25-35% หากปริมาณ CaO มากกว่านี้ ปัญหาจะไม่รุนแรงเพิ่มขึ้น โดยได้อธิบายว่า ตัวอย่างถ่านหินลิกไนต์ที่มีปริมาณ CaO ในช่วง 25-35% เกิดการรวมตัวระหว่าง Ca และ S ในรูปสารประกอบ  $\text{CaSO}_4$  (Anhydrite) และเมื่อรวมตัวกับ  $\text{Fe}_2\text{O}_3$  และอื่นๆ จะทำให้มีจุดหลอมตัว (Melting Point) ต่ำลง และได้อธิบายเพิ่มเติมว่าหากถ่านหินลิกไนต์มีปริมาณ CaO ในเด้าสูงมากขึ้น ก็จะมี CaO เหลือเพิ่มมากขึ้น ซึ่งจะช่วยเพิ่มจุดหลอมตัวของเด้าทำให้การเกิดตะกรันไม่น่าจะรุนแรงขึ้น อย่างไรก็ตามการศึกษาของ Taiho ณ ประเทศญี่ปุ่นยังมีข้อจำกัดของ การศึกษาโดยการศึกษาดังกล่าวเป็นการศึกษาการเกิดตะกรันเบื้องต้น โดยการเผาใหม่ถ่านหินลิกไนต์บางอุณหภูมิ และยังไม่สามารถสรุปสาเหตุที่แท้จริงของการเกิดตะกรันได้

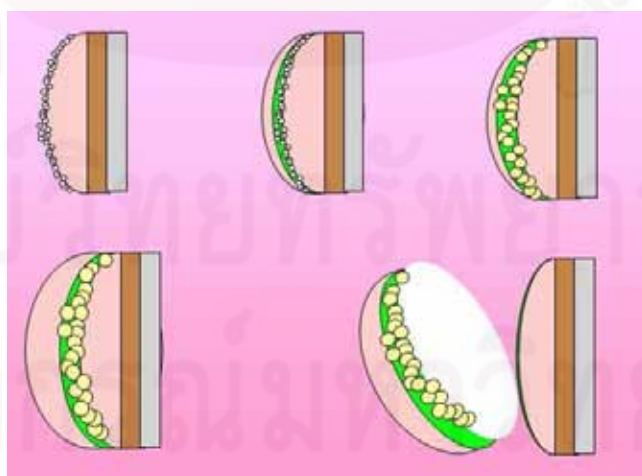
ในปี พ.ศ. 2549 บริษัท Taiho Industries จำกัด (Taiho Industries, 2549) ได้ศึกษาหาความสัมพันธ์ระหว่างปริมาณ %CaO และ IT โดยการนำตัวอย่างไปทดสอบพบว่า ผลของปริมาณ CaO ที่มีต่อค่า IT เป็นไปในทิศทางเดียวกับที่ทีมงาน กฟผ. แม่เมะได้ทดสอบไปแล้ว และได้ให้ความเห็นสรุปว่า เมื่อ %CaO เพิ่มขึ้น ค่า IT จะลดลง แต่เมื่อ % CaO เพิ่มขึ้นจนมากกว่า 30 แล้ว ค่า IT จะเพิ่มขึ้น (ดูรูปที่ 1.4) นอกจากนี้ได้ทำการศึกษาตัวอย่างด้วย XRD เพื่อหาชนิดของแร่ (ดังตารางที่ 1.1) และ SEM-EDX Qualitative Analysis พบว่า Ca และ S มีการกระจายตัวในรูปแบบเดียวกัน และได้รายงานว่า Ca และ S น่าจะฟอร์มตัวกันอยู่ในรูปของแร่แคนไทร์ (Anhydrite:  $\text{CaSO}_4$ ) จึงแสดงความเห็นว่า Eutectic Mixture ของ  $\text{CaSO}_4$  กับ  $\text{Fe}_2\text{O}_3$ ,  $\text{MgO}$  และ  $\text{Na}_2\text{O}$  อาจเป็นสาเหตุที่ทำให้ค่า IT ของเด้าลิกไนต์ลดลง อันเป็นเหตุสำคัญทำให้เกิดตะกรันและได้อธิบายว่าเมื่อปริมาณ CaO เพิ่มมากขึ้น (CaO มากกว่า 30%) จะมีปริมาณ CaO ที่เหลือจากการจับตัวกันเป็น Eutectic Mixture ซึ่งจะอยู่ในรูปของ Lime (CaO) ซึ่ง CaO ที่เหลือนี้จะเป็นสาเหตุที่ทำให้เด้าลิกไนต์มีค่า IT เพิ่มสูงขึ้นเนื่องจาก Melting Point ของ CaO สูงถึง  $2,572^{\circ}\text{C}$



ที่มา : รายงานผลวิเคราะห์ของ Taiho Industries Co., Ltd. ประเทศไทยปี พ.ศ. 2549

รูปที่ 1.4 ผลการทดลองของ บริษัท Taiho Industries จำกัด

จากการศึกษาดังกล่าว Taiho ได้แนะนำให้ใช้ CF8000 เป็น Additive ในการแก้ปัญหาสแลกโดยอธิบายว่า CF8000 เป็น Silica-base Additive ซึ่งจะทำให้ค่า IT ของถ้าลิกไนต์สูงขึ้น ซึ่งจะสามารถแก้ปัญหาสแลกได้ และทีมงานแก้ปัญหาของ กฟผ. แม่เมะได้เคยทดลองใช้ CF8000 เป็น Additive ในรูปทรงละลายพ่นผสมกับถ่านลิกไนต์ก่อนป้อนเข้าไปในเตาเผา โดยใช้ปริมาณ 2,000 กก./ใน 60 นาทีต่อวัน ทำให้สแลกที่เกิดขึ้นหลังจากนั้นหลุดร่วงออกจากผนังเตาได้ง่าย สามารถลดปัญหาการเกิดสแลกไปได้เป็นอย่างดี โดยอธิบายหลักการทำงานของ CF8000 ซึ่งเป็น Silica-base Additive แสดงในรูปที่ 3 โดย Silica ที่อยู่ใน Additive จะพองและขยายตัวและทำให้สแลกไม่สามารถเกาะตัวกันได้จึงหลุดร่วงออกจากผนังเตาได้ง่าย อย่างไรก็ตามค่าใช้จ่ายในการดำเนินการดังกล่าวสูงมาก



ที่มา : รายงานผลวิเคราะห์ของ Taiho Industries Co., Ltd. ประเทศไทยปี พ.ศ. 2549

รูปที่ 1.5 แสดงการพองตัว ของ Silica-base Additive ในการแก้ปัญหาสแลก

ตารางที่ 1.1 สารประกอบหัวเรื่องที่อาจเป็นองค์ประกอบอยู่ในถ่านหินลิกไนต์

Chemical Formula and Eutectic	Molecular weight.	Color, Crystal system	Melting Point. deg.C	Solubility	Formation temperature. C
<chem>CaSO4</chem> Calcium Sulfate.	136.1	Anidius/orthorhombic	—	Difficult	750
<chem>CaO</chem> Calcium Oxide	56.1	Anidius/Cubic system	2,572	Solution(acid)	
<chem>SiO2</chem> Silicon Dioxide.	60.1	Anidius/Amorphous	1,726	Solution	
<chem>aFe2O3</chem> Iron Oxide	159.7	Red brown/ Trigonal	400 ~ 700	Not solute	700
<chem>Na2O</chem> Sodium Oxide.	62	Anidius/ Cubic system	1,275	Alcohol	
Ca-Mg melilite. Akermanite.					
<chem>Na[AlSi3O8]</chem> Albite					
<chem>Ca[Al5Si3O12]</chem> Anorthite					1,000
<chem>CaCO3</chem> Calcite					125
<chem>Al2O3 · 5(FeO,MgO) · 3.5SiO2 · 7.5H2O</chem>					
<chem>Al2O3</chem> Corundum					1,300
Ca melilite Gehlenite					1,000
<chem>Na2Ca(SO4)2</chem> Glauberite					
<chem>Fe3O4</chem> Magnetite					700
<chem>(Ca,Na)2(Al,Mg)[(Si,Al)2O7]</chem>					700
<chem>FeS2</chem> Pyrite					125
<chem>FeCO3</chem> Siderite					
<chem>Al4[(OH)8Si4O10]</chem> Kaolinite					125
<chem>CaSO4 0.5 H2O</chem> Bassanite					125

ที่มา : รายงานผลวิเคราะห์ของ Taiho Industries Co., Ltd. ประเทศไทยปี พ.ศ. 2549

## 1.2 วัตถุประสงค์สำหรับงานวิจัย

- เพื่อศึกษาเกี่ยวกับลักษณะทางแร่วิทยา (Mineralogy) ของถ่านหินและตะกรันที่เกิดขึ้นบริเวณผนังเตาของหม้อไอน้ำของโรงไฟฟ้าแม่เมะ เพื่อหาแนวทางที่จะอธิบายสาเหตุและกลไกของการเกิดตะกรัน
- เพื่อศึกษาผลไกการเกิดตะกรันที่จะใช้ในการคาดการณ์ล่วงหน้าถึงคุณภาพของเร้าลิกไนต์ที่มีโอกาสเกิดตะกรันหลังการเผาไหม้ที่อุณหภูมิต่างๆ กัน
- เพื่อหาแนวทางในการป้องกันและแก้ไขปัญหาตะกรันเพื่อลดค่าใช้จ่ายในการผลิตกระเบ้าไฟฟ้า

## 1.3 ขอบเขตการศึกษาและวิจัย

- ศึกษาชนิดของแร่ในส่วนของชนิดของแร่ของตัวอย่างถ่านหินลิกไนต์ที่ได้มาจากการเผาไหม้ด้วยวิธีรังสีเอกซ์เรย์แบบเลี้ยวเบน (X-Ray Diffraction: XRD)
- ศึกษาชนิดแร่ของตัวอย่างตะกรันที่เกิดขึ้นในเตาเผา โดยใช้เครื่อง XRD เพื่อต้องการหาความสัมพันธ์ระหว่างชนิดของแร่ของตัวอย่างถ่านหินลิกไนต์และชนิดของแร่ของตัวอย่างตะกรัน

3) ศึกษาหาอุณหภูมิเริ่มต้นของการหลอม (IT) ของแต่ละตัวอย่างเพื่อนำข้อมูลมาเปรียบเทียบหาตัวอย่างที่มีค่า IT ที่น่าจะทำให้เกิดปัญหาตะกรัน และตัวอย่างที่ไม่น่าจะก่อให้เกิดปัญหาแล้วนำมามวิเคราะห์ของค์ประกอบที่เกิดขึ้น จากนั้นทำการเปลี่ยนแปลงของเฟสที่เกิดขึ้นเพื่อหาความสัมพันธ์ขององค์ประกอบทางแร่ในถ่านหินเมื่อถูกเผา

#### 1.4 ประโยชน์ที่คาดว่าจะได้รับ

- 1) สามารถทราบถึงปัจจัยที่ควบคุมการเกิดตะกรันในระดับห้องปฏิบัติการ
- 2) ทราบกลไกของการเกิดตะกรันในระหว่างการเผาใหม่ เป็นแนวทางในการป้องกันและแก้ปัญหาการเกิดตะกรันในหม้อไอน้ำของโรงไฟฟ้าแม่مهaje เพื่อลดค่าใช้จ่ายในการผ่อนถ่านและลดการสูญเสียกำลังการผลิตกระแสไฟฟ้า

**ศูนย์วิทยหัพยากร  
จุฬาลงกรณ์มหาวิทยาลัย**

## บทที่ 2

### ทฤษฎีและงานวิจัยที่เกี่ยวข้อง

#### 2.1 ถ่านหิน

ถ่านหินเป็นหินตะกอนชนิดหนึ่งที่มีองค์ประกอบทางกายภาพและทางเคมีไม่เป็นเนื้อเดียวกัน ประกอบไปด้วยสารอินทรีย์และสารอินทรีย์ สารอินทรีย์ที่มีอยู่ในถ่านหิน เช่น คาร์บอน ไฮโดรเจน อออกซิเจน อาจจะมีองค์ประกอบของชัลเฟอร์และใน石榴เจนบ้างเล็กน้อย ส่วนองค์ประกอบสารอินทรีย์จะประกอบไปด้วยแร่กลุ่มซิลิกะ เช่น แวร์กวาตซ์(Quartz) และฟันม้า(Feldspar) กลุ่มแร่ดินเหนียว เช่นแร่ดินขาว(Kaolinite) อิลไลต์(Illite) เป็นต้น แร่กลุ่มคาร์บอเนต เช่น แร่แคลไซต์(Calcite) แร่ซิเดอไรต์(Siderite) และแร่ดอลไมต์(Dolomite) เป็นต้น กลุ่มแร่ชัลไฟต์ เช่น แร่ไฟริต(Pyrite) เป็นต้น และแร่อื่น ๆ (Ward, 2002) คุณสมบัติของถ่านหินก็คือสามารถติดไฟและให้พลังงานความร้อนได้ ถ่านหินเป็นแหล่งพลังงานซากดึกดำบรรพ์(Fossil Fuel) ที่มีความสำคัญต่อเศรษฐกิจของประเทศไทยเป็นอย่างมาก ถ่านหินมีกำเนิดมาจากการเปลี่ยนแปลงตามธรรมชาติของพืชพันธุ์ไม่ต่าง ๆ ที่ สายตัวและสะสมอยู่ในหนองบึงนับเป็นสิบๆ ล้านปี เมื่อเกิดการเปลี่ยนแปลงของ ผิวโลก เช่น เกิดแผ่นดินไหว ภูเขาไฟระเบิด หรือมีการทับถมของตะกอนมากขึ้น ทำให้แหล่งสะสมตัวนี้ได้รับความกดดันและความร้อนที่มีอยู่ภายในโลกเพิ่มขึ้น ซากพืชเหล่านี้ก็จะเกิดการเปลี่ยนแปลงกล้ายเป็นถ่าน ตามลำดับชั้นต่างๆ ในปัจจุบันถ่านหินได้ถูกนำมาใช้ประโยชน์ในด้านต่าง ๆ เช่น การผลิตกระแสไฟฟ้า การผลิตเหล็ก การผลิตปูนซีเมนต์ การผลิตอาหาร เป็นต้น แต่การผลิตกระแสไฟฟ้าน้ำอาจทำให้เกิดผลกระทบภาวะขึ้นเนื่องจากองค์ประกอบของแร่ในถ่านหินจะเริ่มเปลี่ยนไปในขณะเดียว การเผาไม้ของถ่านหินที่มีชัลเฟอร์อยู่จะเปลี่ยนไปอยู่ในรูป ก๊าซชัลเฟอร์ไดออกไซด์( $\text{SO}_2$ ) ซึ่งเป็นพิษและมีฤทธิ์กัดกร่อน ซึ่งก๊าซชัลเฟอร์ไดออกไซด์ภายนอกจะเปลี่ยนไปอยู่ในรูปของก๊าซชัลเฟอร์ไตรออกไซด์( $\text{SO}_3$ ) ซึ่งเมื่อรวมกับน้ำจะกล้ายเป็นกรดชัลฟิวเริก ทำให้เกิดปัญหาสิ่งแวดล้อมอย่างมาก เช่น การกัดกร่อนของผนังหม้อไอน้ำ ท่อส่งใต้ดิน เครื่องจักรต่าง ๆ ฝนกรด ฯลฯ (Mukherjee et. al, 2006)

นอกจากนั้นแล้ว ปัญหาที่เกิดขึ้นอีกอย่างหนึ่งที่สำคัญก็คือ ปัญหาตะกรัน(Slag) ภาวะผนังหม้อไอน้ำ ซึ่งทำให้คุณภาพในห้องเผาในมั่นน้ำต่ำลง สาเหตุเกิดจากเมื่อเผาถ่านหินที่อุณหภูมิสูงถึงจุด ๆ หนึ่ง องค์ประกอบของแร่ในถ่านหินจะทำปฏิกิริยา กันเกิดเป็นสารประกอบใหม่ที่มีจุดหลอมเหลวต่ำกว่าหรือใกล้เคียงกับอุณหภูมิในเตาเผา ทำให้เกิดเป็นของเหลวหนึ่ดีกางอยู่บริเวณผนังเตา เมื่อทิ้งไว้สักระยะเวลาหนึ่ง จะเกิดการสะสมของตะกรันเป็นมากขึ้นจนเป็นปัญหาทำให้ประสิทธิภาพในการผลิตกระแสไฟฟ้าต่ำลงไปด้วย ปัญหาดังกล่าวเกิดขึ้นที่โรงไฟฟ้าแม่มาžeซึ่ง

บางครั้งเกิดจนอาจจะต้องปิดยุนิตของโรงไฟฟ้าที่มีปัญหาทำให้ต้องสูญเสียกำลังการผลิตกระแสไฟฟ้าไปอย่างมาก นับเป็นความเสียหายต่อประเทศอย่างใหญ่หลวง

ถ่านหินที่ใช้สำหรับผลิตกระแสไฟฟ้าของโรงไฟฟ้าแม่เมภาได้มาจากการทำเหมืองถ่านหินลิกไนต์แม่เมภา จังหวัดลำปาง โดยการไฟฟ้าฝ่ายผลิตแห่งประเทศไทย (กฟผ.) ได้นำถ่านหินจากเหมืองในแต่ละจุดมาผสมกันให้ได้อัตราส่วนของถ่านหินที่มีองค์ประกอบของแคลเซียมออกไซด์ ( $\text{CaO}$ ) ให้ไม่เกิน 23% เนื่องจากมีการศึกษาจากบริษัท Marubeni (ประเทศไทย) จำกัด และ บริษัท Taiho Industries จำกัด ของประเทศญี่ปุ่น (Taiho Industries, 2549) โดยทาง กฟผ. ได้ส่งตัวอย่างถ่านหินลิกไนต์ชนิดที่ทำให้เกิดตะกรันไปวิเคราะห์และได้ข้อมูลบุปnie เปื้องต้นว่า ปริมาณของแคลเซียมออกไซด์ในช่วง 23-35% เกิดการรวมตัวระหว่าง Ca และ S ในรูปสารประกอบแคลเซียมชัลเฟต หรือ แอนไฮดริต ( $\text{CaSO}_4 - \text{Anhydrite}$ ) และเมื่อรวมตัวกับเหล็กออกไซด์ ( $\text{Fe}_2\text{O}_3$ ) และอื่นๆ จะทำให้มีจุดหลอมตัว (Melting Point) ต่ำลง แต่หากถ่านหินลิกไนต์มีปริมาณ  $\text{CaO}$  ในถ่านหินมากขึ้น ก็จะมีปริมาณ  $\text{CaO}$  เหลือเพิ่มมากขึ้น ซึ่งจะช่วยเพิ่มจุดหลอมตัวให้สูงขึ้นแต่การศึกษาดังกล่าวเป็นการศึกษาการเกิดตะกรันเปื้องต้น โดยการเผาไหม้ถ่านหินลิกไนต์ บางอุณหภูมิ และยังไม่สามารถสรุปสาเหตุที่แท้จริงของการเกิดตะกรันได้

### 2.1.1 การเกิดถ่านหิน (Miller B. G., 2005)

ถ่านหินวางแผนเป็นแนวชั้นถ่านหินที่เรียกว่า Seam เกิดจากการสะสมตัวของชาตกพีชที่ที่ถูกยกยื่นและสะสมอยู่ในลุ่มน้ำหรือแอ่งน้ำต่างๆ หรือถูกกระแทกแน่น้ำพัดพามาแล้วสะสมตัวอยู่ในบริเวณนั้นโดยกระบวนการตากตะกอน (Sedimentation) นั่นคือเมื่อเวลาผ่านไปชาตกพีชเหล่านี้จะถูกบีบตัวโดยตากตะกอนต่างๆ เป็นจำนวนมากขึ้นทำให้เกิดการยัดตัว (Compaction) โดยน้ำหนักของตะกอน และเปลี่ยนรูป (Transformation) จนกลายเป็นถ่านหินในที่สุด ซึ่งสามารถสรุปได้ว่ารูปแบบในการสะสมชาตกพีชแล้วทำให้เกิดเป็นถ่านหินนั้น มีด้วยกัน 2 รูปแบบคือ

- 1) เป็นการสะสมตัวของชาตกพีชที่เคยเจริญเติบโตและตายลงสะสมกันอยู่ในบริเวณนั้น (In Situ) เมื่อมีการร่วงโรยตายลงก็จะทับถมกันอยู่ภายใต้ดิน หรือแอ่งน้ำนึงแห่งนั้น กลายเป็นชั้นถ่านหินที่เรียกว่าแหล่งการสะสมตัวอยู่กับที่ (Autochthonous Coal Deposit) ชาตกพีชที่ตายลงนั้นจะถูกเปลี่ยนไปเป็นพีท (Peat) โดยจุลทรรศน์ เมื่อระยะเวลาผ่านไป แอ่งสะสมตัวนี้จะถูกทับถมและรวมตัวลงจากชั้นหินอื่น ๆ ที่มาสะสมทับอยู่ด้านบนถ่านหินที่เกิดขึ้นจากการสะสมตัวจนกลายเป็นแหล่งสะสมตากตะกอน จากนั้นก็จะเริ่มเปลี่ยนสภาพเป็นชั้นถ่านหินต่อไปในอนาคต และเมื่อกาดีเป็นวัสดุจักษรอย่างนี้แล้ว กันต่อเนื่องเป็นระยะเวลานาน มากพบว่ามีชั้นหินหนึ่งนี้ยาวตัวอยู่ได้ชั้นถ่านหิน โดยจะมีชั้นถ่านหินสม่ำเสมอเป็นบริเวณกว้างแม้ว่าจะมีชั้นหินดินดานแทรกสลับอยู่บ้างก็ตาม และไม่ค่อยมีสารอื่นปะปนในชั้นถ่านหิน เนื้อถ่านหินจะคงรูปชาตกพีชไว้อย่างเห็นได้ชัด

โดยเฉพาะในถ่านหินคุณภาพต่ำ (Low Rank Coal) และคุณภาพของเนื้อถ่านหินมักไม่คงที่ตลอดชั้นถ่านหินส่วนที่อยู่ข้างใต้จะมีลักษณะอ่อนหรือยุ่ย ส่วนกลางๆ จะเป็นถ่านหินที่มีคุณภาพดี มีลักษณะเป็นมันวาว แต่ส่วนตอนบนจะมีคุณภาพของถ่านหินต่ำลงอีก โดยทั่วไปชั้นถ่านหินที่เกิดอยู่กับที่แบบนี้จะมีชั้นหินดินดานปิดอยู่ข้างบน แหล่งถ่านหินแบบนี้สามารถพบได้โดยทั่วไปโดยเฉพาะแหล่งขนาดใหญ่และสำคัญๆ ของโลก ที่อยู่ค่อนไปทางข้าวโลกเนื่อเป็นแหล่งที่มีการกำเนิดแบบนี้ทั้งสิ้น

2) เป็นการสะสมตัวของชาภีชที่เคยเจริญเติบโตในที่อื่น จึงเรียกแหล่งนี้ว่า แหล่งการสะสมตัวจากพืชที่เกิดที่อื่น (Allochthonous Coal Deposit) เกิดจากพืชที่เกิดที่อื่นไม่ว่าจะเป็นในหรือนอกแม่น้ำแล้วถูกพัดพาด้วยอิทธิพลจากน้ำหรือลม และเมื่อถูกพัดพามาสะสมอยู่ในแม่น้ำน้ำแม่น้ำจะเริ่มแตก ตกgon สะสมทับกันเป็นชั้นถ่านหินที่ห่างไกลจากแหล่งกำเนิดเดิม แหล่งถ่านหินแบบนี้ไม่ค่อยอยู่ทั่วไป แต่จะอยู่ในบางประเทศโดยเฉพาะในบริเวณข้าวโลกด้านใต้ แหล่งถ่านหินแบบนี้มีความบริเวณไม่กว้างขวางมาก และความหนาของชั้นถ่านหินไม่แน่นอน เนื่องมาจากบางส่วนของชาภีชที่ถูกน้ำพัดพาไปจากแหล่งเดิม ชั้นถ่านหินจะมีสารอื่นๆ ปะปนอยู่มาก โดยเฉพาะสารที่เกิดจากพอกโคลนตามซึ่งทำให้มีปริมาณขี้เก้า (Ash Content) มากกว่าแบบแรก ส่วนชั้นหินที่วางแผนชั้นของถ่านหินขึ้นอยู่กับชั้นหินต้นกำเนิดที่ถูกทำลายให้ผุกร่อน และพัดพาไปตามสายน้ำ โดยทั่วไปแล้วมักจะเกิดเป็นชั้นหินทรายและหินดินดานในกรณีที่เกิดใต้ชั้นหินทรายจะทำให้ถ่านหินที่ได้ไม่มีคุณสมบัติในการอบไอล์ฟ้าหรือทำให้เป็นถ่านโค้กได้ เพราะก้าชที่เกิดขึ้นในกระบวนการจะมีการเลือกผลัดผ่านทางช่องของหินทรายได้ ส่วนในกรณีของชั้นถ่านหินที่มีหินดินดานปิดทับอยู่ข้างบนนั้น ก้าชที่เกิดในระหว่างกระบวนการสลายตัวของชาภีชจะไม่สามารถผ่านออกໄປได้ ถ่านหินที่ได้จะสามารถทำเป็นถ่านหินชนิดที่อบไอล์ฟ้าและทำถ่านโค้กได้

### 2.1.2 การจำแนกชนิดของถ่านหิน

การจำแนกถ่านหินมักจะใช้ระบบมาตรฐานของ American Society for Testing and Materials (ASTM) (<http://www.astm.org>) เป็นระบบการจำแนกถ่านหินตามลำดับชั้น (Rank) ซึ่งมีความชัดเจนและง่ายแก่การใช้งาน จึงเป็นที่นิยมใช้กันมากในหลายประเทศ ระบบนี้ได้จำแนกถ่านหินเป็น 4 ลำดับชั้นคือ แอนතราไซต์ (Anthracite), บิทูมินัล (Bituminous), ชับบิทูมินัล (Subbituminous) และ ลิกไนต์ (Lignite) ส่วนพีท (Peat) ไม่จัดเป็นถ่านหินตามมาตรฐาน ASTM

1) แอนථราไซต์ (Anthracite) เป็นถ่านหินสีดำเข้มที่มีความมัน华าสูงแต่จุดไฟติดยากค่าความร้อนมากกว่า 14,000 บีที่ยูต่อปอนด์ (เมื่อทำตัวอย่างให้แห้งโดยหักค่าความชื้นและหักค่าแร่ประกอบอินทรีย์ออกแล้ว) และจะมีค่าคาร์บอนสูงประมาณ 86 เปอร์เซ็นต์ ค่าสารระเหยไม่เกิน 14 เปอร์เซ็นต์

#### 2) บิทูมินัส (Bituminous)

เป็นถ่านหินที่มีสมบัติไม่ผุพังและเมื่อเผาจะมีการจับตัวเป็นส่วนใหญ่ เมื่อทำตัวอย่างให้แห้งโดยหักค่าความชื้นและหักค่าแร่ประกอบอินทรีย์ออก มีค่าความร้อนตั้งแต่ 13,000 บีที่ยูต่อปอนด์ขึ้นไป มีค่าคาร์บอนคงที่ต่ำกว่า 86 เปอร์เซ็นต์ ค่าสารระเหยสูงกว่า 14 เปอร์เซ็นต์

#### 3) ซับบิทูมินัส (Subbituminous)

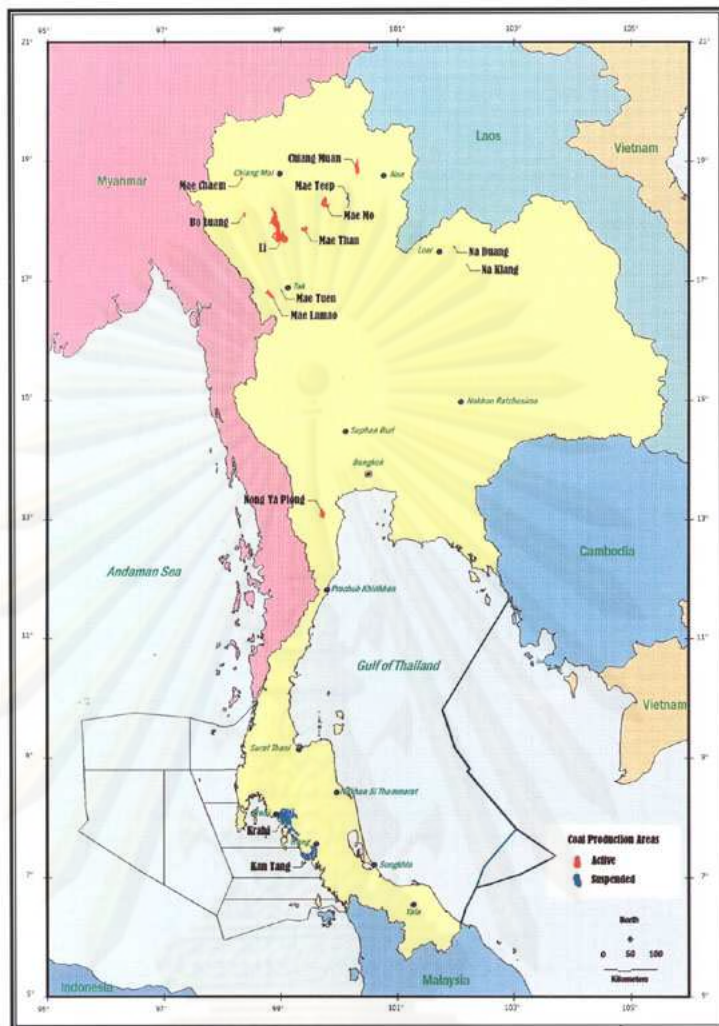
ถ่านหินในขั้นซับบิทูมินัส จะเป็นถ่านหินที่เมื่อเผาแล้วจะไม่จับกัน และทิ้งไว้จะผุพังเองได้ มีค่าคาร์บอนคงที่(เมื่อหักค่าความชื้นและแร่อนินทรีย์ออกไป)ต่ำกว่า 69 เปอร์เซ็นต์ มีค่าสารระเหยเกินกว่า 31 เปอร์เซ็นต์ มีค่าความร้อนอยู่ในช่วง 8,300-11,000 บีที่ยูต่อปอนด์

#### 4) ลิกไนต์ (Lignite)

ถ่านหินลิกไนต์เป็นถ่านหินที่มีชาภีซเหลือปราภูมิอยู่เล็กน้อย มีปริมาณออกซิเจนค่อนข้างสูง เมื่อหักค่าความชื้นและค่าแร่อนินทรีย์ออกแล้วจะมีค่าคาร์บอนต่ำกว่า 69 เปอร์เซ็นต์ มีค่าสารระเหยเกินกว่า 31 เปอร์เซ็นต์ มีค่าความร้อนไม่เกิน 8,300 บีที่ยู/ปอนด์ ทิ้งไว้ในอากาศจะผุพังเป็นชิ้นเล็กชิ้นน้อย และเมื่อเผาจะไม่จับตัวเป็นก้อน ชิ้นถ่านหินชนิดนี้มีอยู่ในเหมืองแม่เมาะเป็นส่วนมากและเป็นถ่านหินตัวอย่างสำหรับงานวิจัยนี้ด้วย

## 2.2 ถ่านหินและลิกไนต์ในประเทศไทย

ถ่านหินที่พบในประเทศไทยส่วนใหญ่พบในแอ่งเทอว์เชียร์ ในบริเวณเทือกเขาสูงทางภาคเหนือและตามแนวขอบตะวันตกของประเทศไทย ปีกนึงให้สุดของแหลมฯไทย ถ่านหินในแอ่งเทอว์เชียร์ส่วนใหญ่ในชั้นลิกไนต์ปีกนึงบิทูมินัสที่มีสารระเหยสูง และพบถ่านหินที่มีอายุมากกว่า yüคเทอว์เชียร์กีบ้างเล็กน้อยทางขอบด้านหน้าของบวีเวนที่ราบสูงตะวันออกเฉียงเหนือในหินชุดโคราช หน่วยหินภูพานใน yüคจูราสสิก ซึ่งถ่านหินเหล่านี้อยู่ในชั้นบิทูมินัส แต่ชั้นถ่านบางและน้อยมาก ไม่เป็นประไชน์ทางเศรษฐกิจ และถ่านหินแอนථราไซต์ที่เกิดใน yüคคาร์บอนิเฟอร์รัสบริเวณเขตต่อข้างนาด้วง จังหวัดเลย และข้างนากลาง จังหวัดหนองบัวลำภู มีการผลิตถ่านหินแอนථราไซต์ที่ข้างนาด้วง โดยมีกำลังการผลิตในช่วงปี พ.ศ.2530-2537 ปีละ 20,000 - 40,000 ตัน ซึ่งปัจจุบันได้เลิกทำเหมืองแล้ว



ที่มา: [http://maemohmine.egat.co.th/mining\\_technology/coal.html](http://maemohmine.egat.co.th/mining_technology/coal.html)

รูปที่ 2.1 แสดงบริเวณที่มีการทำเหมืองถ่านหิน

## 2.3 ลักษณะแหล่งถ่านหินแม่เมaje (การไฟฟ้าฝ่ายผลิตแห่งประเทศไทย, 2552)

### 2.3.1 ลักษณะภูมิประเทศ

แอ่งแม่เมaje เป็นแอ่งระหว่างหุบ มีลักษณะเป็นที่ราบลุ่มน้ำ อยู่สูงกว่าระดับน้ำทะเลปานกลางประมาณ 330 เมตร ทิศทางของแอ่งและแนวเทือกเขาทางตัวในแนวเหนือ-ใต้ ทิศเหนือจุดก่อจุดน้ำหนาที่สูงสุดอยู่พากลาง ทิศตะวันออกจุดก่อจุดน้ำหนาที่สูงสุดอยู่พากลาง ทิศตะวันตกติดแนวเทือกเขา แม่ทะ-ผาลาด เป็นแนวเทือกเขาที่แยกออกจากแม่น้ำออกจากแม่น้ำลำปาง ทิศใต้เป็นแนวร่องเขาแคบ ๆ เชื่อมต่อไปถึงที่ราบของแม่ทะ มีปล่องภูเขาไฟ 2 ปล่องได้แก่

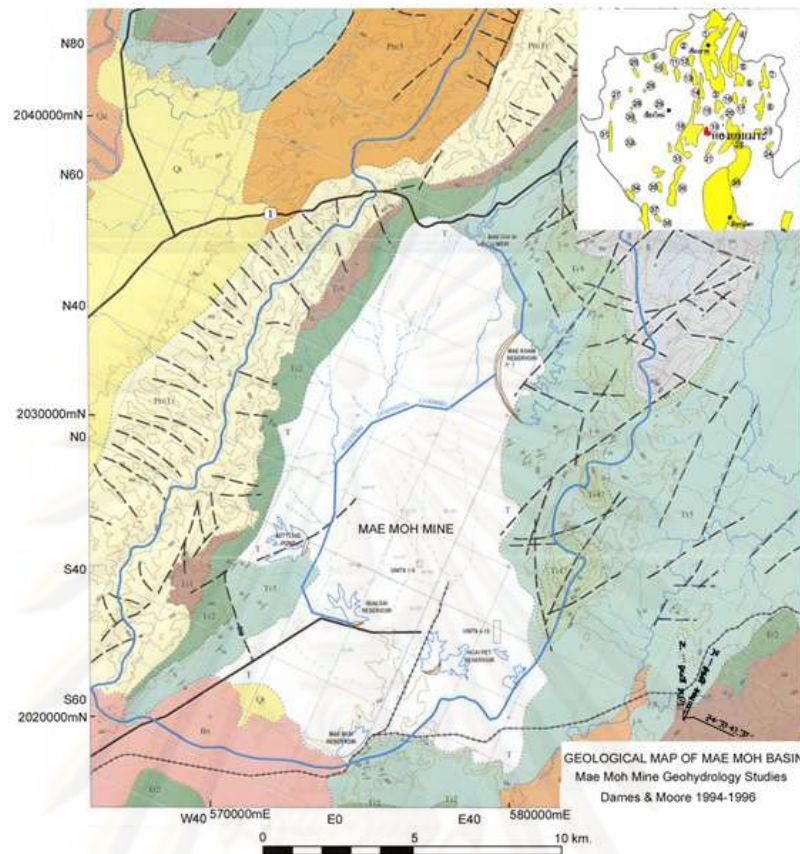
ปล่องภูเขาไฟภาคอกหินฟู และจำปาเดด แอ่งแม่เมะมีลำหัวยแม่เมะ และลำหัวยสาขาใหม่ ผ่านพื้นที่ไปทางทิศใต้ ถูกฝนน้ำจาระหลังและถูกเหล็กหัวใจแห้งขาด และมีน้ำขังบ้างบางบริเวณ

สำหรับพื้นที่คำข้อประทานบัตรที่ 10/2548 ถึง 23/2548 จำนวน 14 แปลง เป็นพื้นที่ที่อยู่บริเวณฯ ด้านตะวันออกของแอ่งแม่เมะ ซึ่งได้เปิดดำเนินการทำเหมืองมาเป็นเวลานานแล้ว และยังคงดำเนินการต่อไปอย่างต่อเนื่อง โดยในปัจจุบันพื้นที่มีระดับความสูงโดยเฉลี่ยประมาณ 137 เมตร จากระดับน้ำทะเลปานกลาง ต่ำกว่าระดับพื้นดินโดยรอบที่มีระดับความสูงเฉลี่ยโดยประมาณ 324 เมตร จากระดับน้ำทะเลปานกลาง

### 2.3.2 ลักษณะธรณีวิทยาทั่วไป

แอ่งแม่เมะ แอ่งสะสมตะกอนยุคเทอร์เชียรี เกิดจากอิทธิพลของแผ่นเปลือกโลกอินเดียเคลื่อนตัวชนกับแผ่นเปลือกโลกยูเรเซียเมื่อราว 45 ล้านปีก่อนในสมัยอิโคชีน ก่อให้เกิดแอ่งสะสมตะกอนแนวเหนือ-ใต้ในประเทศไทยซึ่งเป็นจำนวนมาก รวมทั้งแอ่งแม่เมะ

แอ่งแม่เมะเป็นแอ่งระหว่างหุบเขา มีทิศทางการวางตัวของแอ่งประมาณเหนือ-ใต้ กว้างประมาณ 7.5 กิโลเมตร ยาวประมาณ 15 กิโลเมตร ครอบคลุมพื้นที่ประมาณ 110 ตารางกิโลเมตร การกระจายตัวของหินอายุต่าง ๆ บริเวณแอ่งแม่เมะ (รูปที่ 2.2) จากแก้ไปอ่อนนั่นพบว่าด้านตะวันตกของพื้นที่ตามแนวเทือกเขามีหินแม่ทะ-พาลาด พบรหินอัคนีผุยุคเพอโรโม-ไทรแอสสิก (Permo-Triassic Volcanic Rocks) ประกอบด้วยหินแอนดีไซต์ (Andesite) ไรโอลิต (Rhyolite) ทัฟฟ์ (Tuff) และหินกรวดภูเขาไฟ ถูกปิดทับแบบชั้นไม่ต่อเนื่องด้วยหินตะกอนที่สะสมตัวในทะเลของกลุ่มหินลำปางยุคไทรแอสสิก (Marine Triassic Sediment) ซึ่งพบเป็นเนินเขาและภูเขาสูงล้อมรอบแอ่งแม่เมะทั้งทางด้านเหนือ ด้านตะวันออก และด้านตะวันตก ประกอบด้วยหินทรายหินทรายเบี้ง หินดินดาน และหินกรวดมัน สีน้ำตาลถึงน้ำตาลแดงของหมวดหินพระธาตุ (Phra That Formation หรือ Tr1) ที่พบทางตะวันตกเฉียงเหนือและตะวันตกเฉียงใต้ของแอ่ง หินปูนวีสีเทาถึงเทาเข้มสลับด้วยหินดินดานสีเทาเขียวในหมวดหินผาก้าน (Pha Kan Formation หรือ Tr2) พบที่เป็นแนวอยู่ทางตะวันตกของแอ่ง หินทราย หินทรายเบี้ง หินดินดาน และหินอาเรจิลไลต์ ของหมวดหินย่องหอย (Hong Hoi Formation หรือ Tr3) ที่พบทั้งด้านเหนือ ตะวันออก และตะวันตกเฉียงใต้ของแอ่ง หินปูนนีโอละเอียดสีเทาถึงเทาขาวของหมวดหินดอยลอง (Doi Long Formation หรือ Tr4) พบทางด้านเหนือและด้านตะวันออกของแอ่ง หินทราย หินทรายเบี้ง หินดินดาน และหินกรวดมัน สีแดงถึงสีม่วงแดงของหมวดหินผาแดง (Pha Daeng Formation หรือ Tr5) พบทางตะวันออกเฉียงเหนือของแอ่ง กลุ่มหินลำปางมีความหนาประมาณ 3,000 เมตร วางแผนเป็นหินสูญราชการงรับแอ่งสะสมตะกอนแบบชั้นไม่ต่อเนื่องของกลุ่มหินแม่เมะยุคเทอร์เชียรี ซึ่งประกอบด้วย หินโคลน หินทราย หินทรายเบี้ง หินกรวดมัน และชั้นถ่านหิน กลุ่มหินแม่เมะจะมี



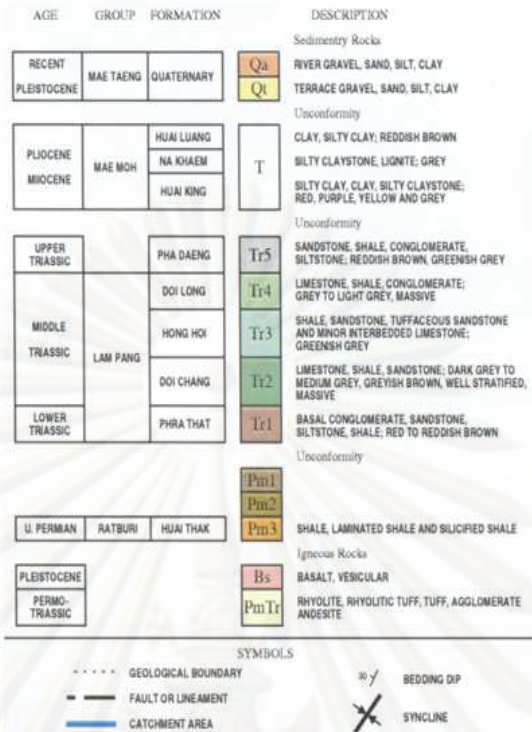
ที่มา: การไฟฟ้าฝ่ายผลิตแห่งประเทศไทย, การนำเสนอแนะนําแก้ป. แม่เมะ, 2550

รูปที่ 2.2 แสดงลักษณะทางธรณีวิทยาของเหมืองแม่เมะ

ความหนารวมประมาณ 1,000 เมตร ด้านใต้ของแองกุปิดทับด้วยตะกอนตะพักร่องน้ำ และ ตะกอนน้ำพาน พากกรวดทรายสมัยปัจจุบันหนา 1-10 เมตร

### 2.3.3 ลักษณะโครงสร้างธรณีวิทยาของแอ่งแม่เมะ

แอ่งแม่เมะเป็นแอ่งแบบกราเบน (Graben Basin) ที่มีรอยเลื่อนในแนวประมาณ เหนือ-ใต้ขวางอยู่ทั้งสองด้าน ทั้งด้านตะวันตกและตะวันออก นอกจากนี้ยังมีรอยเลื่อนปกติ (Normal Fault) แนวเหนือ-ใต้หลายแนวตัดผ่านชั้นหินยุคเทอร์เชียร์ มีผลทำให้ชั้นหินยุคเทอร์เชียร์ บริเวณขอบแอ่งโผล่ที่ผิด din ในขณะเดียวกันบริเวณกลางแอ่งก็เกิดการทวัดตัวมากขึ้น ชั้นหินจึงมี การเอียงเทเข้าไปทางกลางแอ่งแบบโค้งรูปประทุนหงาย (Syncline)



ที่มา: การไฟฟ้าฝ่ายผลิตแห่งประเทศไทย, การนำเสนอแนะนํา กพ. แม่มา, 2550

รูปที่ 2.3 แผนที่ทางธรณีวิทยาและลำดับชั้นหินของเมืองแม่มาะ

### 2.3.4 ลำดับชั้นหิน

ชั้นหินยุคเทอร์เชียร์ของแม่มาะจัดอยู่ในกลุ่มหินแม่มาะ (Mae Moh Group) แบ่งออกเป็น 3 หมวดหิน เรียงลำดับจากอายุแก่ไปหาอ่อน คือ ล่างสุดได้แก่

**2.3.4.1 หมวดหินหัวยคิง (Huai King Formation)** หนาประมาณ 15-320 เมตร วางแผนแบบมีรอยชั้นไม่ต่อเนื่องกับหินดินดาน หินทราย หินปูน และหินอาร์จิลไลต์ของกลุ่มหิน ลับปาง หินหมวดหัวยคิงประกอบด้วย หินโคลน หินทราย หินทรายเบঁง และหินกรวดมัน มีหลักสี หักสีน้ำตาล สีแดง สีเทา และสีเทาอมเขียว มีลักษณะเด่นคือ ขนาดของตะกอนจะมีขนาดเล็กลง เมื่อใกล้ชั้นสู่ส่วนบน

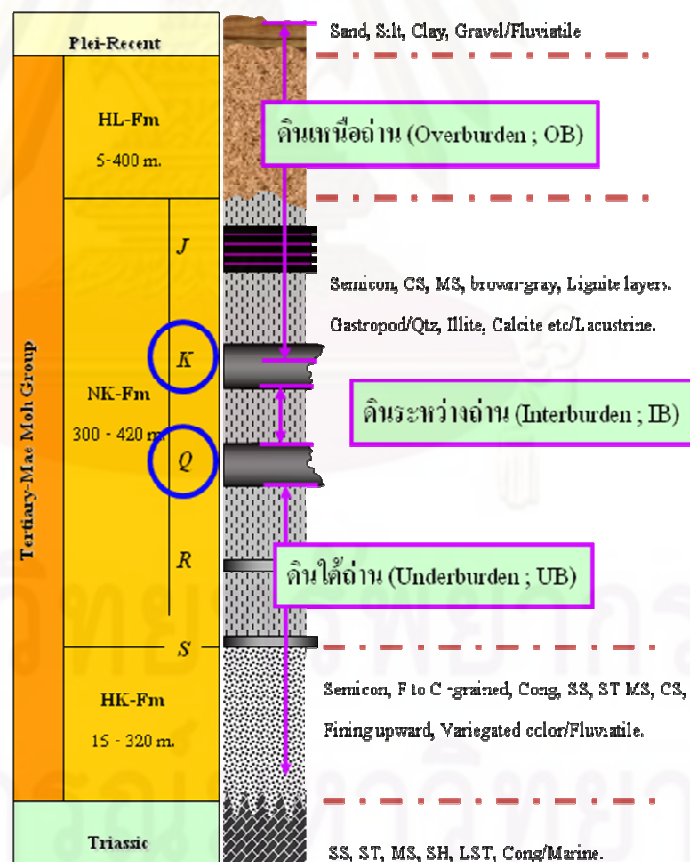
**2.3.4.2 หมวดหินนาขอม (Na Kham Formation)** หนาประมาณ 300-420 เมตร ส่วนใหญ่เป็นหินโคลนสีเทาถึงสีน้ำตาลเทา เนื้อหินมีสารปูนปน มีชั้นถ่านหินชนิดลิกไนต์ถึงชั้บบิทูมินัสแทรกสลับอยู่ 5 ชั้น มีชื่อเรียกจากลักษณะชั้นบน คือ ถ่านหินชั้น S,R,Q,K และ J ซึ่งถ่านหินที่คุ้มค่าต่อการทำเหมืองคือ

ก) ถ่านหินชั้น Q หนาประมาณ 25-30 เมตร ซึ่งเป็นถ่านหินชั้นหลักที่การไฟฟ้าฝ่ายผลิตแห่งประเทศไทยได้ทำเหมืองทางด้านเหนือของพื้นที่ ลักษณะเป็นชั้นหนาชั้นเดียว

ต่อเนื่องกัน (Compact Seam) มีชั้นหินโคลนแทรกสลับบาง ๆ อยู่บ้าง จากนั้นถ่านหินชั้น Q จะค่อย ๆ แยกออกเป็นชั้นย่อย (Split Seam) คือ Q1, Q2, Q3 และ Q4 โดยมีชั้นหินโคลนแทรกสลับหนามากขึ้นเมื่อไปทางใต้ของพื้นที่

ข) ถ่านหินชั้น K หนาประมาณ 25-30 เมตร ซึ่งเป็นถ่านหินชั้นหลักอีกชั้นหนึ่งที่การไฟฟ้าฝ่ายผลิตแห่งประเทศไทยได้ทำเหมือง พับถัดขึ้นมาจากการถ่านหินชั้น Q โดยมีชั้นหินโคลนสีเทาถึงสีเทาเขียวหนาประมาณ 25-30 เมตร คั่นอยู่ด้วยกองกลาง (Inter Burden) ถ่านหินชั้น K ทางด้านเหนือจะพบเป็นชั้นหนาชั้นเดียวต่อเนื่องกัน มีชั้นหินโคลนแทรกสลับบาง ๆ อยู่บ้าง จากนั้นถ่านหินชั้น K จะค่อย ๆ แยกออกเป็นชั้นย่อย คือ K1, K2, K3 และ K4 โดยมีชั้นหินโคลนแทรกสลับหนามากขึ้นเมื่อไปทางใต้ของพื้นที่เมื่อขึ้นกับถ่านหินชั้น Q

ค) ถ่านหินชั้น J พับเห็นเป็นแนวทางเดินทางตะวันตกของพื้นที่ ถ่านหินชั้นนี้เป็นถ่านหินบาง ๆ หลายชั้นหนาประมาณ 0.15-1.0 เมตร และแทรกสลับด้วยหินโคลน ถ่านหิน J บริเวณนี้ไม่ได้ทำเหมืองเนื่องจากเป็นถ่านหินชั้นบางและมีคุณภาพต่ำ



ที่มา: การไฟฟ้าฝ่ายผลิตแห่งประเทศไทย, การนำเสนอแนะนําพ. แม่เมะ, 2550

รูปที่ 2.4 แสดงชั้นถ่านหินที่ได้จากข้อมูลล้อม茱萸เจ้า

ชากระดีกดำบริพัทจำพวกหอย พบรได้ทั่วไปในหินหมวดนี้ และบางครั้งยังพบชากระดีกดำบริพัทจำพวกกระดองตะพาบน้ำ ก้างปลา ใบไม้ กระซิ่ง และฟันของสัตว์กินเนื้อ พวก Siamogale thailandica ซึ่งบอกอายุช่วงกลางยุคไมโอซีนจนถึงปลายยุคไมโอซีน ลักษณะของหินหมวดนี้คือมีสีเทา ในทางการทำเหมืองจึงนิยมเรียกหินหมวดนี้ว่า ชั้นดินสีเทา หรือ Grey Bed

**2.3.4.3 หมวดหินหัวยหลัง (Huai Luang Formation)** หนาประมาณ 5-400 เมตร โดยหนามากสุดบริเวณกลางแม่น้ำ หินส่วนใหญ่ประกอบด้วย หินโคลนและหินทรายเปลี่ยนสี น้ำตาลแดง มีหินทรายและหินกรวดมนบ้างบางแห่ง ด้านบนสุดถูกปิดทับด้วยตะกอนกรวดทราย อายุคาดว่าร้อยปี แบบมีรอยชั้นไม่ต่อเนื่อง ในหมวดหินนี้พบชั้นถ่านหินบาง ๆ 1 ชั้น เรียกว่าถ่านหินชั้น | ลักษณะเด่นของหินหมวดนี้คือมีสีน้ำตาลแดง เรียกว่า ชั้นดินแดง (Red Bed)

## 2.4 การวิเคราะห์คุณภาพถ่านหิน

การวิเคราะห์ถ่านหินใช้ในการจำแนกชนิดของถ่านหินเป็นหลัก เนื่องจากถ่านหินในแต่ละแหล่งจะมีคุณสมบัติต่างกันทั้งด้านกายภาพและทางด้านเคมี ซึ่งจะบ่งบอกถึงคุณภาพและชนิดของถ่านหิน โดยทั่วไปการวิเคราะห์คุณภาพถ่านหิน มุ่งเน้นไปที่คุณสมบัติด้านเคมี การเผาไหม้ และคุณสมบัติด้านกายภาพเป็นหลัก แต่บางครั้งอาจมีการวิเคราะห์ด้านศิลาระรูป (Petrography) ควบคู่ไปด้วย เพื่อประโยชน์ในการจัดลำดับชั้น และศึกษาด้านการกำเนิดถ่านหิน

วิธีวิเคราะห์ถ่านหินที่สำคัญ มีดังนี้

### 1. Proximate Analysis

เป็นวิธีการวิเคราะห์แบบง่าย ๆ โดยเผาถ่านหินภายใต้เงื่อนไขที่แตกต่างกัน เพื่อหาความสัมพันธ์ของ ความชื้น สารระเหย ขี้เถ้า และปริมาณ คาร์บอนในถ่านหิน

### 2. Ultimate Analysis

เป็นการวิเคราะห์ส่วนประกอบของเชื้อเพลิงเพื่อใช้ในการหาค่าความร้อนที่ได้จากการเผาไหม้ โดยจะรายงานเป็นปริมาณร้อยละของธาตุต่างๆ ที่ประกอบขึ้นเป็นถ่านหิน เช่น คาร์บอน ไฮโดรเจน อออกซิเจน ไนโตรเจน และกำมะถัน

### 3. Ash Chemical Analysis

เป็นการวิเคราะห์หาองค์ประกอบทางแร่ในนิทรีย์ในขี้เถ้าโดยนำตัวอย่างถ่านหินไปเผาที่อุณหภูมิ  $750^{\circ}\text{C}$  เพื่อให้ได้ขี้เถ้าแล้วนำไปวิเคราะห์โดยใช้เครื่องมือ ICPS (Inductively Coupled Plasma Spectrometer) เพื่อหาเปอร์เซ็นต์ขององค์ประกอบทางเคมีที่มีอยู่ในถ่านหิน เช่น ปริมาณของแคลเซียมในรูปร้อยละของ CaO เป็นต้น

## 2.5 ตะกรัน (Hatt R., 2001)

ถ้าที่เกิดการสะสมตัวจะมีอยู่สองแบบ คือ เถ้าหลอม (Molten Ash) และ เกลืออัลคาไลน์ (Alkali Salt) เถ้าหลอมที่เกิดการสะสมตัวเราระบุว่า “ตะกรัน” (Slag) ซึ่งเกิดขึ้นในบริเวณเตาเผา ของหม้อไอน้ำ ส่วนเกลืออัลคาไลน์จะเกิดในบริเวณระบบหมุนเวียนหรือระบบหล่อเย็นของหม้อไอน้ำ โดยอิมิบาลถึงส่วนต่าง ๆ ของถ้าที่สะสมตัวในบริเวณต่าง ๆ ดังนี้

### 2.5.1 ตะกรันผนัง (Wall Slag)

หมายถึง ตะกรันที่ถูกหลอมตัวและก่อตัวขึ้นบริเวณผนังเตา โดยผลกระทบที่เกิดขึ้นจากตะกรันชนิดนี้คือ

1) ตะกรันที่เกิดขึ้นอาจไหหลงอยู่ด้านล่างของเตาเผา และก่อตัวเป็นแนวตั้งคุดทางที่ถ้าจมจะตกสูญเสียไป

2) ตะกรันที่เกาะผนังจะทำตัวเป็นชนวนกีดขวางการส่งผ่านความร้อนไปยังผนังเตาเพื่อผลิตไอน้ำ ซึ่งทำให้เกิดอุณหภูมิของแก๊สที่ปากทางออกมากขึ้น ทำให้เกิดตะกรันขึ้นบริเวณห้องเผา

3) ตะกรันจะก่อตัวบริเวณหัวเผา (Burner) ที่เรียกว่า Eyebrows ซึ่งจะไปขัดขวางการไหลของมวลอากาศและถ่านหินซึ่งสร้างความเสียหายให้กับหัวเผาได้

### 2.5.2 Superheater Slag

เป็นตะกรันที่ก่อตัวขึ้นบริเวณ Superheater และบริเวณที่มีการหมุนเวียนอื่น ๆ ในหม้อไอน้ำ

### 2.5.3 ตะกรันบริเวณหมุนเวียนไปยังบริเวณการเกิด Fouling (Convection Pass Fouling)

ตะกรันชนิดนี้เป็นสาเหตุทำให้เกิดอัลคาไลน์ ชัลเฟต เช่น  $\text{CaSO}_4$  and  $\text{Na}_2\text{SO}_4$  ซึ่งเกี่ยวเนื่องกับการเกิดถ้าloy ตะกรันชนิดนี้มักเกิดขึ้นกับถ่านหินในແບຕະວັນທີของสหວັດ

### 2.5.4 ตะกรันที่สะสมตัวในบริเวณที่อุณหภูมิต่ำ (Low Temperature Deposit)

ตะกรันชนิดนี้เกิดขึ้นบริเวณที่เกิดลมร้อน และสะสมตัวเป็นชั้น ๆ เนื่องจากมีการควบแน่นกันระหว่างกรดชัลฟิวเริก์สมกับถ้าloy ในบริเวณนี้

## 2.6 เอกสารและงานวิจัยที่เกี่ยวข้อง

Qiu J.R. และคณะ, (1998) ได้ศึกษาอิทธิพลของพฤติกรรมแร่ในการหลอมถ้าถ่านหินที่ผสมกันแล้วและการเปลี่ยนรูปของแร่ โดยทำการศึกษาถ่านหินจำนวน 3 ตัวอย่างที่มีองค์ประกอบเคมีของถ้าที่ต่างกัน (ถ่านหิน I, J และ K) หลังจากนั้นนำมาทดสอบถ่านในอัตราส่วนที่ต่างกัน แล้วนำมาวิเคราะห์หาอุณหภูมิจุดหลอมตัวเริ่มต้น หรือ Ash Fusion Temperature (AFT) โดยที่

ตัวอย่างจะถูกเผาเริ่มที่อุณหภูมิ  $800^{\circ}\text{C}$  (เนื่องจากอุณหภูมิที่ต่ำกว่านั้นยังไม่เกิดปฏิกิริยาเคมีระหว่างแร่ในถ้าที่ชัดเจนออกจากเกิดการสลายตัว) จนกระทั่งถึงอุณหภูมิที่ตัวอย่างเริ่มหลอมตัวโดยเมื่องค์ประกอบทางเคมีของแร่ดังตารางที่ 2.1 องค์ประกอบแร่ในแต่ละช่วงอุณหภูมิจะวิเคราะห์ด้วยเครื่องวิเคราะห์ X-Ray Diffractometer (XRD) ซึ่งผลวิเคราะห์ XRD ที่อุณหภูมิ  $800^{\circ}\text{C}$  พบว่าตัวอย่าง I และตัวอย่าง J จะมีแร่คือตัวเป็นแร่หลัก ส่วนตัวอย่าง K ซึ่งมีผลวิเคราะห์ปิรามิดแคลเซียมออกไซด์สูงที่สุดก็จะพบแร่แคลเซิตเป็นแร่หลัก และจะพบแร่แอนไฮดริต (Anhydrite:  $\text{CaSO}_4$ ) และแร่ไฮมาไทต์ (Hematite:  $\text{Fe}_2\text{O}_3$ ) บ้างเล็กน้อย ดังรูปที่ 2.5 หลังจากเผาและวิเคราะห์ตัวอย่างแล้วผลปรากฏว่าองค์ประกอบของถ่านหินที่ถูกเผาจะมีอัตราส่วนระหว่าง  $\text{CaO}$ ,  $\text{Al}_2\text{O}_3$  และ  $\text{SiO}_2$  ที่เปลี่ยนไป ตัวอย่างถ่านหินที่เมื่องค์ประกอบของ  $\text{CaO}$  ต่ำ (ถ่านหิน I ผสมกับถ่านหิน J) ค่าอุณหภูมิเริ่มต้นของการหลอม (Initial Temperature: IT) ต่ำกว่าตัวอย่างที่มีค่า  $\text{CaO}$  สูง (ถ่านหิน J ผสมกับถ่านหิน K) ดังแสดงในตารางที่ 2.2

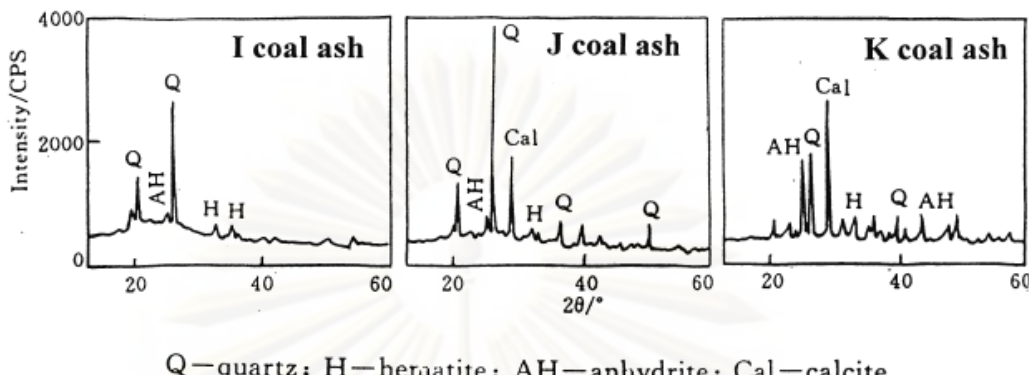
ตารางที่ 2.1 องค์ประกอบทางเคมีของแร่ของตัวอย่างถ่านหิน I, J และ K

Samples	I	J	K
<i>Proximate (wt.%)</i>			
Moisture	3.8	2.7	1.8
Ash	26.5	16.2	4.2
VM	11.8	27.6	21.4
<i>Ultimate (wt.%)</i>			
C	62.5	63.8	56.5
H	2.1	3.7	3.3
N	6.3	1.4	1.0
S	2.1	0.6	0.3
<i>Ash chemical composition (wt.%)</i>			
$\text{SiO}_2$	49.2	48.4	38.2
$\text{Al}_2\text{O}_3$	37.7	25.5	25.7
$\text{Fe}_2\text{O}_3$	4.2	3.5	10.8
$\text{CaO}$	1.04	2.41	13.50
$\text{MgO}$	1.27	5.54	6.43
$\text{Na}_2\text{O}$	0.93	0.45	0.96
$\text{K}_2\text{O}$	0.99	2.00	1.35
$\text{TiO}_2$	1.21	0.71	0.68

ที่มา: Qiu J.R. และคณะ, 1998.

การวิเคราะห์ XRD ซึ่งใช้เพื่อดูพฤติกรรมการหลอมของแร่ จะมีข้อจำกัดคือสามารถวิเคราะห์ได้เฉพาะลักษณะแร่ที่มีรูปผลลัพธ์เด่นเท่านั้น ส่วนลักษณะที่เป็นผลลัพธ์สัมฐานหรือไม่เป็นรูปผลลัพธ์จะไม่สามารถวิเคราะห์หาองค์ประกอบได้ ให้วิธีการหาความสัมพันธ์ของกราฟที่ได้จาก

การวิเคราะห์ XRD และ Ternary Phase Diagram ประกอบกันเพื่อทำนายลักษณะแร่ที่เกิดขึ้นเมื่ออุณหภูมิสูงขึ้นถึงจุดหลอมตัว



ที่มา: Qiu J.R. และคณะ, 1998.

รูปที่ 2.5 กราฟของ XRD ที่ได้จากการวิเคราะห์ตัวอย่างถ่านหิน I, J และ K

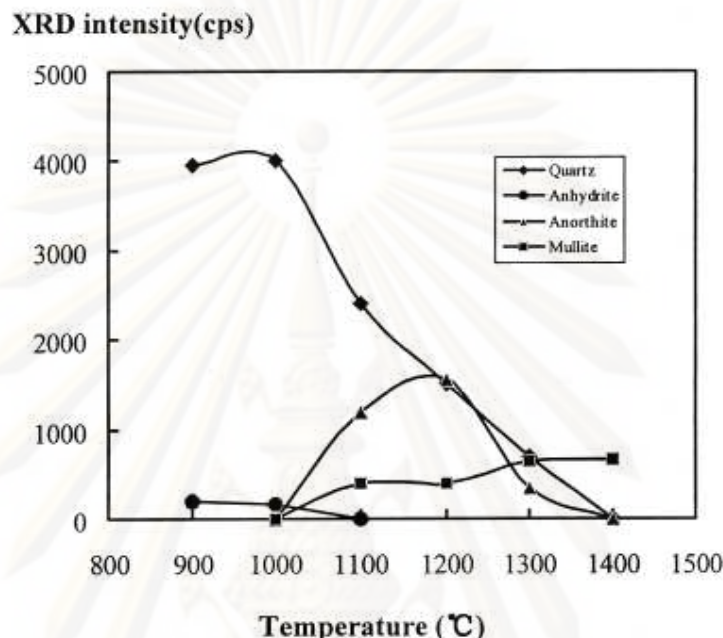
ตารางที่ 2.2 ลักษณะของการหลอมตัว ณ อุณหภูมิหนึ่งของตัวอย่าง

Samples	Initial deformation temperature (°C)	Softening temperature (°C)	Fusion temperature (°C)
I	> 1500		
J	1320	1350	1380
K	1200	1380	1400
20% I+80% J	1320	1380	1410
40% I+60% J	1430	1460	1510
60% I+40% J	> 1500		
80% I+20% J	> 1500		
20% K+80% J	1290	1330	1370
40% K+60% J	1230	1280	1330
60% K+40% J	1170	1200	1220
80% K+20% J	1170	1210	1230

ที่มา: Qiu J.R. และคณะ, 1998.

เมื่อนำตัวอย่างถ่าน I, J และ K มาทดสอบในอัตราส่วนต่าง ๆ แล้วนำมามาวิเคราะห์ XRD พบว่าในอัตราส่วนของถ่านตัวอย่าง 20% I ผสมกับถ่านตัวอย่าง 80% J โดยน้ำหนักนั้นจะมีเส้นกราฟที่สัมพันธ์กับอุณหภูมิที่เพิ่มขึ้น พบว่ามีการเริ่มเกิดแร่มูลไลท์ (Mullite) และแร่อ่อนอร์ฟิท (Anorthite) ขึ้นจากปฏิกิริยาร่วมกันระหว่าง  $\text{SiO}_2$ ,  $\text{CaO}$ ,  $\text{Al}_2\text{O}_3$  ที่  $1,000^\circ\text{C}$  ขึ้นไป และ  $\text{SiO}_2$  จะ

หายไปเมื่ออุณหภูมิ  $1,300^{\circ}\text{C}$  และแอนไฮไดรต์หายไปที่อุณหภูมิ  $1,100^{\circ}\text{C}$  ส่วนแร่มูลไอล์ต์กับแร่อะโนร์ไท์จะเกิดร่วมกันเมื่ออุณหภูมิ  $1,320^{\circ}\text{C}$  โดยที่แร่มูลไอล์ต์จะพบในถ่านหิน J ที่อุณหภูมิ  $1,500^{\circ}\text{C}$  ส่วนแร่อะโนร์ไท์จะพบในถ่านหิน J เท่านั้นที่อุณหภูมิ  $1,320^{\circ}\text{C}$  ดังรูปที่ 2.6

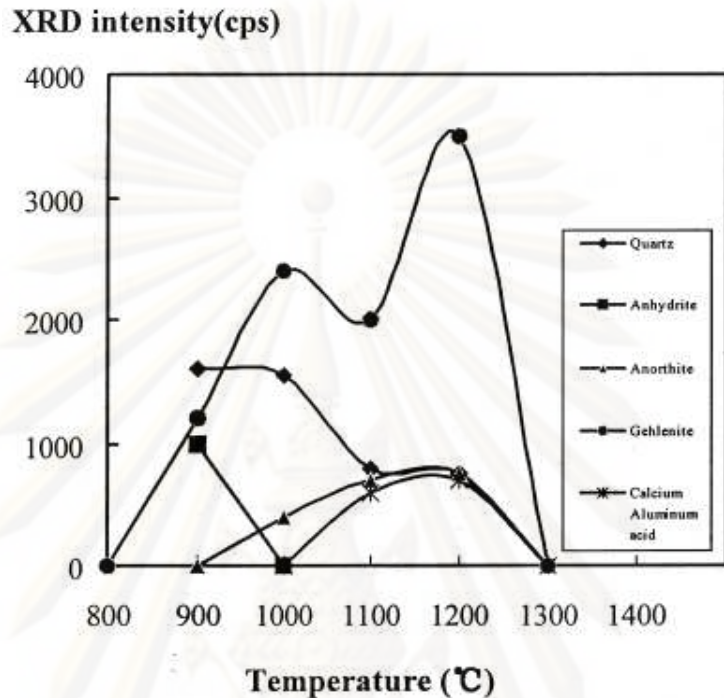


ที่มา: Qiu J.R. และคณะ, 1998.

รูปที่ 2.6 กราฟแสดงความสัมพันธ์ระหว่างปริมาณความเข้มข้นของ XRD กับอุณหภูมิของตัวอย่างถ่านหิน 20% | ผสมกับถ่านหิน 80% J

ส่วนการวิเคราะห์ตัวอย่างถ่านหินที่ผสมกันระหว่างตัวอย่าง 40% J กับ 60% K โดยน้ำหนักดังรูปที่ 2.7 พบว่า  $\text{SiO}_2$  ทำปฏิกิริยากับ  $\text{CaO}$  และ  $\text{Al}_2\text{O}_3$  ได้เป็นแร่เก็ลไนต์ ( $2\text{CaO} \cdot \text{Al}_2\text{O}_3 \cdot \text{SiO}$ ) และอะโนร์ไท์ และกลุ่มแร่แคลเซียมอะลูมิโนแอซิด ( $\text{CaO} \cdot \text{Al}_2\text{O}_3$ ) ที่อุณหภูมิ  $800^{\circ}\text{C}$ ,  $900^{\circ}\text{C}$  และ  $1,000^{\circ}\text{C}$  ตามลำดับ จากนั้น  $\text{SiO}_2$  จะเปลี่ยนไปอยู่ในรูปของผลึกอสัน്ധานที่  $1,320^{\circ}\text{C}$  ส่วนแร่แอนไฮไดรต์หายไปเมื่ออุณหภูมิ  $1,000^{\circ}\text{C}$  และแร่อะโนร์ไท์เริ่มสลายตัวที่อุณหภูมิอ่อนตัว (Softening Temperature)  $1,220^{\circ}\text{C}$  ส่วนแร่มูลไอล์ต์เริ่มก่อตัวที่อุณหภูมิ  $1,000^{\circ}\text{C}$  และเริ่มเปลี่ยนสภาพเป็นผลึกอสัน്ധานที่อุณหภูมิ  $1,400^{\circ}\text{C}$  ชนิดของแร่หลักในถ่านหินที่ผสมกันที่อุณหภูมิเริ่มต้นของการหลอม ( $1,170^{\circ}\text{C}$ ) ได้แก่ แร่เก็ลไนต์ และอะโนร์ไท์ และกลุ่มแร่แคลเซียมอะลูมิโนแอซิด ชนิดของแร่ของตัวอย่างถ่านหิน K ที่อุณหภูมิเริ่มต้นของการหลอม ( $1,200^{\circ}\text{C}$ ) คือแร่เก็ลไนต์ และในตัวอย่างถ่านหิน J อุณหภูมิเริ่มต้นของการหลอม ( $1,320^{\circ}\text{C}$ )

คือแร่ตะกอนอิฐไทร์ แร่ที่มีอยู่ในตัวอย่าง K 60% ผสมกับถ่านหิน J 40% ทั้งแร่เก้าหลาในตัวอย่างแร่ตะกอนอิฐไทร์ และกลุ่มแร่

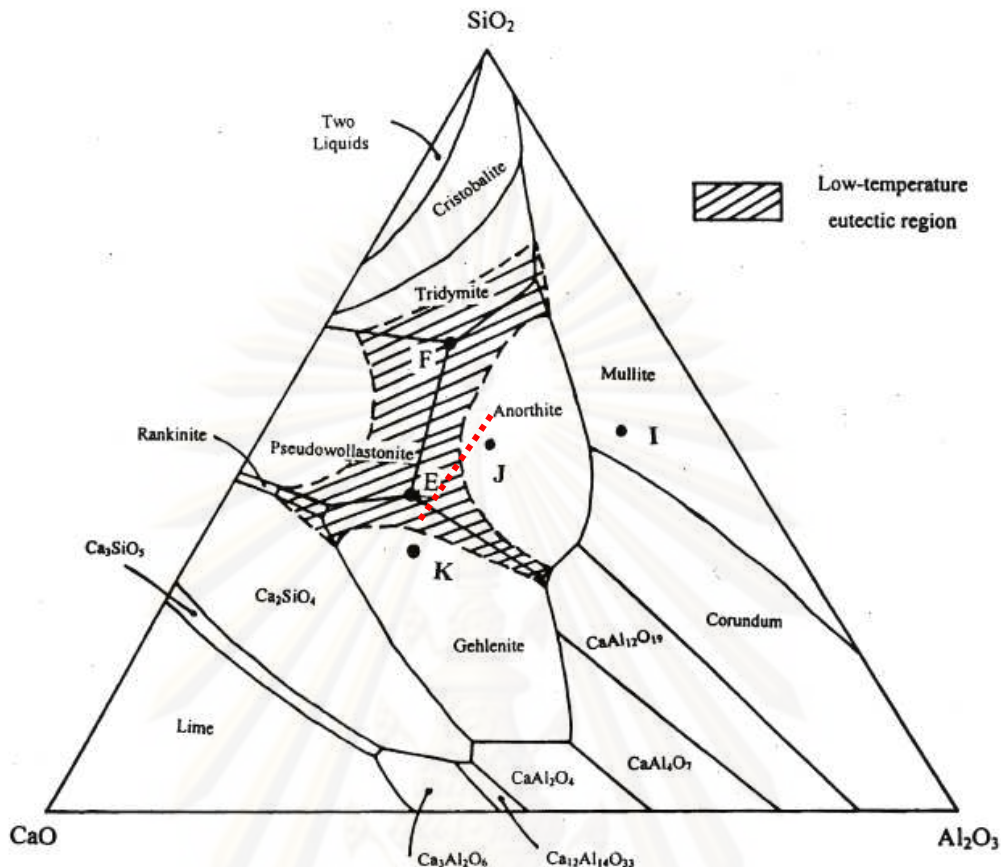


ที่มา: Qiu J.R. และคณะ, 1998.

รูปที่ 2.7 กราฟแสดงความสัมพันธ์ระหว่างปริมาณความเข้มของ XRD กับอุณหภูมิของตัวอย่างถ่านหิน J 40% ผสมกับถ่านหิน K 60%

แคลเซียมอลูมิโนเอชิด ทำให้เกิดส่วนผสมที่หลอมในอุณหภูมิต่ำดังรูปที่ 2.8 จึงเป็นสาเหตุให้เกิดการหลอมที่อุณหภูมิต่ำของเนื้อถ่านหินที่ถูกผสม

เมื่อวิเคราะห์องค์ประกอบออกไซด์ทางปริมาณร้อยละโดยน้ำหนักแล้วนำผลลัพธ์ลงใน Phase Diagram พบร้าตัวอย่าง I เป็นแร่มูลไทร์ ส่วนตัวอย่าง J คือแร่ตะกอนอิฐไทร์ และตัวอย่าง K เป็นแร่เก้าหลาในตัวอย่างซึ่งตรงกับผลวิเคราะห์ด้วย XRD ดังนั้น Ternary Phase Diagram สามารถอธิบายถึงการหลอมตัวของตัวอย่างถ่านหินได้โดยบริเวณที่เรารู้จักว่า Low-Temperature Eutectic Region เป็นบริเวณที่ค่าอุณหภูมิการหลอมของแร่มีค่าต่ำกว่า  $1,400^{\circ}\text{C}$  ดังนั้นเมื่อตัวอย่าง J และ K มาผสมกัน จะมีโอกาสสูงที่ตัวอย่างจะเริ่มหลอมตัวที่อุณหภูมิต่ำได้ดังรูปที่ 2.8



ที่มา: Qiu J.R. และคณะ, 1998.

รูปที่ 2.8 Ternary Phase Diagram ระหว่าง CaO-Al<sub>2</sub>O<sub>3</sub>-SiO<sub>2</sub>

Kantiranis N. et al., (2004) ได้ศึกษาองค์ประกอบของถ้าจม (Bottom Ash) ของโรงไฟฟ้า Agios Dimitrios ซึ่งใช้หลักการและกวิเคราะห์ด้วยเครื่อง PXRD เพื่อหาองค์ประกอบเคมีของแร่และภาระขององค์ประกอบของสารอินทรีย์จะใช้กระบวนการทางเคมีแบบเปียก รวมไปถึงการหาค่าการสูญเสียขณะเผาไหม้ (Loss On Ignition – LOI) ด้วย จากการวิเคราะห์พบว่า ตัวอย่างถ้าจมมีองค์ประกอบเคมีของแร่ เป็นแปร์เคลลไซต์, แปร์คาอตซ์, และแปร์ฟันนาห์รีโอเฟลด์สปาร์ (Feldspar) เป็นหลัก และพบแร่ไมกา และดินเหนียว และเก็ทเดไนต์ และพอร์ตแลนด์ไซต์ (Portlandite) ในปริมาณไม่มาก และพบแร่ที่มีลักษณะผลึกอัลตราบลูมิโนส์ในปริมาณร้อยละ 10-43 โดยน้ำหนัก ในขณะที่สารอินทรีย์มีองค์ประกอบอยู่ระหว่างร้อยละ 5-42 โดยน้ำหนัก ดังตารางที่ 2.3

ตารางที่ 2.3 แสดงปริมาณองค์ประกอบทางเคมีของแร่ (ร้อยละโดยน้ำหนัก), สารอินทรีย์ (ร้อยละโดยน้ำหนัก), และค่าความร้อนที่สูญเสียไปของตัวอย่างถ้า Jamie

Unit	C	Q	M	Cl	F	G	P	A	Total	OM	I.A.M. (A-OM)	L.O.I.
I	32	20	-	2	3	-	-	43	100	42	1	49
II	29	23	2	-	6	5	-	35	100	33	2	39
IV	25	23	-	-	21	8	10	13	100	6	7	12
V	20	34	-	-	11	7	18	10	100	5	5	10

C: calcite, Q: quartz, M: micas, Cl: clays (kaolinite), F: feldspars, G: gehlenite, P: portlandite, A: total amorphous material (determined by PXRD, including organic matter), OM: organic matter (determined by net chemical method), IAM: inorganic amorphous material, L.O.I.: loss of ignition at 1050° C/2h.

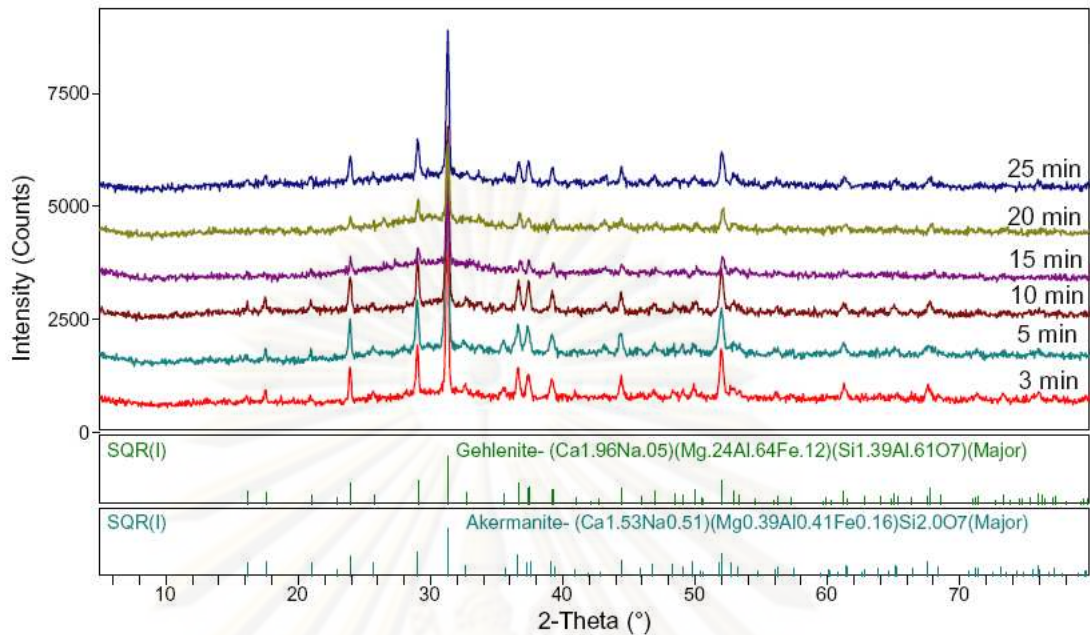
ที่มา: Kantiranis N. et al., 2004

แร่บางตัวที่อยู่ในถ้า Jamie เช่น แร่แคลไซซ์ แร่ควอตซ์ แร่ไมกา และแร่ดินเหนียว จะเป็นองค์ประกอบหลักอยู่ในถ่านหิน ในขณะที่แร่เก็ทเลอโน๊ต และแร่พอร์ตแลนด์ไดต์เกิดขึ้นในระหว่างการเผาถ่านหินลิกไนต์ โดยที่แร่พอร์ตแลนด์ไดต์เกิดจากปฏิกิริยาไฮเดรชันของควิกไลม์ซึ่งเกิดจาก การสลายตัวด้วยความร้อนของแร่แคลไซซ์

Bai J. et al. (2007) ได้ศึกษาถ่านหินที่ถูกเตรียมไว้ที่อุณหภูมิ 815°C ที่ผ่านการออกซิไดซ์กับอากาศและเพิ่มอุณหภูมิไปจนถึง 1,300°C และ 1,400°C ในบรรยากาศที่ไม่มีออกซิเจน องค์ประกอบหลักของถ่านหินและชี้ถ้าคือควอตซ์ ส่วนขององค์ประกอบหลักของชี้ถ้าโดยคือ อลูมิโนซิลิเกต ชี้ถ้าที่เกิดจากถ่านหินถูกผสมด้วยอัตราส่วนต่าง ๆ กันเพื่อทำนายพฤติกรรมการเกิดชี้ถ้าจากการหลอมหรือ IT (Initial Deforming Temperature), อุณหภูมิเมื่อเริ่มอ่อนตัวหรือ ST (Softening Temperature) และอุณหภูมิเมื่อเริ่มเป็นของเหลวหรือ FT (Fluid Temperature) ซึ่งสอดคล้องกับ Phase Diagram ของ CaO-Al<sub>2</sub>O<sub>3</sub>-SiO<sub>2</sub>

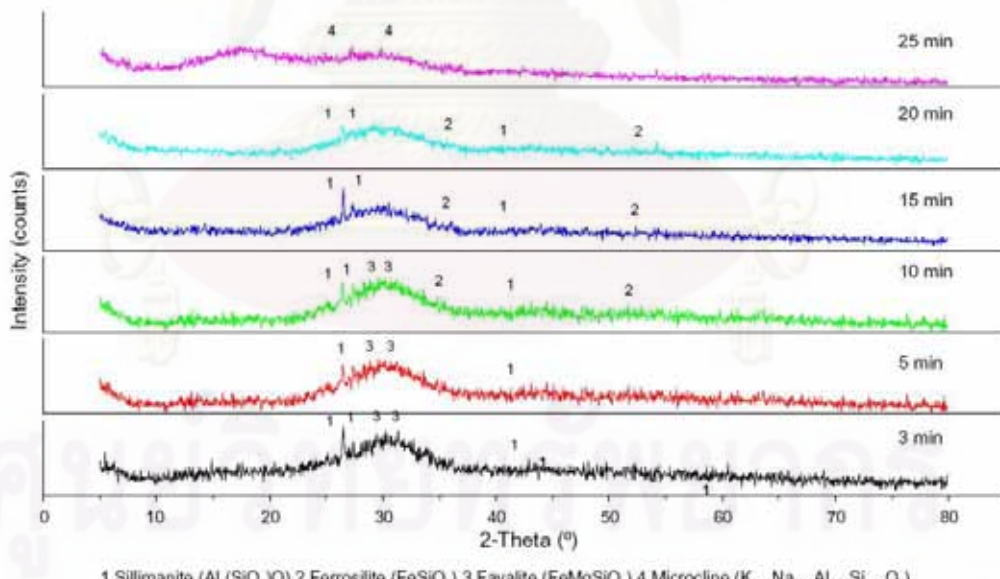
ลักษณะทางกายภาพและทางเคมีของชี้ถ้าจะถูกควบคุมโดยองค์ประกอบของถ่านหิน, เดอาที่ใช้ในการเผา และสภาวะณ ขณะเผา ซึ่งผลการทดลองแสดงถึง Residence Time ของถ้าถ่านหินที่อุณหภูมิสูงกว่ามีผลต่อการเปลี่ยนแปลงองค์ประกอบของถ่านหินและมีผลลัพธ์อยู่ต่อปริมาณของคาร์บอนที่ไม่ได้ถูกเผา ระยะของการเกิดผลลัพธ์ก่อสัมฐานเพิ่มขึ้นเมื่อเพิ่มอุณหภูมิสูงขึ้นโดยผลจากการวิเคราะห์ด้วยเครื่อง XRD พบว่า ณ อุณหภูมิ 1,300°C จะพบองค์ประกอบทางเคมีของแร่เอคอว์มานีต และแร่เก็ทเลอโน๊ต ซึ่งเกิดขึ้นตามลำดับปฏิกิริยาคือ





ที่มา: Bai J. et al. 2007.

รูปที่ 2.9 กราฟ XRD ของตัวอย่างวิเคราะห์ที่อุณหภูมิ 1,300°C



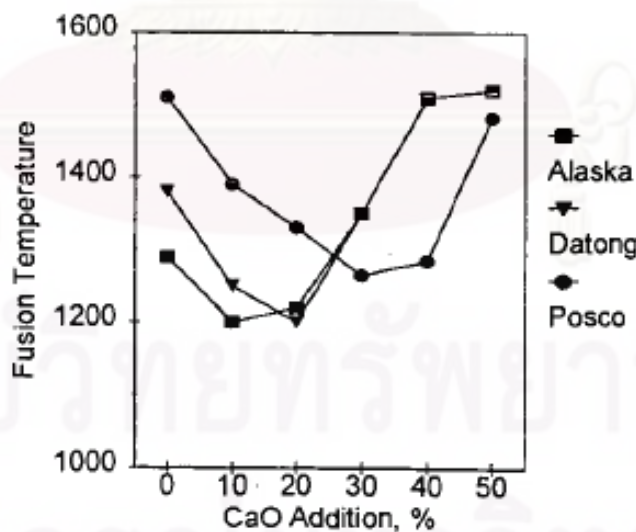
ที่มา: Bai J. et al. 2007.

รูปที่ 2.10 แสดงข้อมูลจาก XRD ของตัวอย่างที่อุณหภูมิ 1,400°C

จากการที่ 2.9 พบว่า ระยะเวลาของการเผาที่เพิ่มขึ้นนั้นไม่มีผลที่ชัดเจนต่อองค์ประกอบที่เกิดขึ้น แต่อย่างไรก็ตามอาจมีผลต่อปริมาณที่เปลี่ยนไป แร่เคอร์มาไนต์ และแร่เกห์เลอโน๊ต เมื่ออุ่นสภาพสารละลายของแข็ง รูปแบบของกราฟ XRD จะคล้ายกัน ดังรูปที่ 2.9 เมื่อเวลาผ่านไป ปริมาณของแร่เคอร์มาไนต์ลดลงแต่แร่เกห์เลอโน๊ตมีปริมาณเพิ่มขึ้น (ณ อุณหภูมิ  $1,300^{\circ}\text{C}$ ) และเมื่ออุณหภูมิ  $1,400^{\circ}\text{C}$  เริ่มมีการเปลี่ยนเฟสเป็นผลกอสันธานซึ่งไม่สามารถอธิบายการเกิดแร่โดยใช้ Phase Diagram ของ  $\text{CaO}-\text{Al}_2\text{O}_3-\text{SiO}_2$

ที่อุณหภูมิ  $1,400^{\circ}\text{C}$  จากข้อมูล XRD ดังรูปที่ 2.10 พบว่าส่วนใหญ่ได้เปลี่ยนรูปไปเป็นผลกอสันธานแล้ว โดยยังพอวิเคราะห์ได้ว่าเป็นแร่ชิลลิมาไนต์ (Sillimanite) และฟายาไลต์ (Fayalite) และเฟอร์โรซิลไลต์ (Ferrosilite) และแร่ไมโครไคลน์ (Microcline) เป็นแร่หลัก และเมื่ออุณหภูมิสูงขึ้น ปริมาณของแร่ชิลลิมาไนต์จะลดลงด้วย

Hyun-Taek Kim et al. (1995) ได้ทำการทดลองโดยนำตัวอย่างถ่านหินจำนวน 3 ตัวอย่าง (Alaska, Datong และ Posco) มาวิเคราะห์หา Ash Fusion Temperature โดยเริ่มต้นเผาที่อุณหภูมิ  $538^{\circ}\text{C}$  จนถึง  $1,600^{\circ}\text{C}$  และได้ใส่  $\text{CaO}$  ในปริมาณต่าง ๆ เพื่อดูว่าจะมีผลต่ออุณหภูมิของการหลอมหรือไม่ พบว่าอุณหภูมิของการหลอมมีค่าต่ำลงเมื่อเติม  $\text{CaO}$  ลงไปจนกระทั่งถึงปริมาณหนึ่งที่เริ่มนากเกินพอก ค่าอุณหภูมิของการหลอมเพิ่มสูงขึ้นดังรูปที่ 2.11 ซึ่งได้ข้อมูลสรุปมาจากการที่ 2.4



ที่มา: Hyun-Taek Kim et al. 1995.

รูปที่ 2.11 แสดงอุณหภูมิการหลอมของตัวอย่างเมื่อเติม  $\text{CaO}$  ในปริมาณต่าง ๆ

ตารางที่ 2.4 แสดงอิทธิพลของการเติม CaO ที่ทำให้อุณหภูมิของการหลอมเปลี่ยนไป

Coal	AFT(°C)	%CaO (reducing condition)					
		Raw	10%	20%	30%	40%	50%
Alaska	IDT	1165	1143	1187	1256	1406	1413
	ST	1176	1163	1200	1275	1471	1525
	HT	1212	1183	1211	1289	1527	1535
	FT	1287	1208	1218	1344	1529	1537
$\Delta T$ (FT-IDT)		123	65	31	88	123	124
Datong	IDT	1178	1139	1166	1256	1406	1413
	ST	1230	1182	1181	1275	1471	1525
	HT	1268	1222	1188	1289	1520	1535
	FT	1362	1282	1201	1344	1527	1537
$\Delta T$ (FT-IDT)		184	143	35	88	121	124
Posco	IDT	1369	1245	1193	1219	1257	1380
	ST	1420	1278	1215	1234	1268	1440
	HT	1460	1308	1243	1245	1275	1467
	FT	1519	1379	1317	1260	1286	1486
$\Delta T$ (FT-IDT)		150	134	124	41	29	106

ที่มา: Hyun-Taek Kim et al. 1995.

## บทที่ 3

### วิธีดำเนินการวิจัย

#### 3.1 แผนการศึกษาวิจัย

จากการที่การไฟฟ้าฝ่ายผลิตแห่งประเทศไทยได้มีการศึกษาและวิจัยร่วมกับบริษัท Marubeni (Thailand) จำกัด และ บริษัท Taiho Industries จำกัด ได้สรุปว่าจุดวิกฤตที่ทำให้เกิดตะกรันน้ำจะเป็นถ่านหินที่มีปริมาณ CaO ในถ่านอยู่ในช่วงระหว่าง 23-35% อย่างไรก็ตาม การศึกษาของบริษัท Taiho ประเทศญี่ปุ่นยังนี้ข้อจำกัดของการศึกษาโดยการศึกษาดังกล่าว เป็นการศึกษาการเกิดตะกรันเบื้องต้น โดยการเพาใหม่ถ่านลิกไนต์บางอุณหภูมิ และยังไม่สามารถสรุปสาเหตุที่แท้จริงของการเกิดตะกรันได้

การศึกษาถ่านหินที่เป็นสาเหตุให้เกิดตะกรันนั้น จะศึกษาโดยนำตัวอย่างที่มีค่าปริมาณ ร้อยละของ CaO ที่ใกล้เคียงกับช่วง 23-35% กับตัวอย่างถ่านหินที่มีค่าร้อยละ CaO ต่ำ และตัวอย่างถ่านหินที่มีค่าร้อยละ CaO สูง มาหาองค์ประกอบทางเคมีของแร่ที่เปลี่ยนไปเมื่ออุณหภูมิสูงขึ้นจนใกล้เคียงกับอุณหภูมิในเตาเผา (ประมาณ  $1,200^{\circ}\text{C}$ ) และนำข้อมูลที่ได้มาเปรียบเทียบกับองค์ประกอบทางเคมีของแร่ที่ได้จากการวิเคราะห์ตะกรัน จากนั้นหาความสัมพันธ์ของปัจจัยการเกิดตะกรันโดยนำมาเทียบกับ สามเหลี่ยมໄดอะแกรม (Ternary Phase Diagram) ระหว่าง  $\text{CaO-Al}_2\text{O}_3-\text{SiO}_2$

#### 3.2 เครื่องมือและอุปกรณ์ในการวิจัย

1. เครื่องย่อยแบบลูกกลิ้ง (Roll Crusher)
2. เครื่องบดแบบแหวน (Ring Mill)
3. ตะแกรงมาตรฐาน (Sieve)
4. เตาเผา
5. เครื่องซั่งสาร
6. เครื่องรังสีเอกซ์เดลี่วaben (X-Ray Diffractometer : XRD)
7. เครื่องวิเคราะห์หาอุณหภูมิการหลอมของถ่าน (Ash Fusion Determinator)
8. Inductively Coupled Plasma Spectrometer – ICPS

### 3.3 ตัวอย่างที่ใช้ในงานวิจัย

#### 3.3.1 ตัวอย่างถ่านหิน

ตัวอย่างถ่านหินที่นำมาศึกษาวิจัยได้เก็บมาจากเหมืองถ่านหินแม่เม้าะ จ. ลำปาง จำนวน 3 แหล่ง คือ ตัวอย่างที่ได้จากชั้นถ่านหิน Q2 (ปริมาณร้อยละของ CaO ต่ำ) ตัวอย่าง Q4 (ปริมาณร้อยละของ CaO ปานกลาง) และตัวอย่าง K3 (ปริมาณร้อยละของ CaO สูง) ดังรูปที่ 3.1-3.3 โดยวิธีการเลือกพื้นที่ตัวอย่างได้มาจากข้อมูลหลุมเจาะเพื่อหาตัวอย่างโดยดูจากค่าปริมาณร้อยละของ CaO ซึ่งวิธีการเก็บตัวอย่างจะกระเทาะชั้นหินในแนววางกับแนวชั้นหิน เพื่อให้ครอบคลุมองค์ประกอบของถ่านหินของชั้นนั้น



รูปที่ 3.1 แสดงการเก็บตัวอย่างของ Q2



รูปที่ 3.2 แสดงการเก็บตัวอย่างของ Q4



รูปที่ 3.3 แสดงการเก็บตัวอย่างของ K3



รูปที่ 3.4 ตัวอย่างถ่านหิน Q2



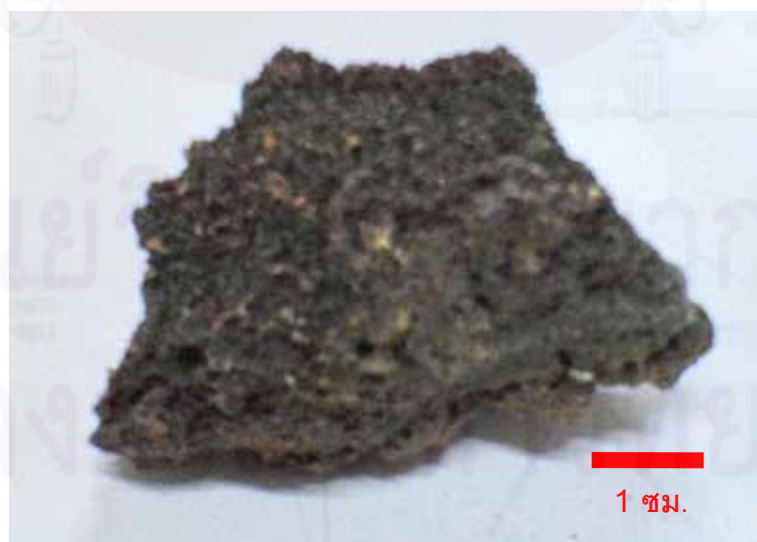
รูปที่ 3.5 ตัวอย่างถ่านหิน Q4



รูปที่ 3.6 ตัวอย่างถ่านหิน K3

### 3.3.2 ตัวอย่างตะกรัน

ตัวอย่างตะกรันได้มาจากการผั่งเตาในโรงไฟฟ้าญี่ปุ่นที่ 9 จำนวน 4 ตัวอย่างโดยจะเรียกชื่อแต่ละตัวอย่างคือ Slag A, Slag B, Slag C และ Slag D โดยที่ Slag A เป็นตะกรันที่ได้จากถ่านหินที่มีค่าปริมาณร้อยละของ CaO สูง มีลักษณะเป็นรูปrun มีสีดำสลับน้ำตาล Slag B ได้มาจากการติดผังเตาโดยต้องปิดโรงไฟฟ้าเพื่อแกะตะกรันนี้ออกจากผังเตา และ Slag C ได้จากส่วนที่ติดผังก่อนและร่วงลงมาพร้อมถ้าจม ดังรูปที่ 3.7 – 3.10



รูปที่ 3.7 ตัวอย่าง Slag A



รูปที่ 3.8 ตัวอย่าง Slag B



รูปที่ 3.9 ตัวอย่าง Slag C

### 3.4 ขั้นตอนการทำวิจัย

#### 3.4.1 การเตรียมและวิเคราะห์ตัวอย่างถ่านหิน

เมื่อได้ตัวอย่างมาแล้วจะทำการย่อยด้วยเครื่องย่อยแบบลูกกลิ้ง (Roll Crusher) ให้ได้ขนาด 80 เมช (Mesh) แล้วนำไปขักตัวอย่างออกไปบางส่วนก่อนนำไปบดโดยใช้เครื่องบดแบบแหนงจะได้ขนาดตัวอย่างประมาณ 325 เมช หลังจากนั้นนำตัวอย่างที่บดแล้วนำไปวิเคราะห์ด้วยวิธีการต่าง ๆ ดังนี้

1) หาร้อยละขององค์ประกอบทางเคมีของแร่ (Ash Chemical Analysis) ซึ่งเป็นการวิเคราะห์ทางองค์ประกอบทางเคมีของแร่ชนิดที่มีในชี้-stea โดยนำตัวอย่างถ่านหินไปเผาที่อุณหภูมิ 750 °C เพื่อให้ได้ชี้-stea แล้วนำไปวิเคราะห์โดยใช้เครื่องมือ ICPS ในรูปของ Oxides ซึ่งจะอยู่ในรูป  $\text{SiO}_2$ ,  $\text{Al}_2\text{O}_3$ ,  $\text{Fe}_2\text{O}_3$ ,  $\text{TiO}_2$ ,  $\text{CaO}$ ,  $\text{MgO}$ ,  $\text{K}_2\text{O}$ ,  $\text{Mn}_3\text{O}_4$ ,  $\text{SO}_3$  และ  $\text{Na}_2\text{O}$  ดังตารางที่ 3.1 โดยใช้ค่าปริมาณร้อยละของ  $\text{CaO}$  เป็นเกณฑ์ในการกำหนดชนิดตัวอย่าง จากราคาพบว่า ตัวอย่างถ่านหิน Q2, K3 และ Q4 มีค่าปริมาณร้อยละของ  $\text{CaO}$  คือ 2.24, 27.42 และ 31.81 ตามลำดับ (ตัวหนาสีแดง) จะสังเกตว่า ตัวอย่างถ่านหิน K3 และ Q4 นี้มีค่าปริมาณร้อยละของ  $\text{CaO}$  อยู่ในช่วงของโอกาสที่ทำให้เกิดตะกรัน (คือ  $\text{CaO}$  อยู่ในช่วง 23 -35% ซึ่งเป็นช่วงที่จะเกิดตะกรันในหม้อไอน้ำของโรงไฟฟ้า)

ตารางที่ 3.1 แสดงผลการทดสอบองค์ประกอบเคมีของชี้-stea ของตัวอย่างถ่านหิน

SAMPLE NAME	Q 2	Q 4	K 3
ASH COMPOSITION (% wt)	RESULT		
$\text{Fe}_2\text{O}_3$	9.31	18.20	12.33
$\text{Al}_2\text{O}_3$	31.01	9.88	9.49
$\text{MgO}$	1.44	3.81	6.71
$\text{SiO}_2$	48.21	19.58	19.33
$\text{CaO}$	2.24	27.42	31.81
$\text{K}_2\text{O}$	4.03	0.69	0.69
$\text{Na}_2\text{O}$	1.02	2.27	3.17
$\text{TiO}_2$	0.44	0.13	0.11
$\text{Mn}_3\text{O}_4$	0.01	0.12	0.16
$\text{SO}_3$	0.42	17.00	13.50
TOTAL	98.13	99.10	97.30

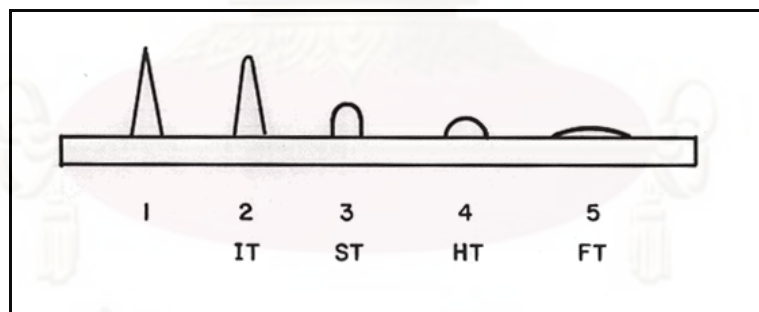
2) วิเคราะห์เพื่อหาอุณหภูมิการหลอมของถ่าน (Ash Fusion Temperature) ([http://maemohmine.egat.co.th/mining\\_technology/coal\\_analysis3.html](http://maemohmine.egat.co.th/mining_technology/coal_analysis3.html)) เป็นการศึกษาพฤติกรรมการหลอมของถ่านหินที่อุณหภูมิสูง โดยจะวิเคราะห์เพื่อดูอุณหภูมิที่ถ่านเริ่มจะละลายโดยขี้ถ่านจะถูกทำให้มีรูปร่างคล้ายกับรูปทรงพีรามิด และใส่เข้าไปในเตาเผาซึ่งออกแบบโดยเฉพาะภายใต้บรรยายกาศที่มีหรือไม่มีออกซิเจน พร้อมทั้งสังเกตและบันทึกการเปลี่ยนแปลงผ่านกระจกเตาเผา โดยจะเริ่มที่อุณหภูมิ  $900^{\circ}\text{C}$  จนถึงอุณหภูมิ  $1,600^{\circ}\text{C}$  อุณหภูมิที่บันทึกมี 4 ค่า คือ

ก) Initial Deformation Temperature (IT) เป็นอุณหภูมิที่ตัวอย่างหลอมละลายด้วยเริ่มจากปลายยอด

ข) Softening Temperature (ST) เป็นอุณหภูมิที่ตัวอย่างหลอมละลายจนความสูงของแท่งตัวอย่างลดลงเหลือครึ่งหนึ่งของความสูง ของตัวอย่าง เริ่มต้น

ค) Hemispherical Temperature (HT) เป็นอุณหภูมิที่ตัวอย่างหลอมละลายจนความกว้างของฐานมีค่าเท่ากับ 2 เท่าของความสูง

ง) Flow Temperature (FT) เป็นอุณหภูมิที่ตัวอย่างหลอมละลายจนไหด ซึ่ง ณ จุดนี้ ความสูงของตัวอย่างจะมีค่าเท่ากับ 1 ใน 3 ของความกว้าง ของฐาน ซึ่งลักษณะของรูปพีรามิดในแต่ละค่า้นั้น จะมีลักษณะดังรูปที่ 3.11



ที่มา: [http://maemohmine.egat.co.th/mining\\_technology/coal\\_analysis3.html](http://maemohmine.egat.co.th/mining_technology/coal_analysis3.html)

รูปที่ 3.10 รูปร่างของพีรามิดในแต่ละค่าของอุณหภูมิการหลอม

โดยพีรามิดหมายเลข 1 แทนลักษณะตัวอย่างก่อนเข้าเครื่องวิเคราะห์หมายเลข 2 แทนค่า IT หมายเลข 3 แทนค่า ST หมายเลข 4 แทนค่า HT และหมายเลข 5 แทนค่า FT และหลังจากที่ได้เผาตัวอย่างเพื่อดูลักษณะพีรามิดแล้ววิเคราะห์ออกมานะจะได้ผลตามในบทที่ 4 ตารางที่ 4.1 ซึ่งพบว่า ตัวอย่าง Q2 ที่มีค่าปริมาณร้อยละของ CaO ต่ำ จะมีค่า IT สูง ซึ่งต่างจากตัวอย่าง K3 และ Q4 โดยเฉพาะอย่างยิ่ง ตัวอย่าง Q4 ค่า IT ต่ำกว่าอุณหภูมิในเตาเผา

จริง ดังนั้นเมื่ออยู่ในบริเวณห้องเผา Q4 จะมีโอกาสหลอมตัวติดผนังเตาได้เร็ว ณ อุณหภูมิต่ำทำให้เกิดตะกรันได้ง่ายขึ้น

3) การนำตัวอย่างถ่านหินมาเผาที่อุณหภูมิต่าง ๆ กันแล้ววิเคราะห์ด้วยวิธีรังสีเอกซ์เรย์เป็น (X-Ray Diffractometer – XRD) โดยนำตัวอย่างทั้งสามที่ผ่านการบดแล้ว มาซักตัวอย่างด้วยวิธี Cone and Quartering แล้วนำมาเผาในเตาเผาโดยใช้ตัวอย่างในถ้วยทนไฟประมาณ 15 กรัม ก่อนนำเข้าเตาเผาเพื่อถูกองค์ประกอบทางเคมีของแร่ที่เปลี่ยนไปเมื่ออุณหภูมิสูงขึ้นโดยเริ่มเผาจากอุณหภูมิ ห้องจนถึงอุณหภูมิ  $800^{\circ}\text{C}$  อีก 3 ชั่วโมง จากนั้นนำออกจากเตาเผา ทิ้งให้เย็นสักพักแล้วนำไปไว้ในโคลด์ความชื้นเพื่อไม่ให้ทำปฏิกิริยากับอากาศ จนเกิดเป็นสารประกอบออกไซต์มากจนเกินไป ทำเช่นนี้รีอยไปโดยจะเพิ่มอุณหภูมิที่ละ  $100^{\circ}\text{C}$  จนถึงอุณหภูมิ  $1,200^{\circ}\text{C}$  และนำตัวอย่างในแต่ละอุณหภูมิมาวิเคราะห์โดยวิธี XRD

4) นำตัวอย่าง Q2 และ Q4 มาผสมในอัตราส่วนต่าง ๆ คือ  $20\% \text{ Q2} + 80\% \text{ Q4}$ ,  $40\% \text{ Q2} + 60\% \text{ Q4}$ ,  $60\% \text{ Q2} + 40\% \text{ Q4}$ , และ  $80\% \text{ Q2} + 20\% \text{ Q4}$  ทั้งหมด 4 ตัวอย่าง จากนั้นทำการวิเคราะห์เช่นเดียวกับข้อ 2) และข้อ 3)

### 3.4.2 การเตรียมและวิเคราะห์ตัวอย่างตะกรัน

นำตัวอย่างตะกรันทั้ง 3 ตัวอย่าง (Slag A, B และ C) มาอบให้แห้งที่อุณหภูมิ  $105^{\circ}\text{C}$  เป็นเวลา 8 ชั่วโมง หลังจากนั้นทิ้งให้เย็น แล้วนำมารบดในเครื่องบดแบบแหนวนจะได้ขนาดประมาณ 325 เมช จากนั้นนำมาวิเคราะห์ด้วยวิธี XRD แล้วนำผลวิเคราะห์มาเปรียบเทียบกับผลวิเคราะห์ XRD ที่ได้จากตัวอย่างถ่านหินจากข้อ 2) และข้อ 3) ในหัวข้อที่ 3.4.1



## บทที่ 4

### ผลการทดลองและการวิเคราะห์ผลการทดลอง

4.1 ผลการวิเคราะห์ที่ได้จากการหาอุณหภูมิการหลอมของถ่านหิน (Ash Fusion Temperature Analysis) และตัวอย่างถ่านหินที่ผ่านการเผาที่อุณหภูมิต่างๆ กันด้วยเครื่อง X-Ray Diffractometer (XRD)

#### 4.1.1 ผลการวิเคราะห์ที่ได้จากการหาอุณหภูมิการหลอมของถ่านหิน

นำตัวอย่างถ่านหิน Q2 (%CaO = 2.24), Q4 (%CaO = 27.42) และตัวอย่าง K3 (%CaO = 31.81) มาอบให้แห้งแล้วนำมาบดให้ผ่านรูตะแกรงขนาด 200 เมช (ประมาณ 74 ไมครอน) ทั้งหมด จากนั้นนำไปเผาที่อุณหภูมิ  $800^{\circ}\text{C}$  เป็นเวลา 2 ชั่วโมงจนกลายเป็นถ่านหินแล้วนำมาวิเคราะห์หากค่าอุณหภูมิการหลอมด้วยเครื่อง Ash Fusibility Determinator รุ่น AF 700 ในสภาพบรรยายกาศออกซิเจน โดยเริ่มเผาที่อุณหภูมิ  $900^{\circ}\text{C}$  จนถึง  $1,600^{\circ}\text{C}$  ได้ผลวิเคราะห์ดังตารางที่ 4.1

ตารางที่ 4.1 แสดงอุณหภูมิของการหลอมตัวของถ่านหิน Q2, Q4 และ K3

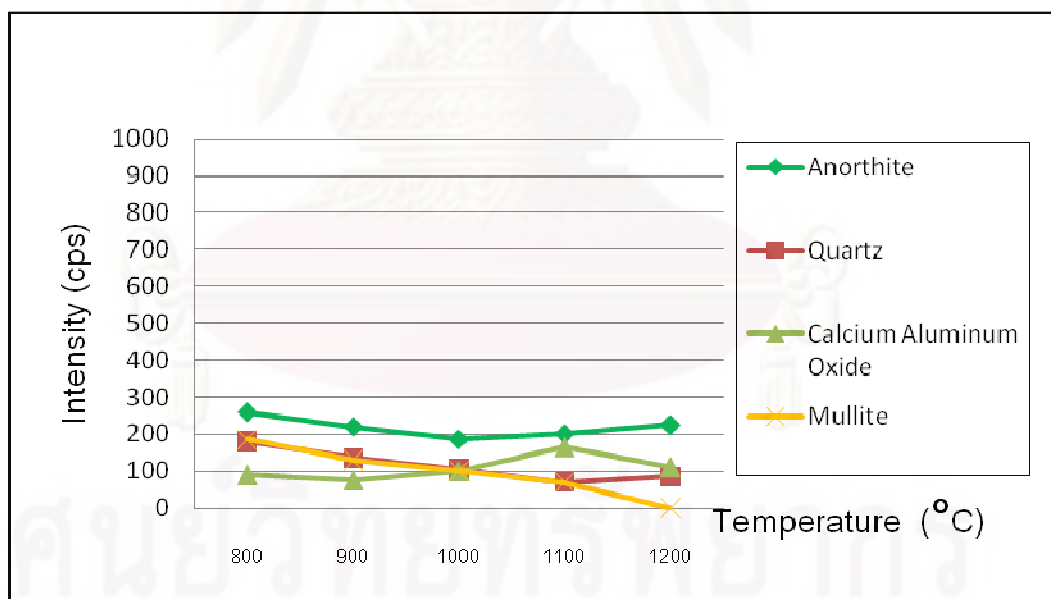
SAMPLE NAME	Q2	Q4	K3
ASH FUSION TEMPERATURE ( °C)	RESULT		
INITIAL DEFORMATION TEMPERATURE (IT)	>1,500	1,197	1,301
SOFTENING TEMPERATURE (ST)	>1,500	1,305	1,314
HEMISPERICAL TEMPERATURE (HT)	>1,500	1,307	1,328
FLUID TEMPERATURE (FT)	>1,500	1,329	1,369

จากตารางที่ 4.1 พบร่วมกับตัวอย่าง Q4 ซึ่งมีค่า %CaO ปานกลางจะมีค่า IT ต่ำที่สุดซึ่งต่ำกว่าอุณหภูมิในเตาเผาของหม้อไอน้ำ (อุณหภูมิประมาณ  $1,300^{\circ}\text{C}$ ) ทำให้เกิดการหลอมตัว

ในผังเตาได้ง่าย ส่วนตัวอย่าง Q2 ซึ่งมีค่า %CaO ต่ำ มีค่า IT สูง (มากกว่า 1,500°C) และตัวอย่าง K3 ซึ่งมีค่า %CaO สูง มีค่า IT ประมาณ 1,300°C ซึ่งเป็นอุณหภูมิสูงสุดของหม้อไอ้น้ำ ซึ่งหากนำถ่านหิน K3 ไปเผาอาจเกิดตะกรันในหม้อไอ้น้ำของโรงไฟฟ้าได้

#### 4.1.2 ผลการวิเคราะห์ตัวอย่างถ่านหินที่ผ่านการเผาที่อุณหภูมิต่าง ๆ กันด้วยเครื่อง X-Ray Diffractometer (XRD)

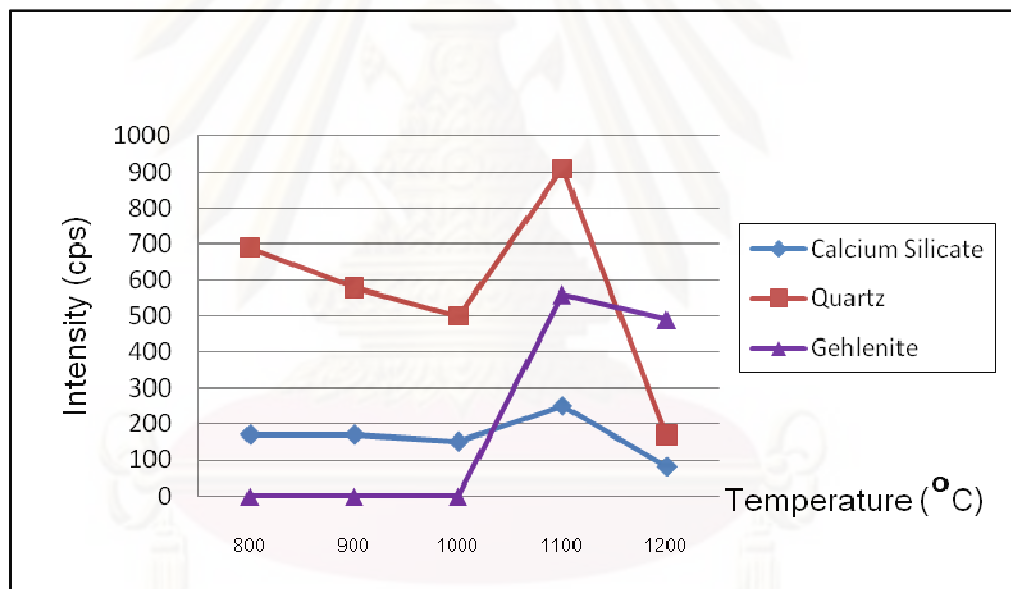
การวิเคราะห์ตัวอย่างถ่านหิน Q2, Q4 และตัวอย่าง K3 เพื่อหาชนิดของแร่ในแต่ละอุณหภูมิเริ่มด้วยการนำตัวอย่าง Q2, Q4 และ K3 ไปเผาที่อุณหภูมิ 800°C, 900°C, 1,000°C, 1,100°C และ 1,200°C เป็นเวลา 3 ชั่วโมงในเตาอบอุณหภูมิ หลังจากนั้นนำเข้าที่เหลือจากการเผาใหม่มารีเซ็ตให้เย็นแล้วนำไปวิเคราะห์ด้วยเครื่องวิเคราะห์ XRD ยี่ห้อ Bruker รุ่น D8 Advance แหล่งกำเนิดรังสีคือ ทองแดง (Cu Tube) กำลังไฟ 40 kV, 40 mA และ  $\text{CuK}\alpha = 1,544$  เพื่อหาชนิดของแร่ในถ่านหิน ได้ผลวิเคราะห์ดังแสดงในรูปที่ 4.1, 4.2 และ 4.3 ตามลำดับ



รูปที่ 4.1 แสดงผลวิเคราะห์ XRD ซึ่งแสดงการเกิดของแร่ในถ่านหิน Q2 ซึ่งผ่านการเผาที่อุณหภูมิต่าง ๆ

จากรูปที่ 4.1 พบร่วมกับอุณหภูมิ 800°C ตัวอย่าง Q2 เกิดเป็นแร่ müllite ( $\text{Al}_2\text{O}_3 \cdot 2\text{SiO}_2$ ) และแร่ควอตซ์ ( $\text{SiO}_2$ ) และอ่อนอธิคต์ ( $\text{CaO} \cdot \text{Al}_2\text{O}_3 \cdot 2\text{SiO}_2$ ) และแร่แคลเซียมอลูมิเนียมออกไซด์

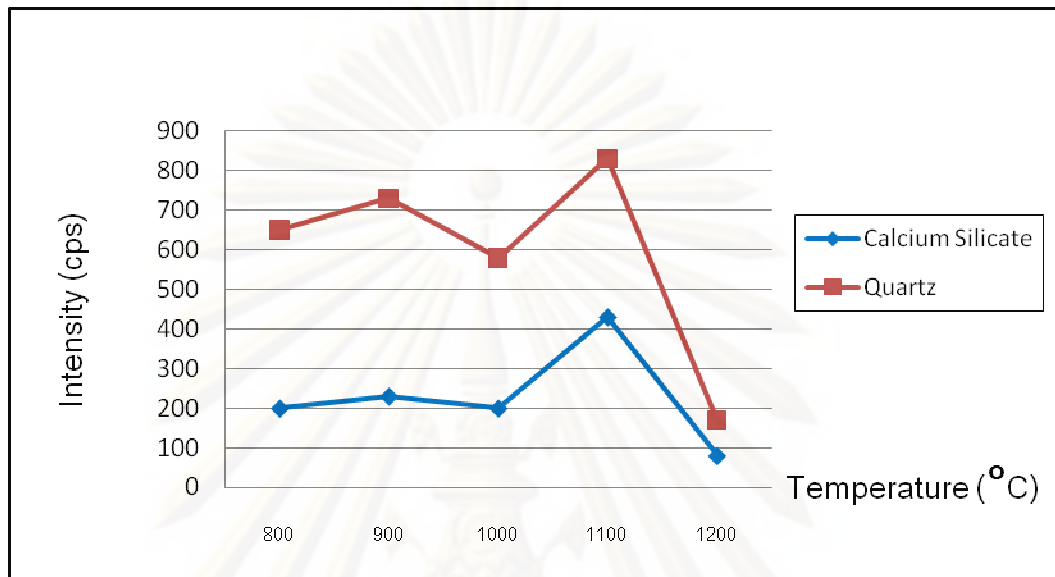
( $3\text{CaO}\cdot 0.5\text{Al}_2\text{O}_3$ ) ปริมาณของแร่แวร์ค瓦ตซ์กับแร่ mülleriteลดลงเมื่ออุณหภูมิสูงขึ้นแต่แร่แวร์คваตซ์กลับมีปริมาณเพิ่มขึ้นที่อุณหภูมิ  $1,100^{\circ}\text{C}$  ในขณะที่แร่ mülleriteหายไป ส่วนแร่แคลเซียมอลูминัมออกไซด์มีปริมาณเพิ่มขึ้นจนถึงอุณหภูมิ  $1,100^{\circ}\text{C}$  และกลับลดลงเมื่ออุณหภูมิ  $1,200^{\circ}\text{C}$  อาจเกิดจากการที่  $\text{Al}_2\text{O}_3$  ของแร่ mülleriteทำปฏิกิริยากับ  $\text{CaO}$  ที่อุณหภูมิ  $1,200^{\circ}\text{C}$  นี้ จากนั้นปริมาณลดลง และอาจเกิดจากการที่  $\text{SiO}_2$  ของแร่ mülleriteทำปฏิกิริยากับกันกับแร่แคลเซียมอลูминัมออกไซด์ทำให้แร่แวร์คваตซ์กับแร่ควอตซ์มีปริมาณสูงขึ้น ส่วนแร่ mülleriteที่เหลือเริ่มเปลี่ยนสภาพเป็นผลึกอสังฐานที่อุณหภูมิ  $1,200^{\circ}\text{C}$  และเมื่อนำมาเทียบกับผลวิเคราะห์อุณหภูมิการหลอมแล้วแสดงว่า เมื่อค่า % $\text{CaO}$  ต่ำจะทำให้อุณหภูมิของการเริ่มหลอมตัวสูง ( $\text{IT} > 1,500^{\circ}\text{C}$ ) เนื่องจากเกิดแร่ mülleriteที่มีจุดหลอมเหลวสูง



รูปที่ 4.2 แสดงผลวิเคราะห์ XRD ซึ่งแสดงการเกิดของแร่ในถ่านหิน Q4 ซึ่งผ่านการเผาที่อุณหภูมิต่าง ๆ

จากรูปที่ 4.2 ตัวอย่าง Q4 เกิดแร่แคลเซียมซิลิเกต ( $2\text{CaO}\cdot \text{SiO}_2$ ) และแร่แวร์คваตซ์ที่อุณหภูมิระหว่าง  $800 - 1,000^{\circ}\text{C}$  จากนั้นพบว่ามีการเปลี่ยนแปลงชัดเจนที่อุณหภูมิ  $1,100^{\circ}\text{C}$  โดยมีปริมาณของแร่แคลเซียมซิลิเกตและแร่แวร์คваตซ์เพิ่มสูงขึ้น รวมถึงเกิดแร่เกอร์เลไนต์ ( $2\text{CaO}\cdot \text{Al}_2\text{O}_3\cdot \text{SiO}_2$ ) ขึ้น และปริมาณแร่ลดลงเมื่ออุณหภูมิ  $1,200^{\circ}\text{C}$  เนื่องจากแร่แคลเซียมซิลิเกตทำปฏิกิริยากับแร่

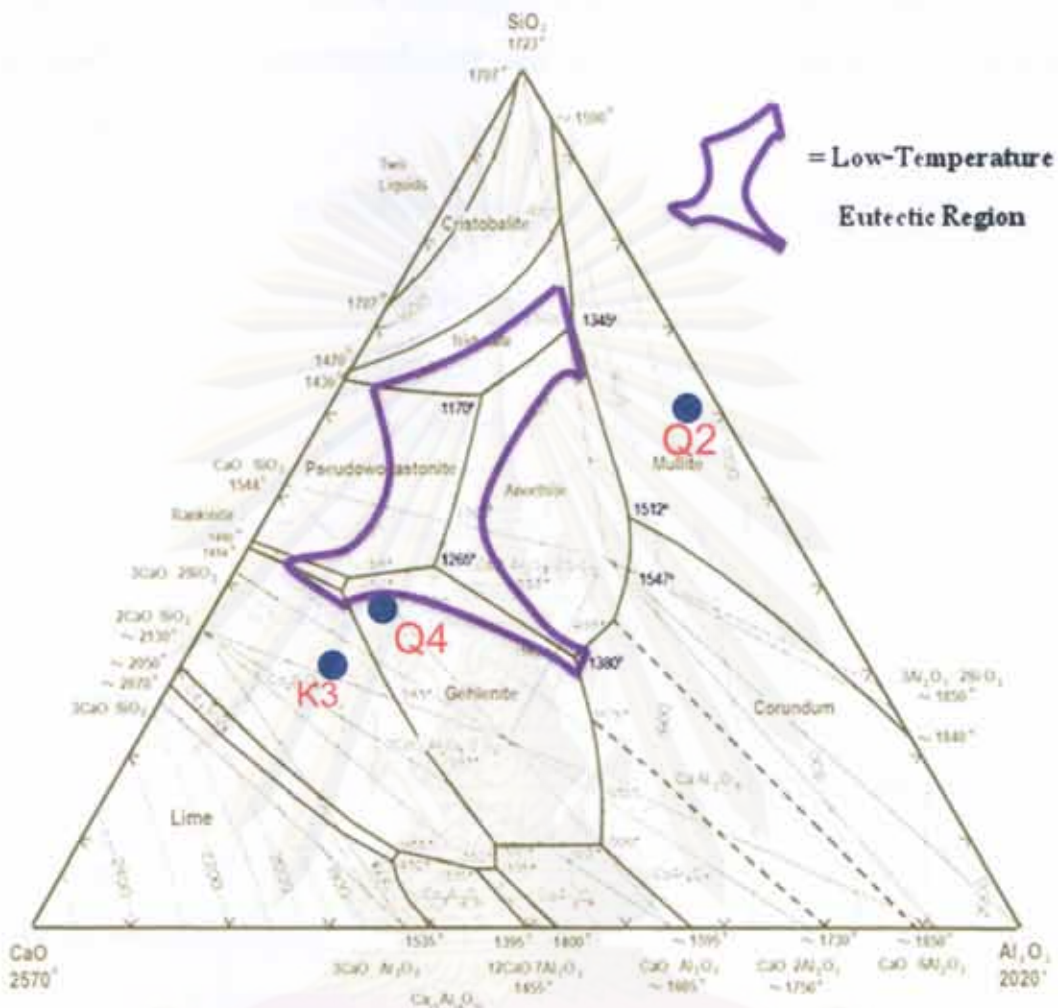
ความต้านทานต่อการละลายของสารเคมีในตัวอย่าง K3 ที่อุณหภูมิ  $1,197^{\circ}\text{C}$  แสดงดังตารางที่ 4.1



รูปที่ 4.3 แสดงผลวิเคราะห์ XRD ซึ่งแสดงการเกิดของแร่ในถ่านหิน K3 ซึ่งผ่านการเผาที่ อุณหภูมิต่าง ๆ

จากรูปที่ 4.3 ตัวอย่าง K3 เกิดเฉพาะแร่แคลเซียมซิลิกะและแร่ความต้านทาน ลักษณะจะคล้าย กับตัวอย่าง Q4 เพียงแต่ไม่เกิดแร่เกลือในตัวอย่าง Q4 ที่อุณหภูมิ  $1,100^{\circ}\text{C}$  จึงทำให้ค่า IT สูงกว่าถ่านหิน Q4 และเมื่ออุณหภูมิถึง  $1,200^{\circ}\text{C}$  ปริมาณของแร่หักลดลง อาจเป็นเพราะเริ่มมีการเปลี่ยนเฟส เป็นผลึกอสัณฐาน

จากการ XRD ของห้อง 3 ตัวอย่างนี้ (รูปที่ 4.1-4.3) สามารถอธิบายการเกิดของแร่โดยใช้ Ternary Phase Diagram (ดังรูปที่ 4.4) โดยนำค่าปริมาณร้อยละของ  $\text{SiO}_2$ ,  $\text{Al}_2\text{O}_3$  และ  $\text{CaO}$  ที่ได้ จากการวิเคราะห์ด้วย ICPS (จากตารางที่ 3.1 ในบทที่ 3) มาเทียบให้เป็น 100% ก่อน แล้วจึงจะ นำมากำหนดตำแหน่งของแต่ละตัวอย่างลงใน Phase Diagram โดยองค์ประกอบของตัวอย่าง Q2 เมื่อนำมาพล็อตลงใน Phase Diagram จะพบว่าแร่หักของตัวอย่างนี้จะเกิดอยู่ในบริเวณของแร่ มูลไอล์ต์ ส่วนองค์ประกอบของตัวอย่าง Q4 จะพบว่าแร่หักของตัวอย่างนี้จะเกิดอยู่ในบริเวณของแร่เกลือในตัวอย่าง K3 เมื่อนำมาพล็อตกราฟจะพบว่าแร่หักของตัวอย่างนี้จะเกิดอยู่ในบริเวณของแร่เกลือในตัวอย่าง K3



รูปที่ 4.4 แสดง Ternary Phase Diagram ของตัวอย่าง Q2, Q4 และ K3

จากรูปที่ 4.4 พบร่วมกันว่า องค์ประกอบของแร่ที่เกิดขึ้นในบริเวณของแร่เกล็ดในตันน์ มีอุณหภูมิของการเปลี่ยนเฟสใกล้เคียงกับบริเวณที่มีอุณหภูมิของการเปลี่ยนเฟสต่ำ (Low-Temperature Eutectic Region) ด้วย จึงสรุปว่า องค์ประกอบของแร่ตัวอย่างที่มีปริมาณของ  $\text{CaO}$  ประมาณ 27% อุณหภูมิการหลอมต่ำอาจเป็นสาเหตุที่ก่อให้เกิดตะกรันในหม้อไอน้ำได้

จุฬาลงกรณ์มหาวิทยาลัย

4.2 ผลการวิเคราะห์ที่ได้จากการหาอุณหภูมิการหลอมของถ้าถ่านหิน และผลการวิเคราะห์ตัวอย่างถ่านหินผสมระหว่าง Q2 และ Q4 ที่ผ่านการเผาที่อุณหภูมิต่างๆ กันด้วยเครื่อง XRD

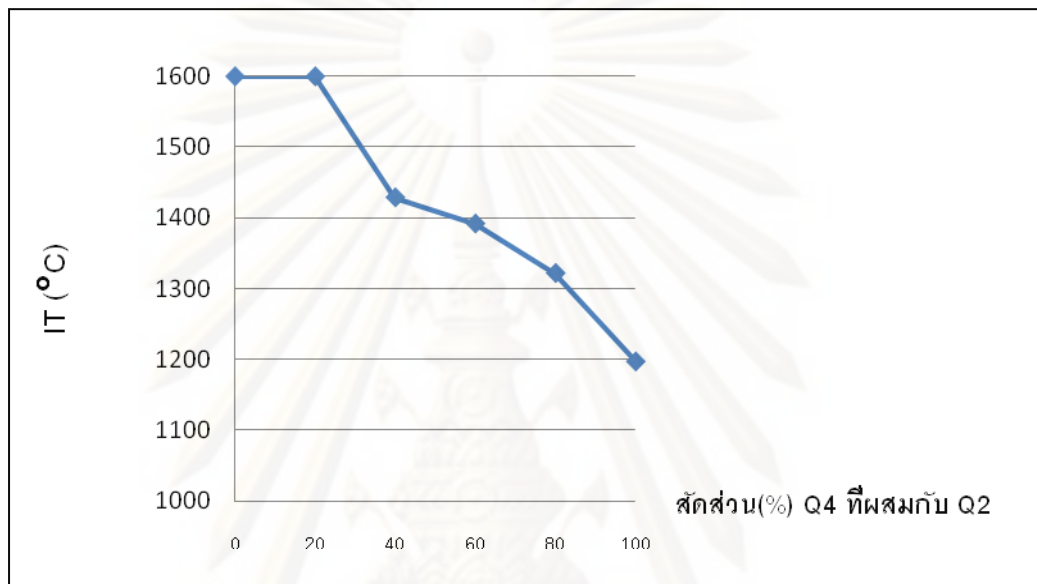
#### 4.2.1 ผลการวิเคราะห์ที่ได้จากการหาอุณหภูมิการหลอมของถ้าถ่านหิน

นำตัวอย่าง Q2 และตัวอย่าง Q4 มาผสมกันในอัตราส่วนต่าง ๆ คือ 20% Q2 + 80% Q4, 40% Q2 + 60% Q4, 60% Q2 + 40% Q4, และ 80% Q2 + 20% Q4 มาเตรียมตัวอย่างและวิเคราะห์เช่นเดียวกันกับในหัวข้อที่ 4.1.1 ผลวิเคราะห์แสดงดังตารางที่ 4.2

ตารางที่ 4.2 อุณหภูมิของการหลอมตัวของถ้าตัวอย่าง Q2 ที่ผสมกับ Q4 ในปริมาณต่าง ๆ

SAMPLE NAME	100% Q2 + 20% Q4	80% Q2 + 20% Q4	60% Q2 + 40% Q4	40% Q2 + 60% Q4	20% Q2 + 80% Q4	100% Q4
ASH FUSION TEMPERATURE (°C)	RESULT					
INITIAL DEFORMATION TEMPERATURE (IT)	>1,500	>1,500	1,429	1,392	1,322	1,197
SOFTENING TEMPERATURE (ST)	>1,500	>1,500	1,467	1,425	1,348	1,305
HEMISPERICAL TEMPERATURE (HT)	>1,500	>1,500	> 1,500	1,443	1,362	1,307
FLUID TEMPERATURE (FT)	>1,500	>1,500	> 1,500	1,450	1,401	1,329

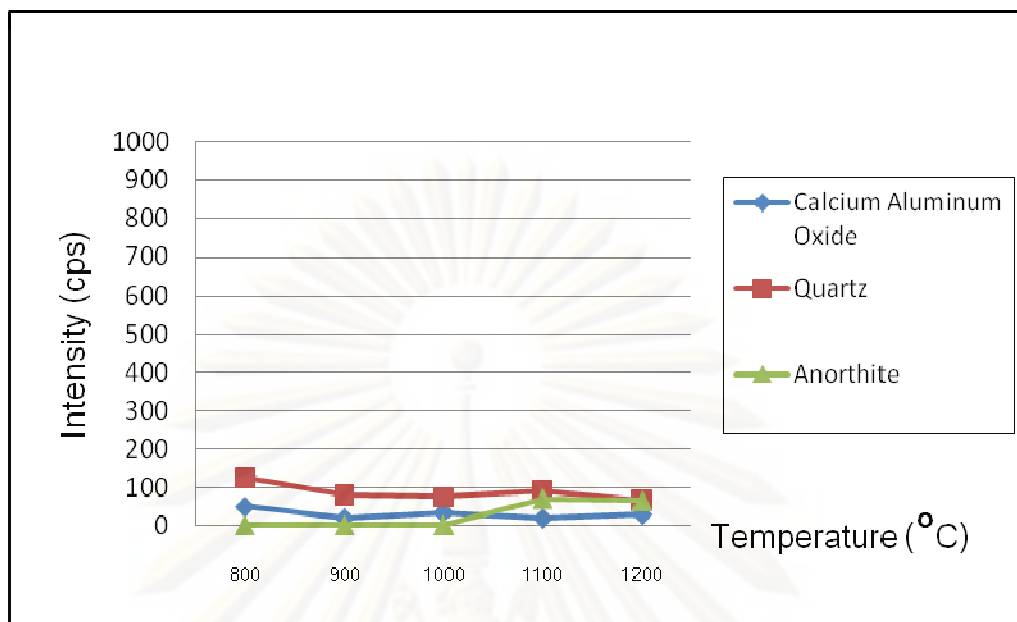
จากตารางที่ 4.2 พบว่า ตัวอย่างถ่านหินผสม 20% Q2 + 80% Q4 มีค่า IT ต่ำที่สุด ( $1,322^{\circ}\text{C}$ ) เนื่องจากมีส่วนผสมของตัวอย่าง Q4 มากที่สุดคือ 80% ซึ่งสามารถนำพลังงานไปในรูปของตัวอย่างถ่านหินผสมกันระหว่าง Q2 กับ Q4 กับอุณหภูมิการหลอมตัวเริ่มต้น (IT) ดังรูปที่ 4.5



รูปที่ 4.5 แสดงอุณหภูมิเริ่มต้นของการหลอมกับปริมาณถ่านหินผสมระหว่าง Q2 กับ Q4

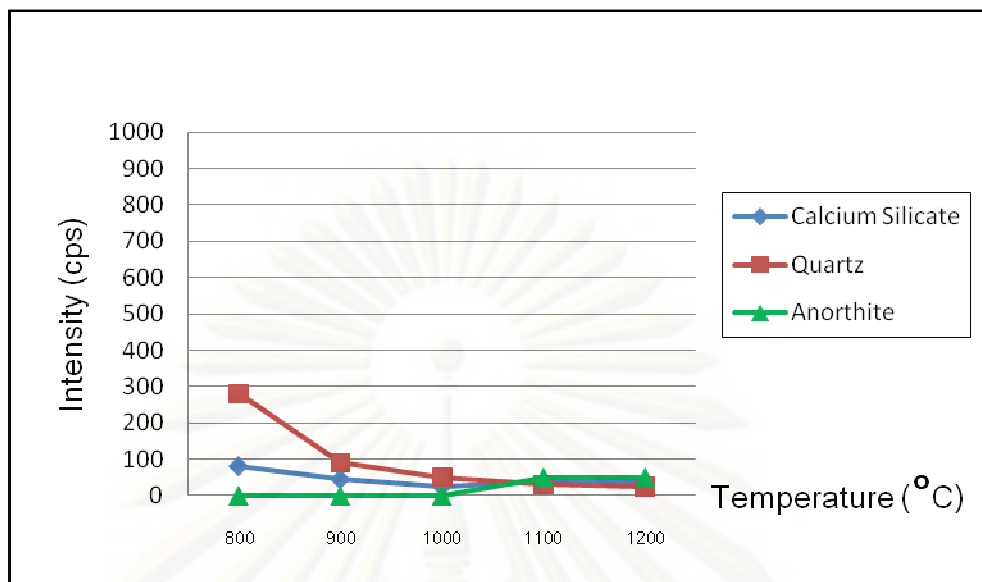
#### 4.2.2 ผลการวิเคราะห์ตัวอย่างถ่านหินผสมระหว่าง Q2 และ Q4 ที่ผ่านการเผาที่อุณหภูมิต่างๆ กันด้วยเครื่อง X-Ray Diffractometer

นำตัวอย่างถ่านหินที่ผสมกันระหว่าง ตัวอย่างถ่านหิน Q2 กับ Q4 ที่อัตราส่วนต่าง ๆ กัน ณ อุณหภูมิต่าง ๆ กัน (ตัวอย่างเดียวกันกับในหัวข้อที่ 4.1.2) มาวิเคราะห์หาชนิดของแร่ที่เกิดขึ้นด้วยเครื่อง XRD และได้ผลการวิเคราะห์ดังแสดงในรูปที่ 4.5 – 4.8



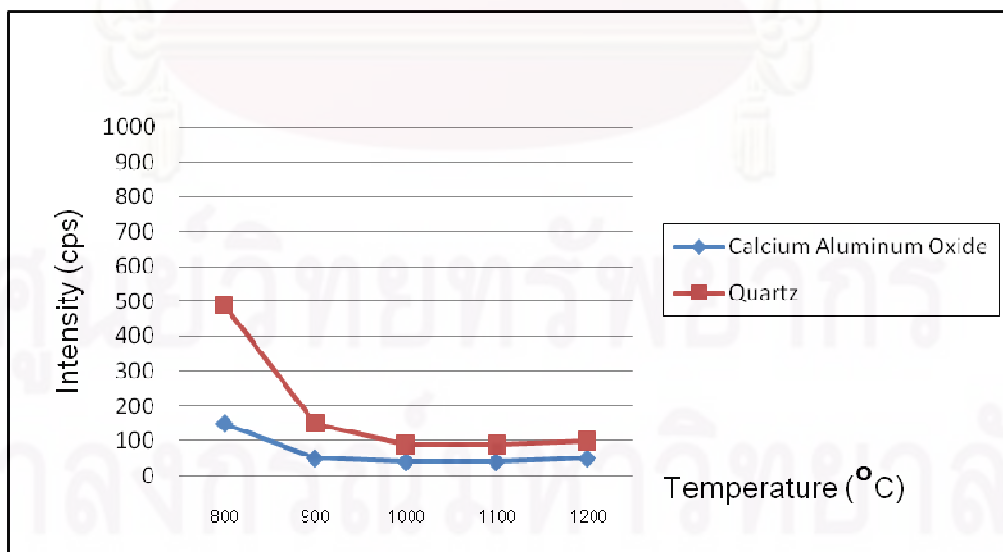
รูปที่ 4.5 แสดงผลวิเคราะห์ XRD ซึ่งแสดงการเกิดขึ้นของแร่ในแก้วต่านหิน 80% Q2 กับ 20% Q4 ซึ่งผ่านการเผาที่อุณหภูมิต่าง ๆ

จากรูปที่ 4.5 พบร่วมกันของแคลเซียมอัลูมิเนียมออกไซด์กับแร่ควอตซ์เกิดขึ้นระหว่างอุณหภูมิ  $800^{\circ}\text{C}$  -  $1,000^{\circ}\text{C}$  และเมื่อถึงอุณหภูมิ  $1,100^{\circ}\text{C}$  ทั้งสองแร่ทำปฏิกิริยากันจนเกิดเป็นแร่อ่อนอไหวตื้น จากนั้นมีปริมาณของแร่ควอตซ์ลดลงที่อุณหภูมิ  $1,200^{\circ}\text{C}$  และค่า IT ที่ได้จากการวิเคราะห์อุณหภูมิกาจการหลอมพบร่วมกัน มีค่าสูงกว่า  $1,500^{\circ}\text{C}$  เนื่องจากมีส่วนของตัวอย่าง Q2 (ที่มี IT สูงกว่า  $1,500^{\circ}\text{C}$ ) ปนอยู่ในสัดส่วนที่สูงถึง 80%



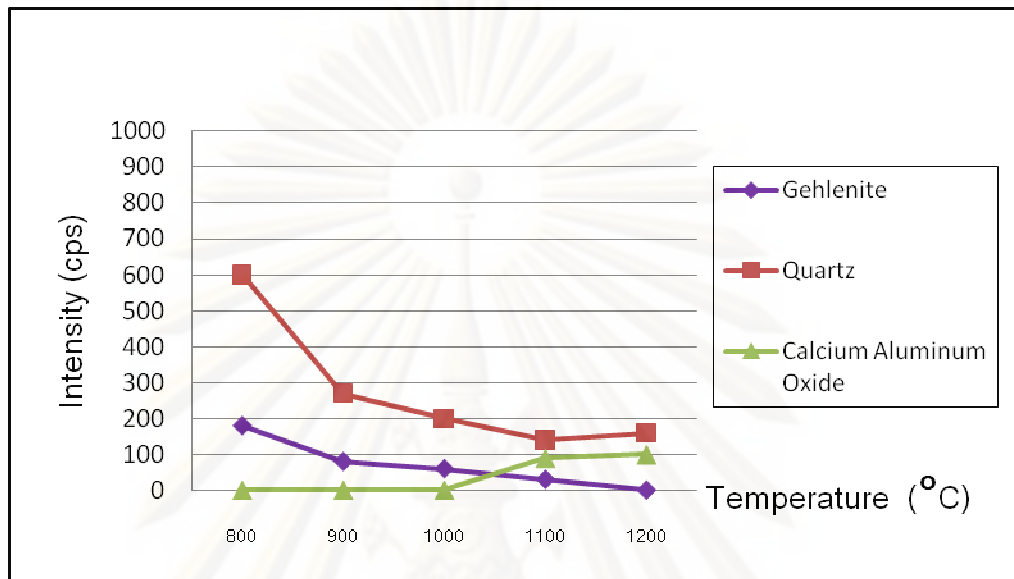
รูปที่ 4.6 แสดงผลวิเคราะห์ XRD ซึ่งแสดงการเกิดขึ้นของแร่ในถ่านหิน 60% Q2 กับ 40% Q4 ที่ผ่านการเผาที่อุณหภูมิต่าง ๆ

จากรูปที่ 4.6 ปริมาณแร่ควอตซ์ลดลงอย่างมากเมื่อถึงอุณหภูมิ  $900^{\circ}\text{C}$  เช่นเดียวกับแร่แคลเซียมซิลิกेट จนกระทั่งถึงอุณหภูมิประมาณ  $1,100^{\circ}\text{C}$  ทั้งแร่ควอตซ์และแร่แคลเซียมซิลิกेटทำปฏิกิริยากันเกิดเป็นแร่ตะกอนไทเตอร์และมีปริมาณเพิ่มขึ้นเล็กน้อยเมื่ออุณหภูมิสูงถึง  $1,200^{\circ}\text{C}$  ในขณะที่แร่ควอตซ์และแร่แคลเซียมซิลิกेटมีปริมาณลดลง



รูปที่ 4.7 แสดงกราฟ XRD ที่สัมพันธ์กับอุณหภูมิกับการเกิดแร่ของตัวอย่างถ่านหินผสมกันระหว่าง 40% Q2 กับ 60% Q4

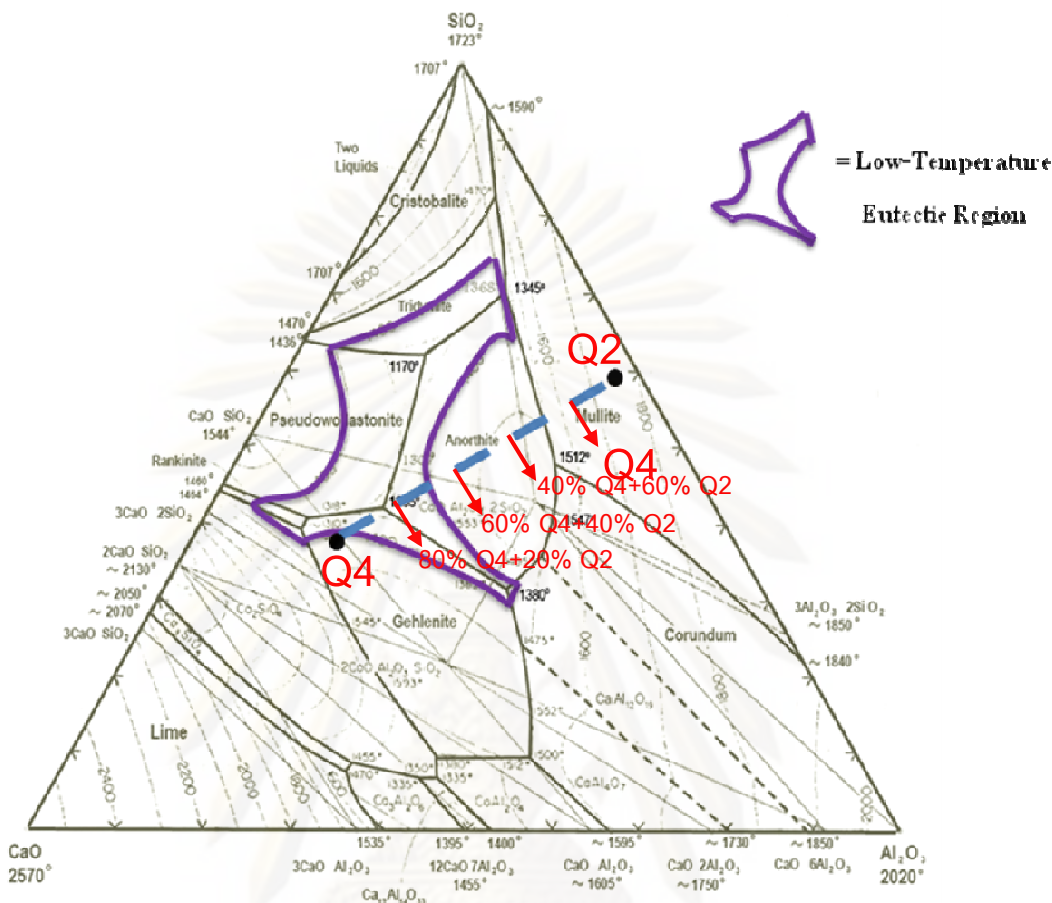
จากรูปที่ 4.7 ที่อุณหภูมิ  $800^{\circ}\text{C}$  พบร่องรอยแคลเซียมอลูминัมออกไซด์กับแร่ควอตซ์ เท่านั้น จากนั้นปริมาณของแร่ทั้งสองชนิดลดลงเมื่ออุณหภูมิสูงขึ้น



รูปที่ 4.8 แสดงกราฟ XRD ที่สัมพันธ์กับอุณหภูมิกับการเกิดแร่ของตัวอย่างถ่านหินผสมกันระหว่าง 20% Q2 กับ 80% Q4

ส่วนรูปที่ 4.8 พบร่องรอยแคลเซียมอลูминัมออกไซด์กับควอตซ์ที่อุณหภูมิ  $800^{\circ}\text{C}$  จากนั้นปริมาณของแร่ทั้งสองชนิดลดลงเรื่อยๆ จนถึงอุณหภูมิ  $1,100^{\circ}\text{C}$  แร่เกลไนต์เริ่มหายไปเนื่องจากทำปฏิกิริยา กับควอตซ์ที่อุณหภูมนี้เกิดเป็นแร่แคลเซียมอลูминัมออกไซด์

ซึ่งสามารถหาความสัมพันธ์ระหว่างตัวอย่างแร่ Q2 และ Q4 ได้ด้วย Ternary Phase Diagram ดังรูปที่ 4.9



รูปที่ 4.9 แสดง Ternary Phase Diagram ความสัมพันธ์ของตัวอย่าง Q2 ที่ผสมกับ Q4

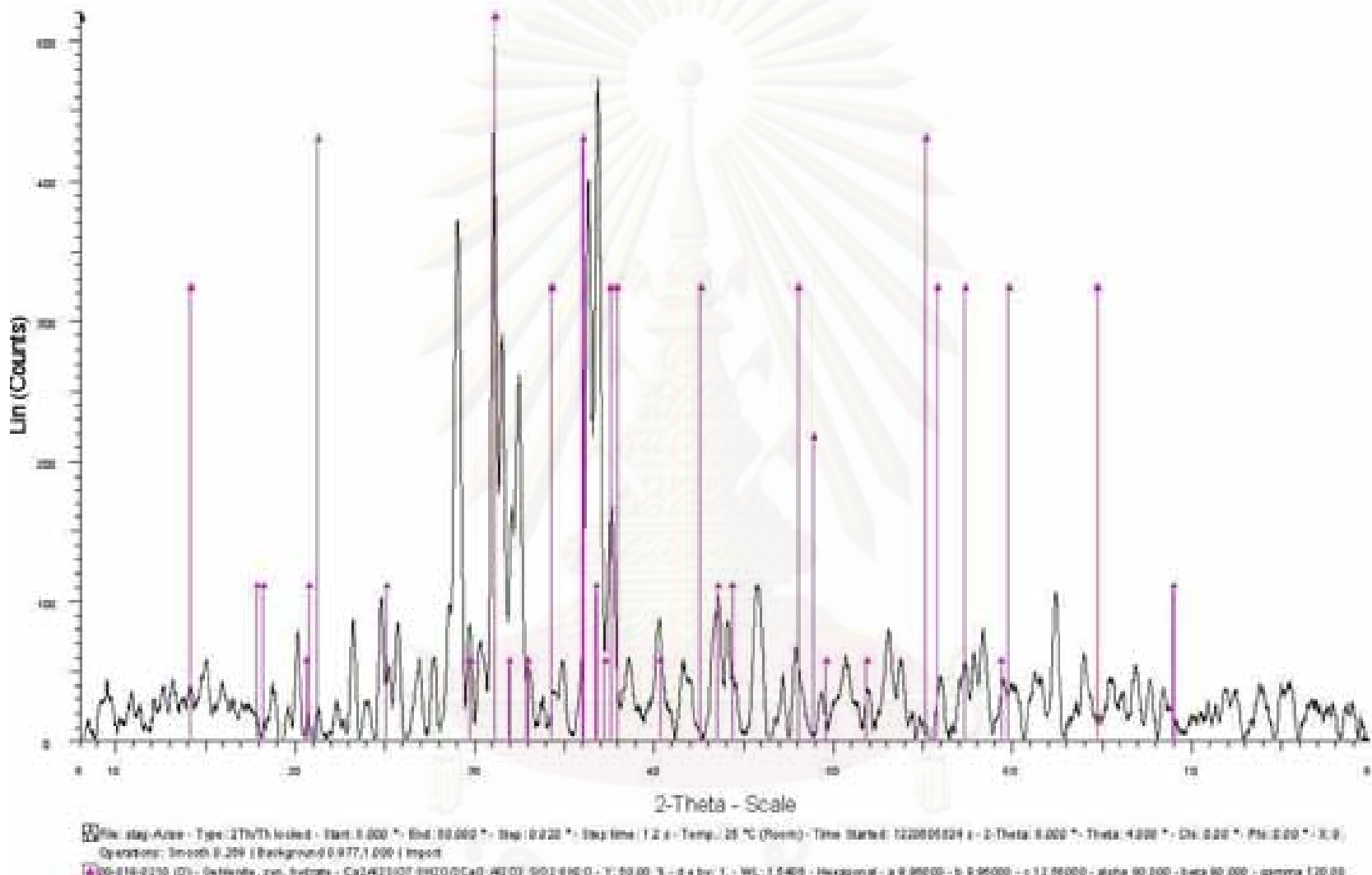
จากรูปที่ 4.9 การผสมตัวอย่างระหว่าง Q2 กับ Q4 เมื่อผสมกันถึงอัตราส่วนหนึ่ง มีแนวโน้มก่อให้เกิดตะกรันขึ้นได้ เนื่องจาก อัตราส่วนของการผสมถ่านนั้น ได้พадผ่านบริเวณที่มี อุณหภูมิของการหลอมต่ำ (Low – Temperature Eutectic Region) ซึ่งสอดคล้องกับผลที่ได้จาก XRD คือตัวอย่างถ่านที่ผสมระหว่าง 20% Q2 กับ 80% Q4 เกิดแร่เกลไนต์ขึ้น (เครื่องหมายลูกศร แสดงอัตราส่วนร้อยละของ Q4 ที่เพิ่มขึ้น) จะตกอยู่ในบริเวณของการหลอมตัวต่ำพอดี

#### 4.3 ผลการวิเคราะห์ตัวอย่างตะกรันด้วยเครื่อง X-Ray Diffractometer (XRD)

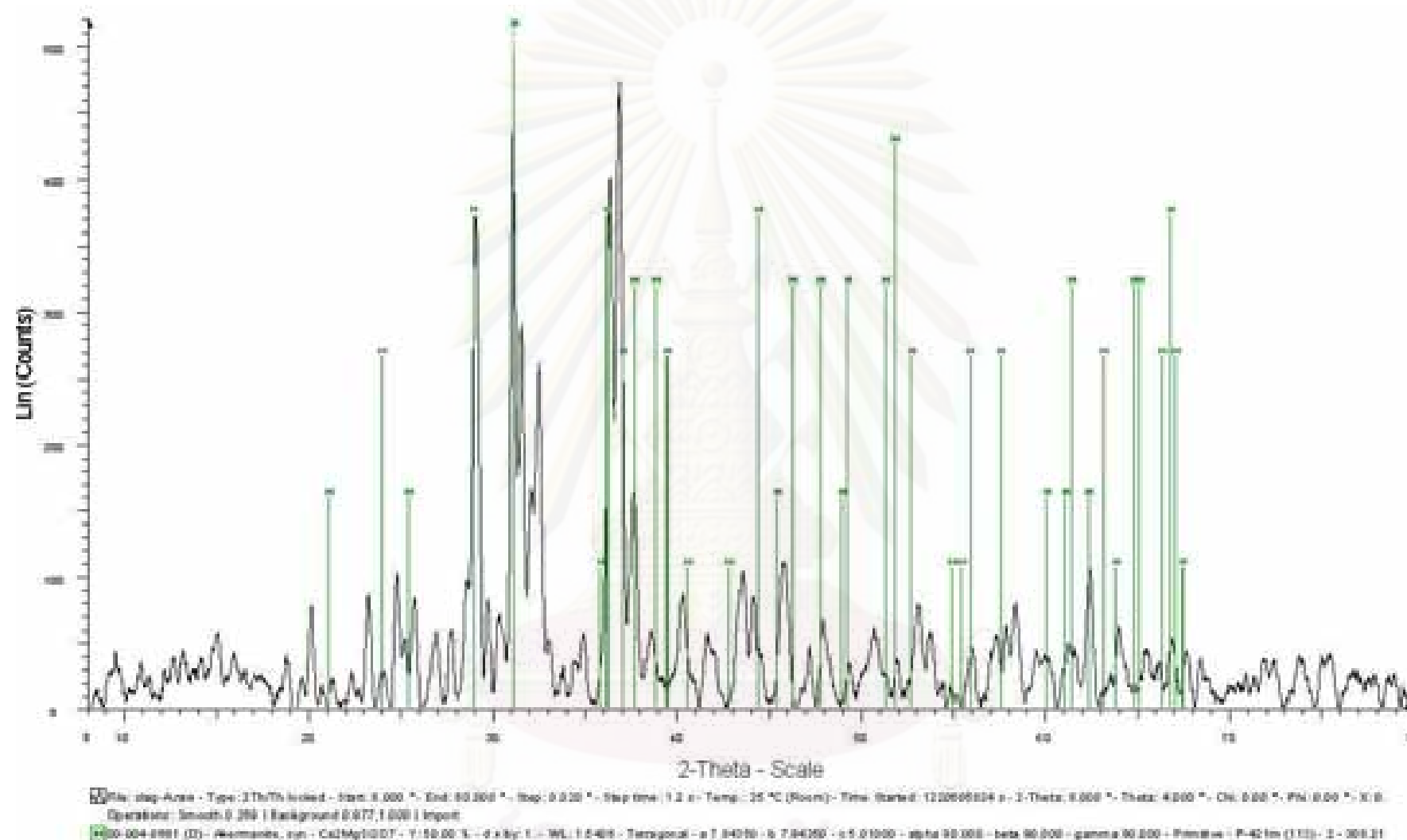
นำตัวอย่างตะกรันทั้ง 4 ตัวอย่าง (Slag A, B, และ C) ที่ผ่านการอบและบดแล้วมา วิเคราะห์ชนิดแร่ด้วยเครื่อง XRD พบว่า ตัวอย่าง Slag A คือแร่เกลไนต์และแร่คอร์มาインต์ ( $\text{Ca}_2\text{MgSi}_2\text{O}_7$ ) ซึ่งมีองค์ประกอบคล้ายกับแร่เกลไนต์ เพียงแต่มี Mg เข้าไปทำปฏิกิริยากับ

แคลเซียมซิลิกาตแทนที่  $\text{Al}_2\text{O}_3$  เกิดเป็นแร่օะເຄອງມາໃນຕົ້ນ Slag B ພບແຮ່ເກົ້າໄລ້ນັດ ແລະ Slag C ພບແຮ່ເກົ້າໄລ້ນັດ ແລະ ແຮ່ອະນອວໄທດ໌ ທີ່ພລວິເຄຣະໜີແສດງໄວ້ດັ່ງຮູບທີ່ 4.10 – 4.15 ໂດຍສຸປ່ວ່າ ຕົວອ່າງທະກັນທີ່ສາມຕົວອ່າງມີແຮ່ເກົ້າໄລ້ນັດທີ່ນໍາຈະເປັນສາເຫຼຸ້ຫລັກທີ່ທຳໃຫ້ເຄົ້າຕ່ານທຶນເກີດກາຮ ລດອມຕົວໃນອຸນຫຼຸມຕົ້ນເກີດທະກັນຂຶ້ນມາ ແລະ ແຮ່ເກົ້າໄລ້ນັດທີ່ໄດ້ຈາກກາວິເຄຣະໜີຕົວອ່າງ ທະກັນ ຕຽບກັບນິດຂອງແຮ່ທີ່ເກີດຂຶ້ນຂອງຕົວອ່າງເຄົ້າຕ່ານທຶນ Q4 ແລະ ຕົວອ່າງເຄົ້າຕ່ານທຶນຜສມະໜວງ 20% Q2 ກັບ 80% Q4 ທີ່ທຳໃຫ້ມີອຸນຫຼຸມຂອງກາຮລດອມຕົວຕໍ່ແລະຍັງສອດຄລືອງກັບຕຳແໜ່ງຂອງແຮ່ ທີ່ໂຄງໄກລັ້ມບັນຍາທີ່ມີອຸນຫຼຸມຂອງກາຮເປົ່າຍັນເຟສຕໍ່ອີກດ້ວຍ

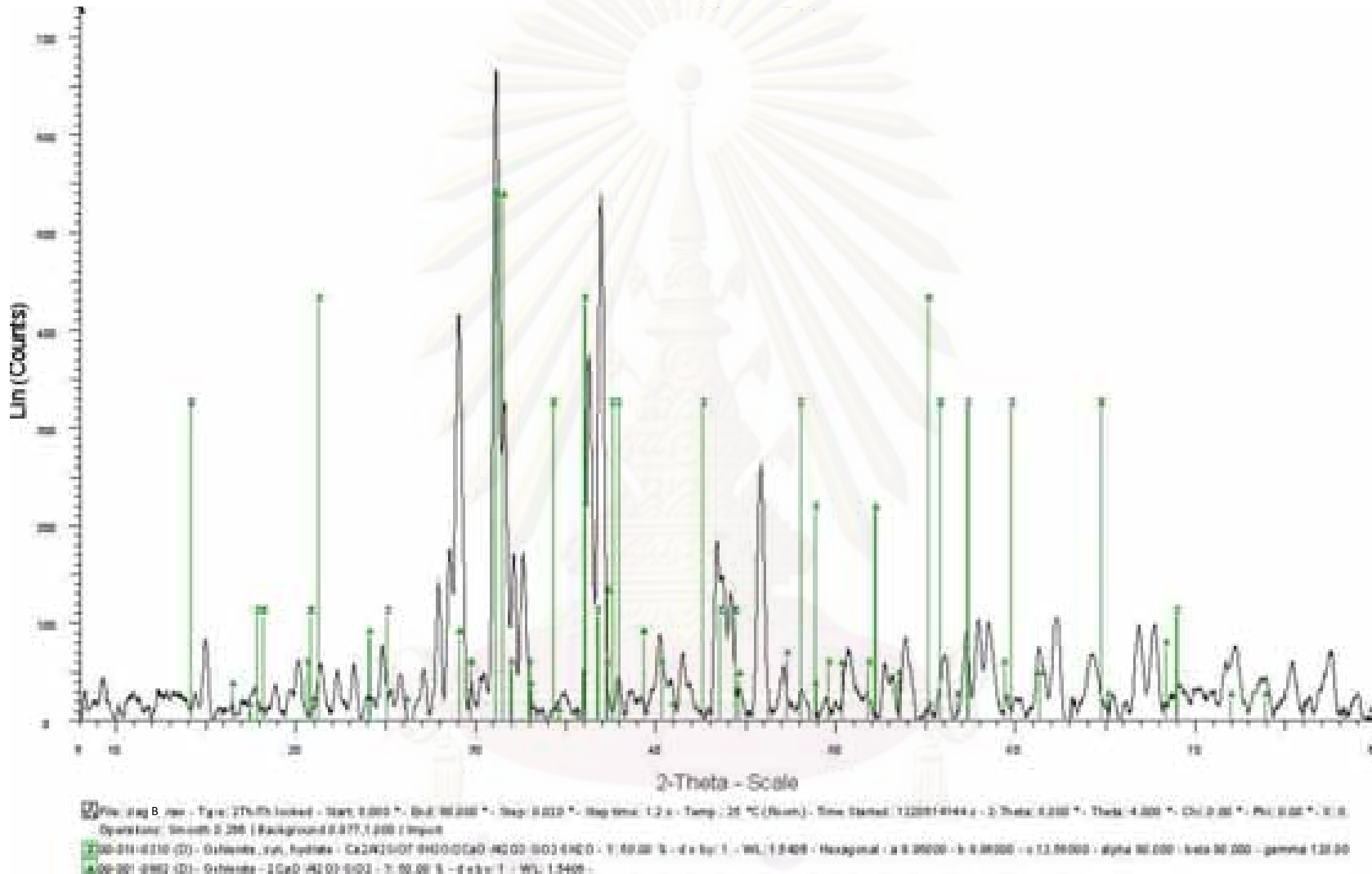
# ສູນຍົວທະພາກ ຈຸ່າດສົກຮ່າມທະນາວິທາລ້ຽນ



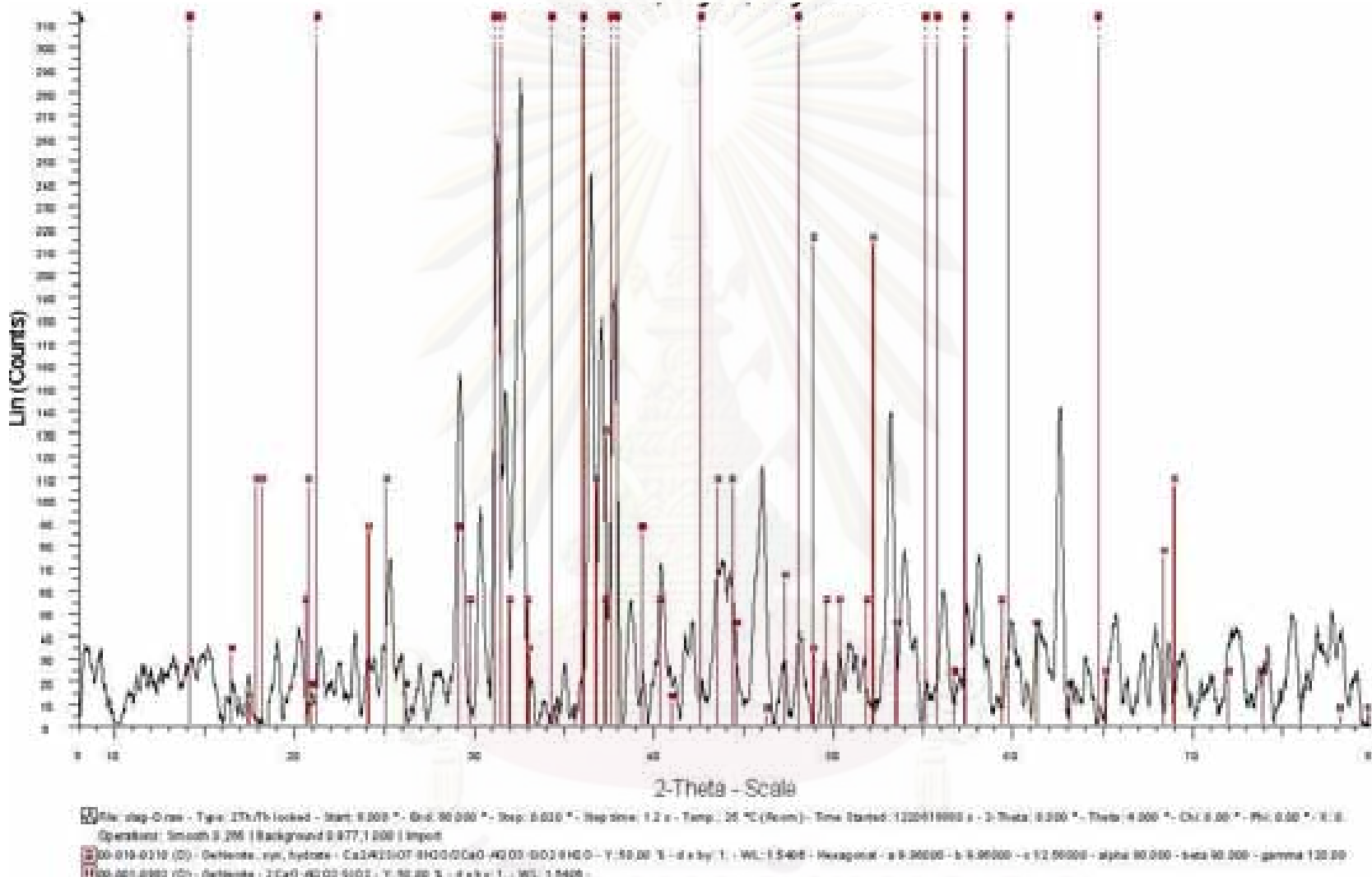
รูปที่ 4.10 XRD Pattern ของตัวอย่าง Slag A (แร่เก็บไลน์)



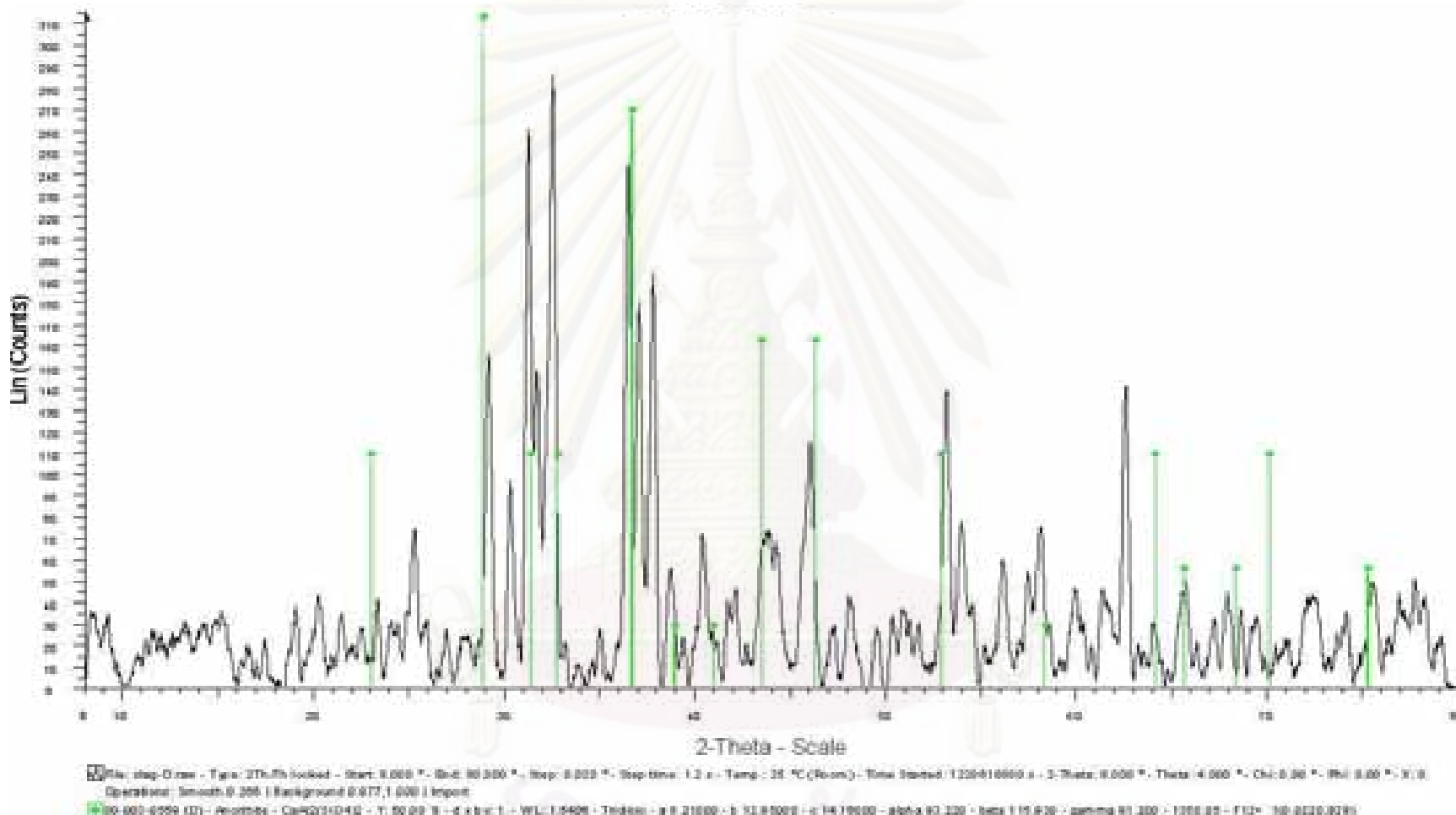
รูปที่ 4.11 XRD Pattern ของตัวอย่าง Slag A (แร่อะเดอร์มาไนต์)



รูปที่ 4.12 XRD Pattern ของตัวอย่าง Slag B (แร่เก็ทเลไนต์)



รูปที่ 4.13 XRD Pattern ของตัวอย่าง Slag C (แลเก็ทเลอโนต์)



รูปที่ 4.14 XRD Pattern ของตัวอย่าง Slag C (แร่อ่อนอี้ท์)

## บทที่ 5

### สรุปผลการวิจัย และข้อเสนอแนะ

#### 5.1 สรุปผลการทดลอง

จากการวิเคราะห์ตัวอย่างถ่านหินจำนวน 3 ตัวอย่าง คือ Q2, Q4 และ K3 โดยทางองค์ประกอบของแร่ออกไซด์ที่อุณหภูมิ  $750^{\circ}\text{C}$  โดยใช้เครื่อง ICPS ผลวิเคราะห์พบว่าตัวอย่างถ่าน Q2 มีปริมาณร้อยละของ  $\text{CaO}$  เท่ากับ 2.24% ( $\text{CaO}$  ตัว) ตัวอย่างถ่าน Q4 มีปริมาณร้อยละของ  $\text{CaO}$  เท่ากับ 27.42% ( $\text{CaO}$  ปานกลาง) และตัวอย่างถ่าน K3 มีปริมาณร้อยละของ  $\text{CaO}$  เท่ากับ 31.81% ( $\text{CaO}$  สูง)

ส่วนผลการวิเคราะห์เพื่อหาค่าอุณหภูมิการหลอมเริ่มต้นพบว่า ตัวอย่างถ่าน Q2 มีค่า IT สูง (มากกว่า  $1,500^{\circ}\text{C}$ ) ตัวอย่างถ่าน Q4 มีค่า IT ต่ำ ( $1,197^{\circ}\text{C}$ ) ส่วนตัวอย่างถ่าน K3 มีค่า IT ปานกลาง ( $1,301^{\circ}\text{C}$ ) โดยที่ตัวอย่างถ่าน Q4 มีค่า IT ต่ำกว่าอุณหภูมิในหม้อน้ำไอ้น้ำซึ่งอุณหภูมิของหม้อน้ำประมาณ  $1,200 - 1,300^{\circ}\text{C}$

ผลการวิเคราะห์ด้วยเครื่อง XRD ที่อุณหภูมิ  $800^{\circ}\text{C}$ ,  $900^{\circ}\text{C}$ ,  $1,000^{\circ}\text{C}$ ,  $1,100^{\circ}\text{C}$  และ  $1,200^{\circ}\text{C}$  เพื่อหาชนิดของแร่พบว่าชนิดแร่ของตัวอย่างถ่าน Q2 คือ แรมูลไลต์ และอนอร์ไทต์ แร่ควอตซ์ และแร่แคลเซียมอะลูมิเนียมออกไซด์ ตัวอย่างถ่าน Q4 มีชนิดแร่คือ แร่เก็ทเลอไนต์ และควอตซ์ และแร่แคลเซียมซิลิกेट ส่วนตัวอย่างถ่าน K3 มีชนิดแร่คือ แร่ควอตซ์ และแร่แคลเซียมซิลิกेट ส่วนตัวอย่างถ่านตะกรันท์ไดก์วิเคราะห์ด้วยเครื่อง XRD พบร่วมตะกรันท์ 3 ตัวอย่างมีแร่เก็ทเลอไนต์เป็นองค์ประกอบ ส่วนแร่อะเคอร์มาไนต์ที่มีอยู่ในตัวอย่าง Slag A อาจเนื่องมาจากการถ่านหินที่ถูกป้อนเข้าไปในโรงไฟฟ้าน้ำมีองค์ประกอบ %  $\text{MgO}$  สูง ซึ่งจะไปทำปฏิกิริยา กับแคลเซียมกับซิลิกेटเกิดเป็นแร่อะเคอร์มาไนต์ขึ้น และแร่อะโนไทต์ที่เกิดขึ้นในตัวอย่าง Slag C ร่วมกับแร่เก็ทเลอไนต์ซึ่งเป็นสาเหตุให้ตะกรันท์เกิดขึ้นนั้นร่วงลงมาอย่างส่วนล่างของเตาเนื่องจากว่าแร่อะโนไทต์มีจุดหลอมเหลวสูง ดังนั้นเมื่ออุณหภูมิของเตาจึงยังไม่เกิดการหลอมตัว แต่แร่เก็ทเลอไนต์เกิดการหลอมตัว จึงเกิดเป็นตะกรันร่วงลงสู่กันเตา ส่วนตัวอย่างถ่านหินที่ทดสอบระหว่าง Q2 กับ Q4 ในอัตราส่วนต่าง ๆ พบร่วมกับความสัมพันธ์ระหว่าง  $20\% \text{ Q2} + 80\% \text{ Q4}$  พบร่วมกับการหลอมตัวอย่างถ่าน Q2 พบร่วมกับแร่แรมูลไลต์ และควอตซ์ และแร่ควอตซ์ และแร่แคลเซียมซิลิกेटและแร่แคลเซียมอะลูมิเนียมออกไซด์ มีปริมาณเพิ่มขึ้นจนถึงอุณหภูมิ  $1,100^{\circ}\text{C}$  จากนั้นปริมาณลดลง แต่แร่ควอตซ์กับแร่อะโนไทต์มีปริมาณสูงขึ้น ส่วนแร่แรมูลไลต์เริ่มเปลี่ยนเฟสที่อุณหภูมิ  $1,200^{\circ}\text{C}$  ส่วนตัวอย่างถ่าน K3 พบร่วมกับแร่ควอตซ์ และแร่แคลเซียมซิลิกेटจะเริ่ม

เมื่อนำมาหาความสัมพันธ์ระหว่างอุณหภูมิที่วิเคราะห์กับความเข้มของ XRD พบร่วมกับตัวอย่างถ่าน Q2 พบร่วมกับแร่แรมูลไลต์ และควอตซ์ และแร่ควอตซ์ และแร่แคลเซียมซิลิกेटและแร่แคลเซียมอะลูมิเนียมออกไซด์ มีปริมาณเพิ่มขึ้นจนถึงอุณหภูมิ  $1,100^{\circ}\text{C}$  จากนั้นปริมาณลดลง แต่แร่ควอตซ์กับแร่อะโนไทต์มีปริมาณสูงขึ้น ส่วนแร่แรมูลไลต์เริ่มเปลี่ยนเฟสที่อุณหภูมิ  $1,200^{\circ}\text{C}$  ส่วนตัวอย่างถ่าน K3 พบร่วมกับแร่ควอตซ์ และแร่แคลเซียมซิลิกेटจะเริ่ม

เปลี่ยนเฟสจนถึงอุณหภูมิ  $1,200^{\circ}\text{C}$  และตัวอย่างเดียว Q4 จะพบแร่เก็ลไนต์ที่อุณหภูมิ  $1,100^{\circ}\text{C}$  ส่วนแร่ควอตซ์ ปริมาณลดลงอย่างมากที่อุณหภูมิ  $1,100^{\circ}\text{C}$  คาดว่าอาจเกิดจากแร่ควอตซ์ทำปฏิกิริยากับแคลเซียมซิลิเกต ส่วนตัวอย่างเดียวกันที่ผ่านการทดสอบระหว่าง  $20\% \text{ Q2} + 80\% \text{ Q4}$  พบรั่วเก็ลไนต์และแร่ควอตซ์เกิดขึ้นที่อุณหภูมิ  $800^{\circ}\text{C}$  จากนั้นปริมาณของแร่ทั้งสองชนิดลดลงจนถึงอุณหภูมิ  $1,100^{\circ}\text{C}$  แร่เก็ลไนต์เริ่มหายไปเนื่องจากทำปฏิกิริยากับควอตซ์ที่อุณหภูมนี้เกิดเป็นแร่แคลเซียมอัลูมิโนไซด์

ผลการวิจัยได้ข้อสรุปว่า ค่าปริมาณร้อยละของ  $\text{CaO}$  ที่ 27 เปอร์เซ็นต์ (จากตัวอย่างเดียว Q4) และตัวอย่างเดียวกันที่ผ่านการทดสอบระหว่าง  $20\% \text{ Q2} + 80\% \text{ Q4}$  มีชนิดของแร่ เช่นเดียวกับตะกรันเมื่อเผาที่อุณหภูมิสูง ( $1,100^{\circ}\text{C}$ ) คือ แร่เก็ลไนต์ และยังสามารถทำการเกิดตะกรันได้โดย Ternary Phase Diagram โดยพล็อตจากองค์ประกอบทางเคมีของแร่ที่มีอยู่ในตัวอย่าง โดยพบว่า ตัวอย่างเดียว Q4 มีองค์ประกอบทางแร่อยู่ใกล้เคียงกับบริเวณที่มีอุณหภูมิของ การหลอมตัว และเมื่อนำมาทดสอบตัวอย่างเดียว Q2 ก็พบว่า มีแนวโน้มที่จะเกิดองค์ประกอบของแร่ที่มีอุณหภูมิการหลอมตัวเช่นเดียวกัน

## 5.2 ข้อเสนอแนะ

การแก้ปัญหาการเกิดตะกรันในโรงไฟฟ้าแม่مه้าทำได้โดยทดสอบถ่านหินให้องค์ประกอบทางเคมีของแร่ในถ่านหินไม่ให้มีองค์ประกอบอยู่ในบริเวณที่มีอุณหภูมิการหลอมตัวใน Ternary Phase Diagram โดยนำถ่านหินที่มีปริมาณร้อยละของ  $\text{SiO}_2$ ,  $\text{CaO}$  หรือ  $\text{Al}_2\text{O}_3$  อย่างโดยประมาณที่มีค่าสูง หรืออาจใช้วัสดุที่มีค่าเหล่านี้สูงมีผสมกับถ่านหินก็ได้ เช่น ผสมถ่านหินกับดินที่มีปริมาณอัลูมีนา (Alumina:  $\text{Al}_2\text{O}_3$ ) สูง หรืออาจผสมหินปูน (Limestone:  $\text{CaCO}_3$ ) ป้อนไปกับถ่านหินลงไปเพื่อเพิ่มปริมาณร้อยละของ  $\text{CaO}$  ให้สูงขึ้นเพื่อให้องค์ประกอบถ่านหินออกห่างจากบริเวณการหลอมตัวในไดอะแกรม โดยในปัจจุบันทาง กฟผ. ได้ทดสอบโดยเน้นเพียงแค่ปริมาณร้อยละของ  $\text{CaO}$  ไม่ให้เกิน 23 เปอร์เซ็นต์เท่านั้น

งานวิจัยนี้สามารถนำมายังห้องศึกษาต่อได้อีกด้วยการศึกษาหาอุณหภูมิการหลอมของตะกรันที่เกิดขึ้น โดยนำข้อมูลถ่านหินที่ทำให้เกิดตะกรันที่เกิดขึ้นจริงในหม้อไอน้ำมาหาองค์ประกอบออกไซด์ของแร่ในเดียว แล้วนำข้อมูลมาพล็อตลงใน Phase Diagram เพื่อกำหนดบริเวณที่ทำให้เกิดปัญหาตะกรันขึ้น การศึกษาหาองค์ประกอบของชี้เดียวโดยนำไปเผาตั้งแต่อุณหภูมิห้องจนถึง  $1,500^{\circ}\text{C}$  แล้วนำเดียวในแต่ละช่วงอุณหภูมิมาวิเคราะห์ด้วยเครื่อง XRD เพื่อดูการเปลี่ยนแปลงของชนิดแร่ เมื่ออุณหภูมิเปลี่ยนไปได้ชัดเจนยิ่งขึ้น การศึกษาหาการเปลี่ยนแปลงขององค์ประกอบแร่ที่เปลี่ยนไปเมื่ออุณหภูมิสูงด้วยวิธี Differential Thermal Analysis (DTA) การ

หน้าหนักที่หายไปเมื่ออุณหภูมิสูงขึ้นด้วยวิธี Thermogravimetry Analysis ก็จะช่วยให้ทราบถึงกระบวนการของการเปลี่ยนเฟสของเกล้าในถ่านหินที่อุณหภูมิต่าง ๆ ได้ละเอียดขึ้น



## รายการอ้างอิง

### ภาษาไทย

กิตย์ไน มีจำนวน. การศึกษาแนวทางการลดสแลกจากหม้อไอน้ำของโรงไฟฟ้าแม่เมาะ, หน้า 3-15.  
มิถุนายน 2551, ฝ่ายบริหารงานวิจัยและพัฒนา การไฟฟ้าฝ่ายผลิตแห่งประเทศไทย,  
2551.

ผลการศึกษาของ Joint Graduate School of Energy and Environment (JGSEE), 2006.

ผลการศึกษา ณ Central Laboratory ของ Taiho Industries Co., Ltd. ประเทศญี่ปุ่น, 2006.

### ภาษาอังกฤษ

Hatt, Roderick M., Fireside Deposits in Coal-Fired Utility Boilers, Progress in Energy and Combustion Science, Vol 16, pp.235-241, 1990.

Hyun-Taek Kim และ Han-jin Bae. A Prediction of coal ash slagging under the gasification condition, The American Society Division of Fuel Chemistry, Energy Department, Ajou University, Korea, 1995.

Karfa Traore, Tibo Simeon Kabre และ Philippe Blanchart. Gehlenite and anorthite crystallisation from kaolinite and calcite mix. Ceramics International 29 (June 2003) 377–383.

Miller, B. G, Coal Energy System, Elsevier Academic Press: Elsevier Inc., 2005.

Qiu J.R., F. Li, Y. Zheng, C.G. Zheng, และ H.C. Zhou. The influences of mineral behaviour on blended coal ash fusion characteristics. Fuel 78 (December 1999) 963–969.

Samit Mukherjee and Sunil Kumar Srivastava, Minerals Transformations in Northeastern Region Coals of India on Heat Treatment, Energy & Fuels 20 (February 2006): 1089-1096.

Ward, C. R., Analysis and significance of mineral matter in coal seams. International Journal of Coal Geology 50 (May 2002): 135– 168

[www.astm.org](http://www.astm.org)



ภาคนวก

# ศูนย์วิทยทรัพยากร อุปสงค์รวมมหาวิทยาลัย

### ภาคผนวก ก

ผลการวิเคราะห์ตัวอย่างถ่านหินด้วยเครื่อง X-Ray Diffractometer (XRD)

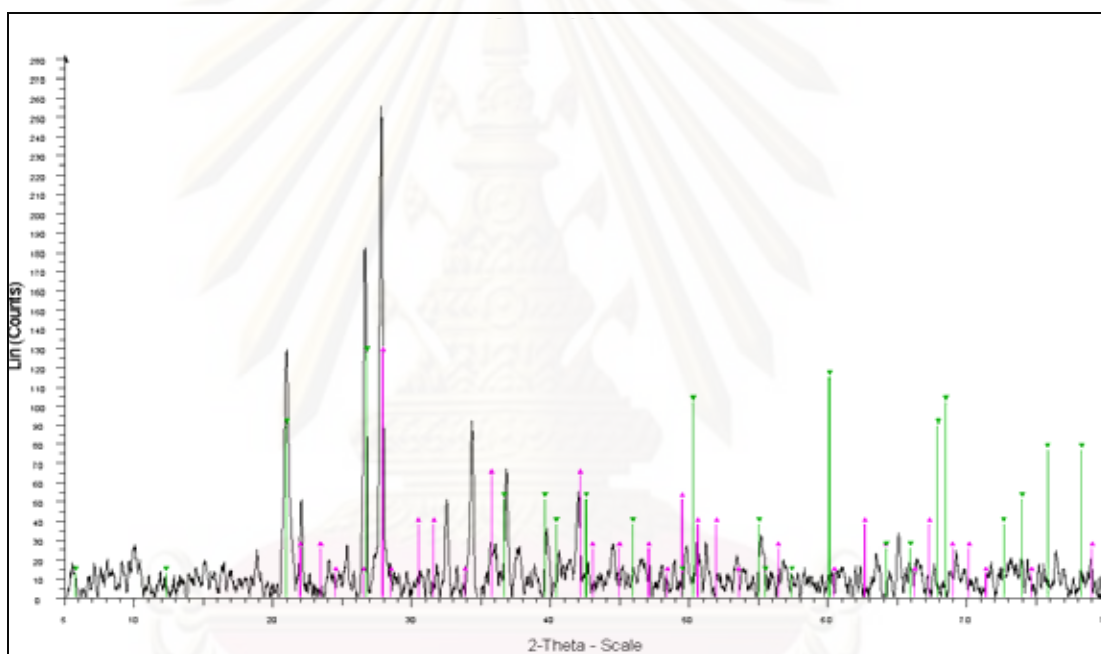
ศูนย์วิทยทรัพยากร  
อุพัลงกรณ์มหาวิทยาลัย

## ภาคผนวก ก

### ผลการวิเคราะห์ตัวอย่างถ่านหินด้วยเครื่อง X-Ray Diffractometer (XRD)

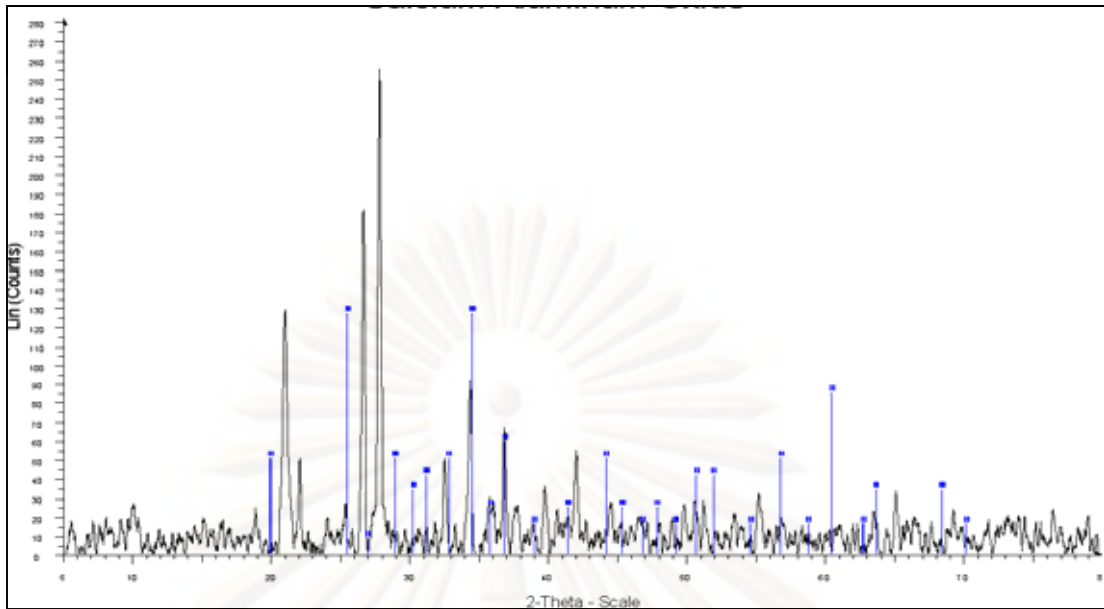
การวิเคราะห์ตัวอย่างถ่านหิน Q2, K3 และ Q4 กับตัวอย่างถ่านหินที่ผสมกันระหว่าง Q2 และ Q4 และตัวอย่างตะกรัน Slag A Slag B, Slag C และ Slag D ด้วยเครื่องวิเคราะห์ XRD เริ่มด้วยการนำตัวอย่างไปเผาที่อุณหภูมิ  $800^{\circ}\text{C}$ ,  $900^{\circ}\text{C}$ ,  $1,000^{\circ}\text{C}$ ,  $1,100^{\circ}\text{C}$  และ  $1,200^{\circ}\text{C}$  เป็นเวลาช่วงละ 3 ชั่วโมง ในแต่ละช่วงอุณหภูมิ ได้ผลวิเคราะห์ดังนี้

#### 1.1 ตัวอย่าง Q2 (ค่าปริมาณร้อยละของ CaO ต่อ ( $2.24\% \text{CaO}$ ))

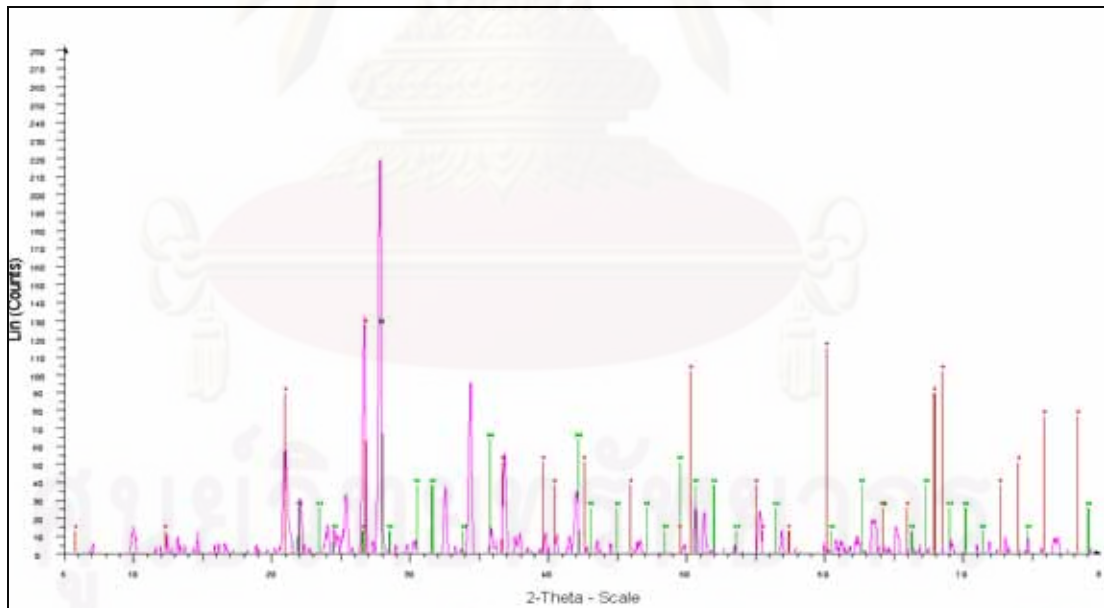


รูปที่ 1 แสดง XRD Pattern ตัวอย่างและชนิดของแร่ตัวอย่าง Q2 หลังการเผาที่อุณหภูมิ  $800^{\circ}\text{C}$

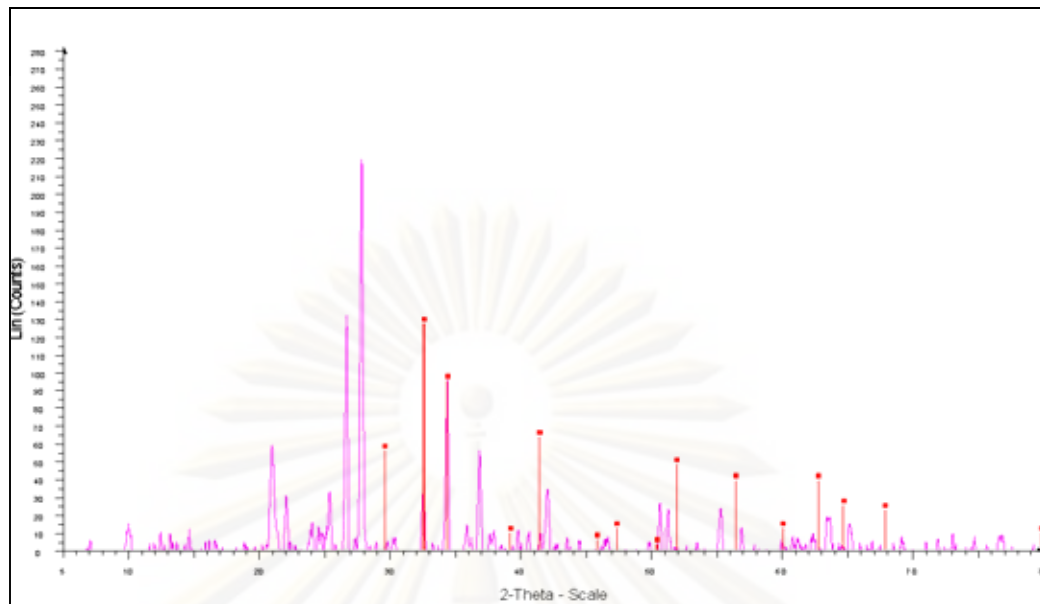
(เส้นสีเข้มพูแสดงตำแหน่งของแร่อ่อนรื้อท์ ส่วนเส้นสีเขียวแสดงตำแหน่งของแร่ควอตซ์)



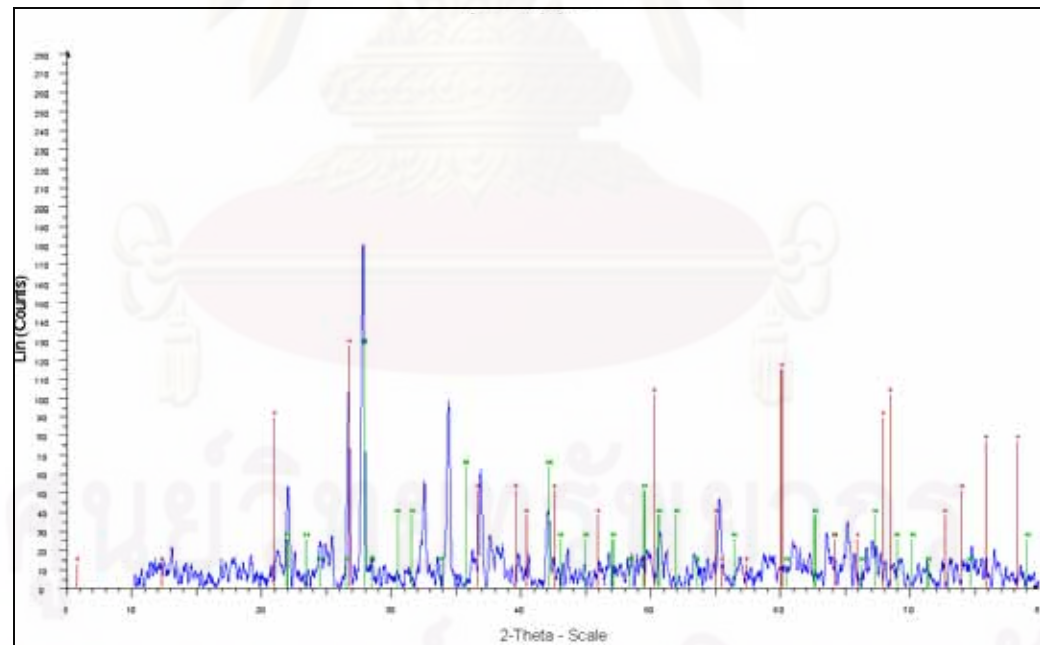
รูปที่ 2 แสดง XRD Pattern ตัวอย่างและชนิดแร่ตัวอย่าง Q2 หลังการเผาที่อุณหภูมิ  $800^{\circ}\text{C}$   
(เส้นสีน้ำเงินแสดงตำแหน่งของกลุ่มแร่แคลเซียมอะลูมิเนียมออกไซด์)



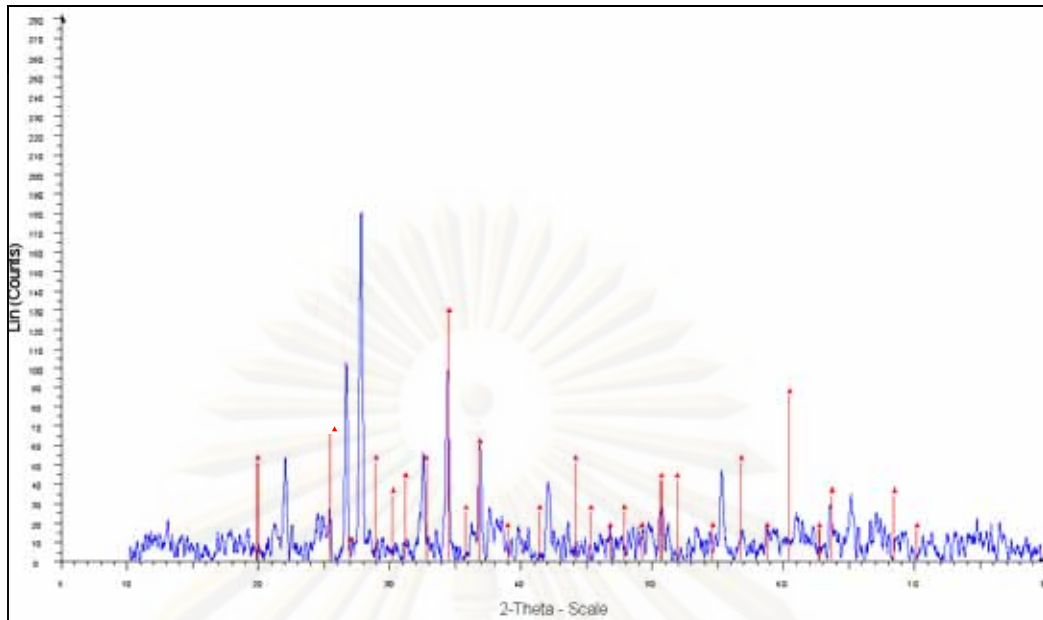
รูปที่ 3 แสดง XRD Pattern ตัวอย่างและชนิดแร่ตัวอย่าง Q2 หลังการเผาที่อุณหภูมิ  $900^{\circ}\text{C}$   
(เส้นสีเขียวแสดงตำแหน่งของแร่ออกไซด์ส่วนเส้นสีแดงแสดงตำแหน่งของแร่ควอตซ์)



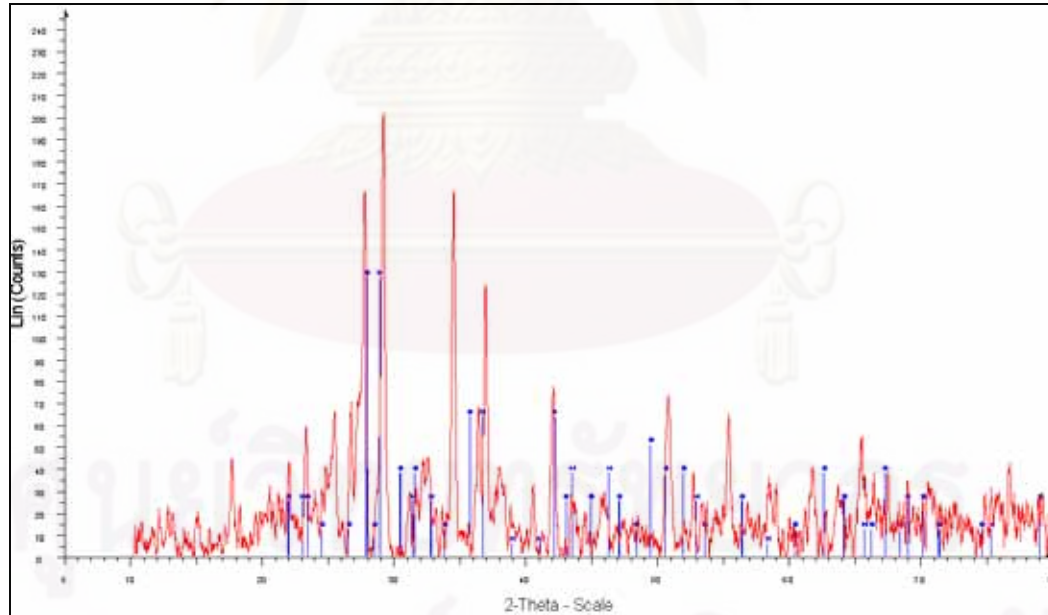
รูปที่ 4 แสดง XRD Pattern ตัวอย่างและขณะนิดแร่ตัวอย่าง Q2 หลังการเผาที่อุณหภูมิ  $900^{\circ}\text{C}$   
(เส้นสีแดงแสดงตำแหน่งของกลุ่มแร่แคลเซียมอะลูมินัมออกไซด์)



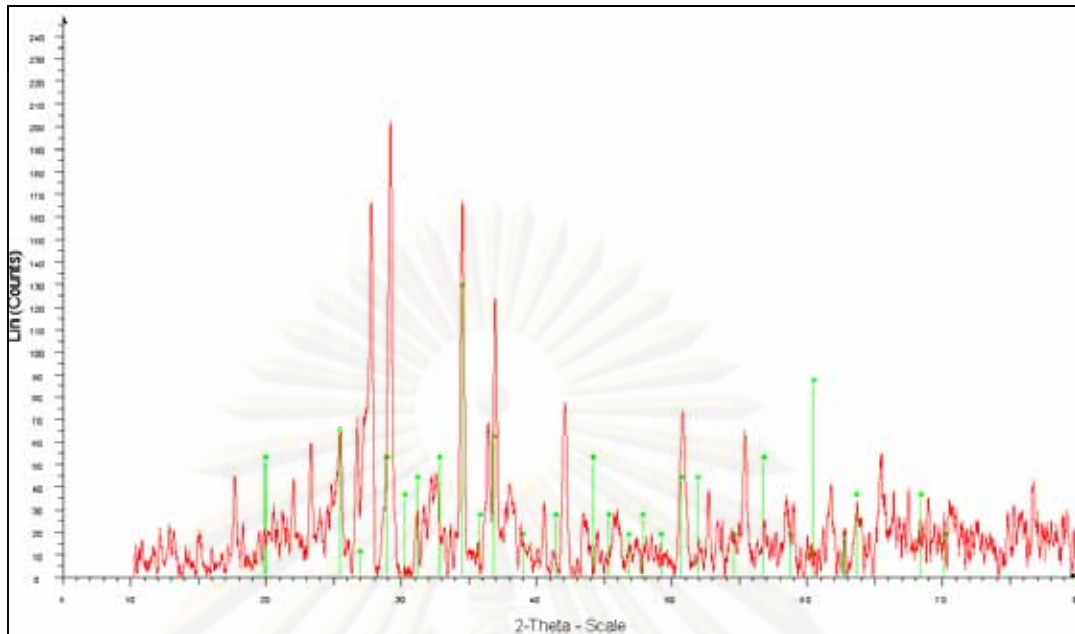
รูปที่ 5 แสดง XRD Pattern ตัวอย่างและขณะนิดแร่ตัวอย่าง Q2 หลังการเผาที่อุณหภูมิ  $1,000^{\circ}\text{C}$   
(เส้นสีเขียวแสดงตำแหน่งของแร่ออกไซด์ฟาร์บิท ส่วนเส้นสีแดงแสดงตำแหน่งของแร่คิวตซ์)



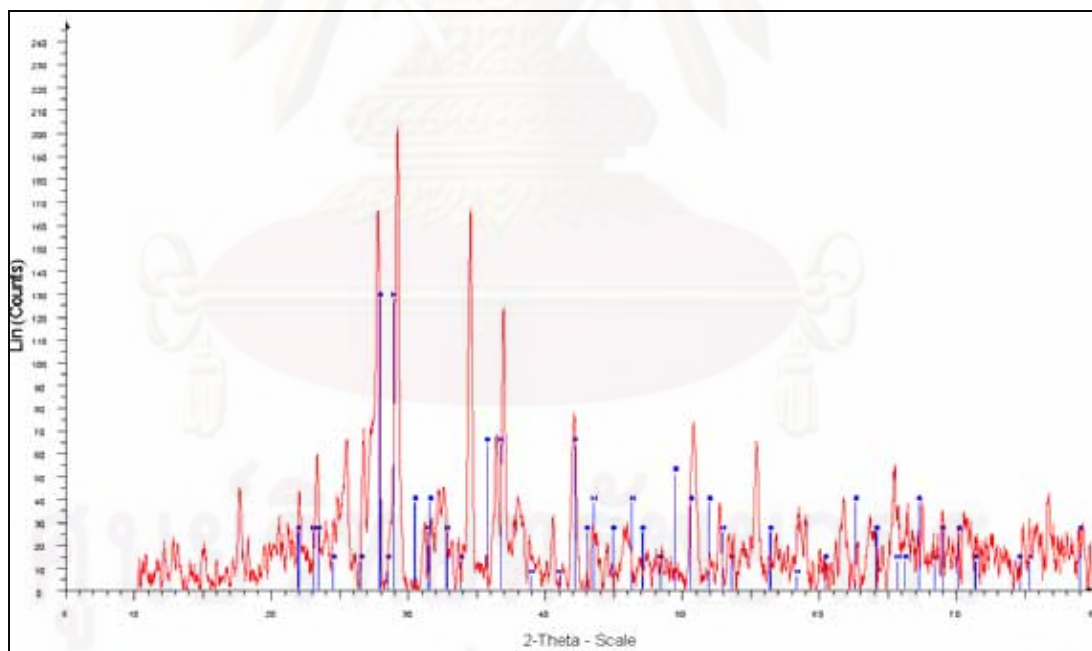
รูปที่ 6 แสดง XRD Pattern ตัวอย่างและชนิดแร่ตัวอย่าง Q2 หลังการเผาที่อุณหภูมิ  $1,000^{\circ}\text{C}$   
(เส้นสีแดงแสดงตำแหน่งของกลุ่มแร่แคลเซียมอะลูминัมออกไซด์)



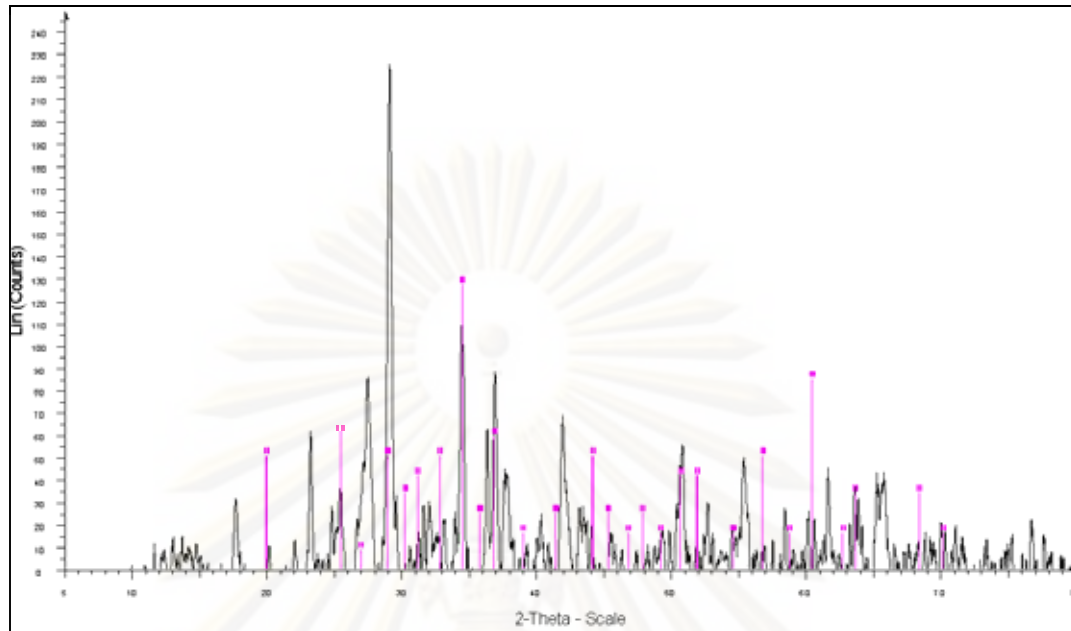
รูปที่ 7 แสดง XRD Pattern ตัวอย่างและชนิดแร่ตัวอย่าง Q2 หลังการเผาที่อุณหภูมิ  $1,100^{\circ}\text{C}$   
(เส้นน้ำเงินแสดงตำแหน่งของแร่ออนเซอร์ไทร์ต์)



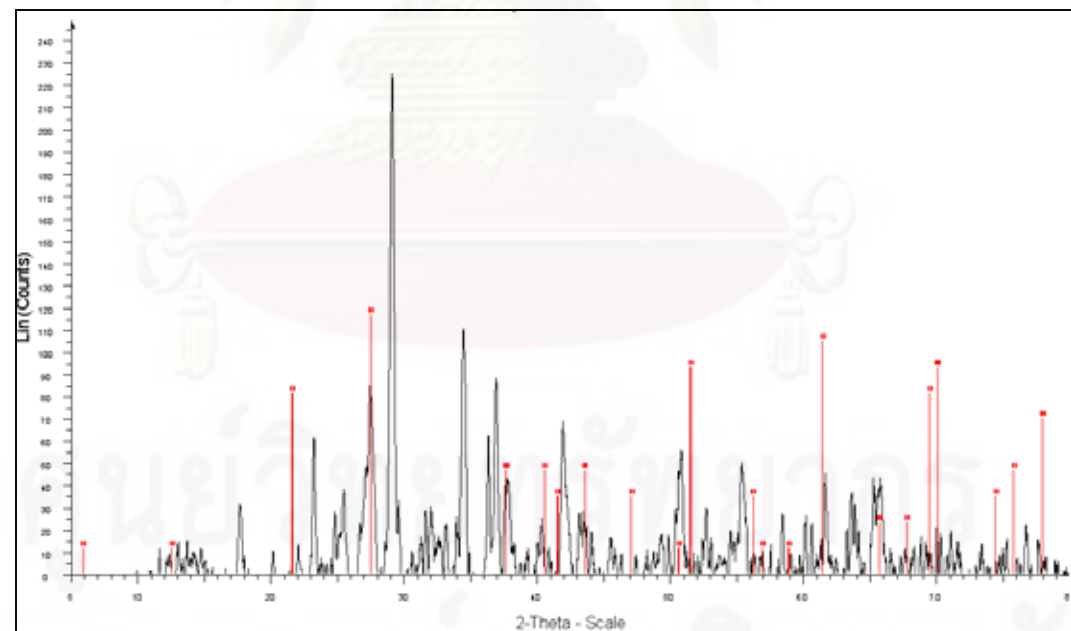
รูปที่ 8 แสดง XRD Pattern ตัวอย่างและชนิดแร่ตัวอย่าง Q2 หลังการเผาที่อุณหภูมิ 1,100°C  
(เส้นสีเขียวอ่อนแสดงตำแหน่งของกลุ่มแร่แคลเซียมอะลูминัมออกไซด์)



รูปที่ 9 แสดง XRD Pattern ตัวอย่างและชนิดแร่ตัวอย่าง Q2 หลังการเผาที่อุณหภูมิ 1,100°C  
(เส้นน้ำเงินแสดงตำแหน่งของแร่อะโนร์ไธต์)

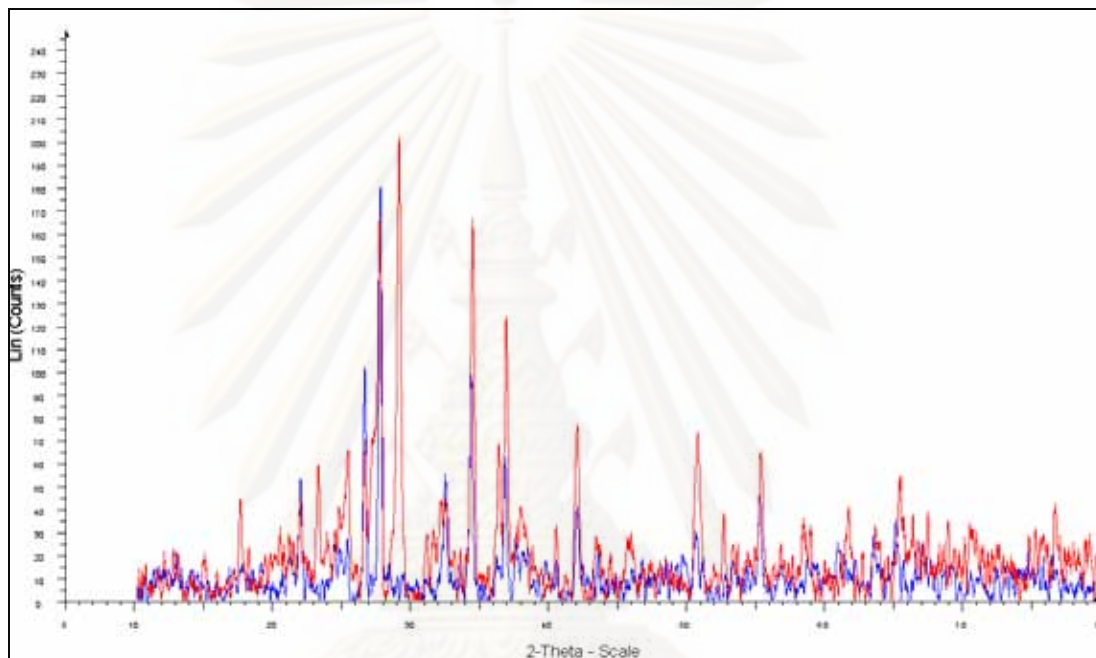


รูปที่ 10 แสดง XRD Pattern ตัวอย่างและชนิดแร่ตัวอย่าง Q2 หลังการเผาที่อุณหภูมิ 1,200°C  
(เด่นสีชมพูแสดงตำแหน่งของกลุ่มแร่แคลเซียมอะลูминินัมออกไซด์)

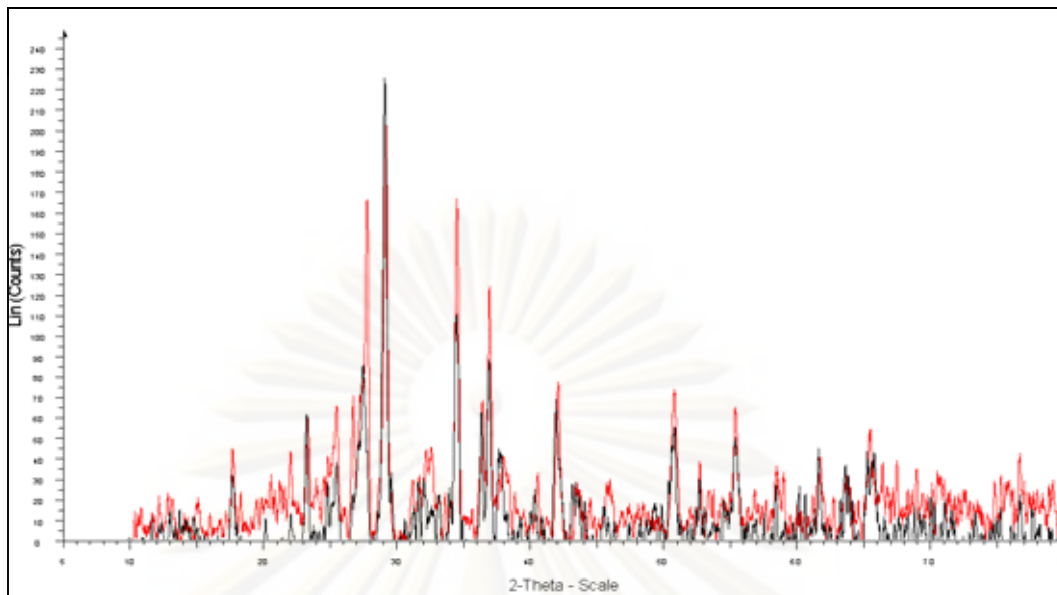


รูปที่ 11 แสดง XRD Pattern ตัวอย่างและชนิดแร่ตัวอย่าง Q2 หลังการเผาที่อุณหภูมิ 1,200°C  
(เด่นสีแดงแสดงตำแหน่งของแร่ควอตซ์)

จากรูปที่ 1- 6 อุณหภูมิตั้งแต่  $800^{\circ}\text{C}$  จนถึงอุณหภูมิ  $1,000^{\circ}\text{C}$  พบว่า มีการเปลี่ยนแปลงขนาดของ พีค (Peak) ไม่มากนัก จนถึงอุณหภูมิ  $1,100^{\circ}\text{C}$  โดยที่ก้อนรุ่มแร่แคลเซียมอะลูминัมออกไซด์ แร่อะนอยไทร์ และแร่ควอตซ์ขนาดของพีคสูงขึ้น โดยเฉพาะแร่อะนอยไทร์จะเพิ่มขึ้นมากอย่างเห็นได้ชัดแต่เมื่ออุณหภูมิ  $1,200^{\circ}\text{C}$  พีคของแร่ควอตซ์และก้อนรุ่มแร่แคลเซียมอะลูминัมออกไซด์ต่ำลง แต่พีคของแร่อะนอยไทร์สูงขึ้น โดยจะเปรียบเทียบผลวิเคราะห์ดังรูปที่ 12 และ รูปที่ 13



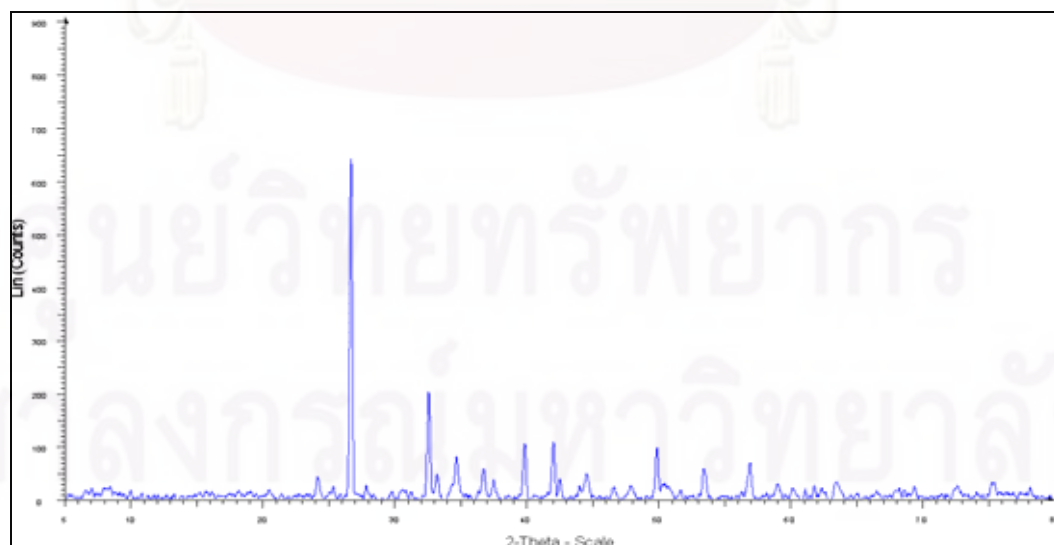
รูปที่ 12 เปรียบเทียบชนิดของแร่หลักการเผาที่อุณหภูมิที่เปลี่ยนไประหว่างตัวอย่าง Q2 ที่อุณหภูมิ  $1,000^{\circ}\text{C}$  (เส้นสีนำเงิน) กับตัวอย่างที่อุณหภูมิ  $1,100^{\circ}\text{C}$  (เส้นสีแดง)



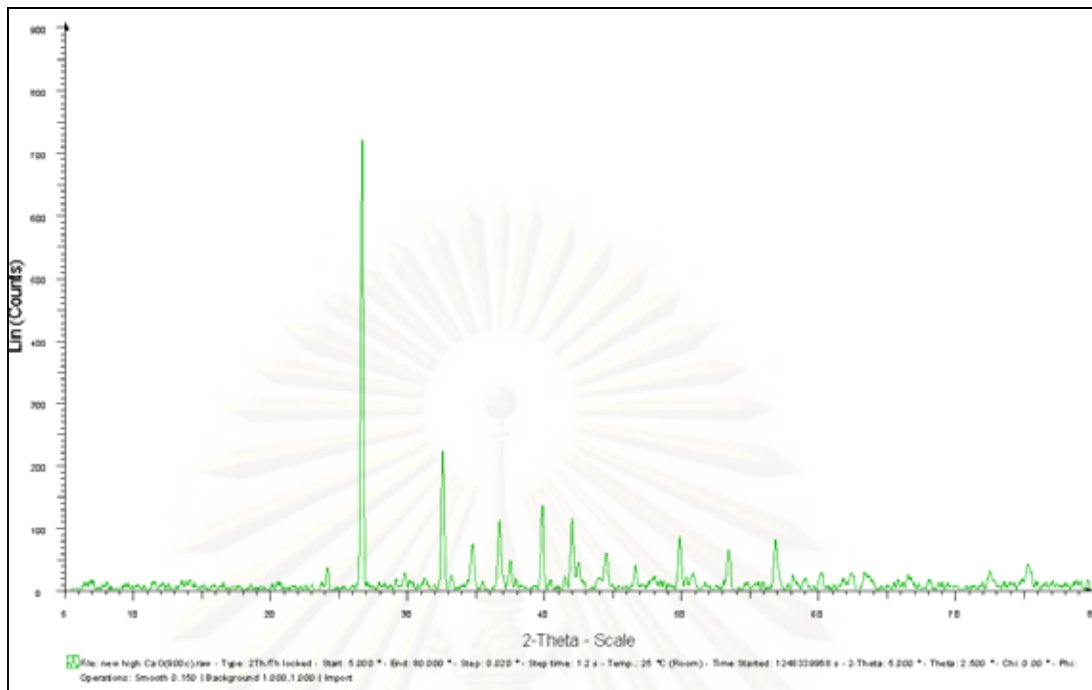
รูปที่ 13 เปรียบเทียบชนิดของแร่หลังการเผาที่อุณหภูมิที่เปลี่ยนไประหว่างตัวอย่าง Q2 ที่อุณหภูมิ  $1,100^{\circ}\text{C}$  (เส้นสีแดง) กับตัวอย่างที่อุณหภูมิ  $1,200^{\circ}\text{C}$  (เส้นสีดำ)

จากรูปที่ 12 – 13 จะพบการเปลี่ยนแปลงชนิดของแร่หลังการเผาที่อุณหภูมิอยู่ 2 ช่วง คือ ช่วงอุณหภูมิ  $1,000^{\circ}\text{C} - 1,100^{\circ}\text{C}$  และ  $1,100^{\circ}\text{C} - 1,200^{\circ}\text{C}$  โดยที่ปริมาณของแร่ควอตซ์มีค่าลดลง แต่ปริมาณของแร่อะโนไทด์และกลุ่มแร่แคลเซียมอะลูมิเนียมออกไซด์เพิ่มขึ้น

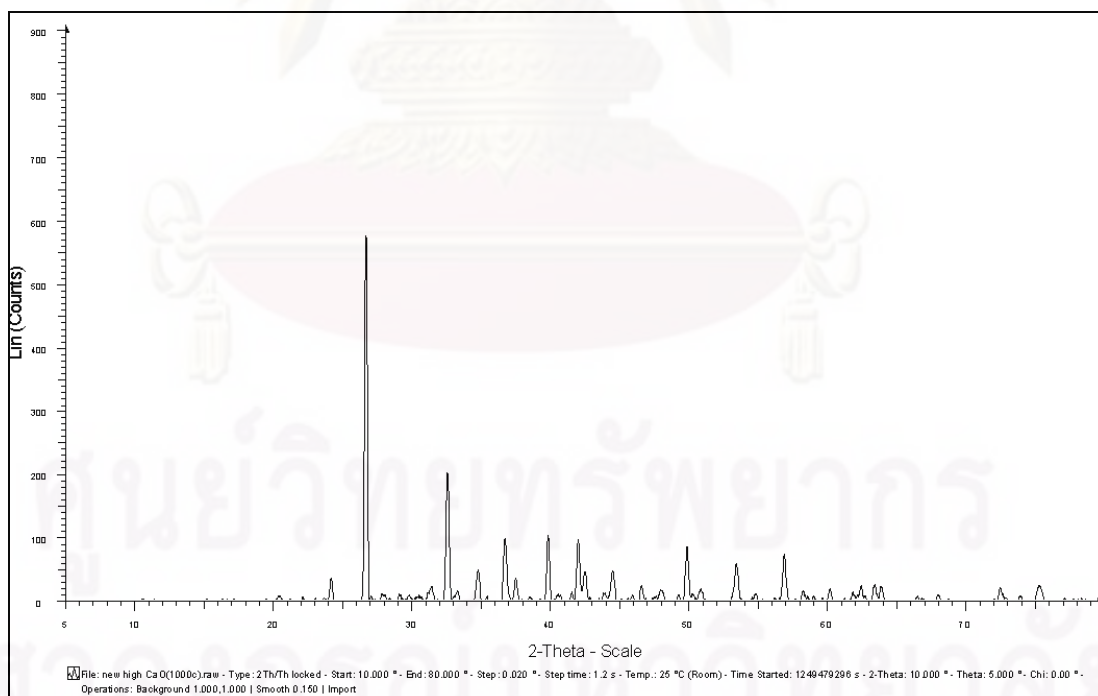
### 1.2 ตัวอย่าง K3 (ค่าปริมาณร้อยละของ CaO สูง ( $31.81\%$ CaO))



รูปที่ 14 XRD Pattern ของตัวอย่าง K3 หลังการเผาที่อุณหภูมิ  $800^{\circ}\text{C}$

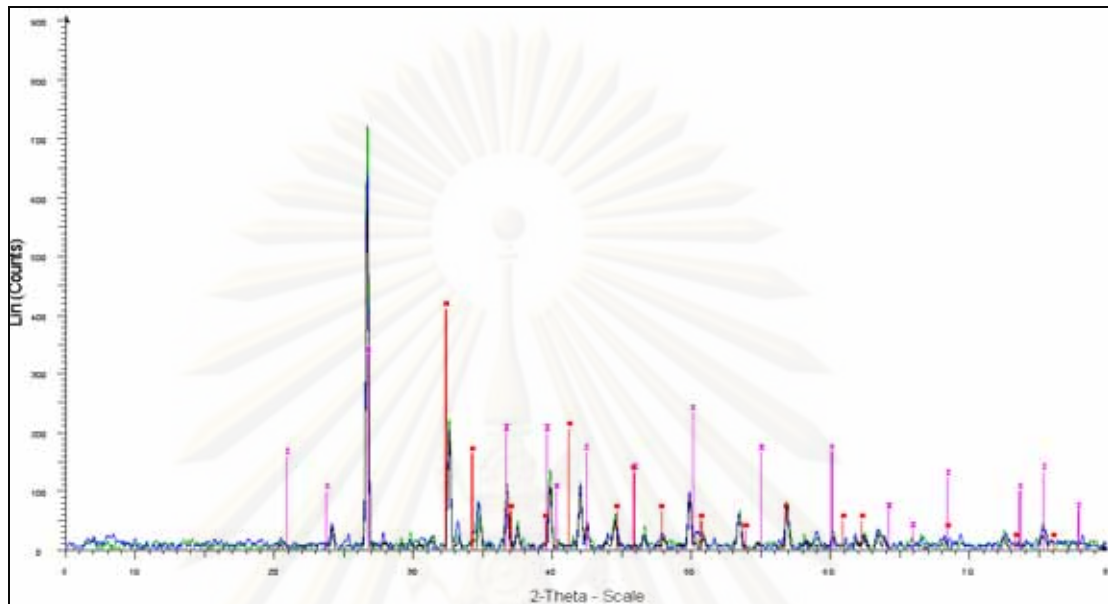


รูปที่ 15 XRD Pattern ของตัวอย่าง K3 หลังการเผาที่อุณหภูมิ 900°C



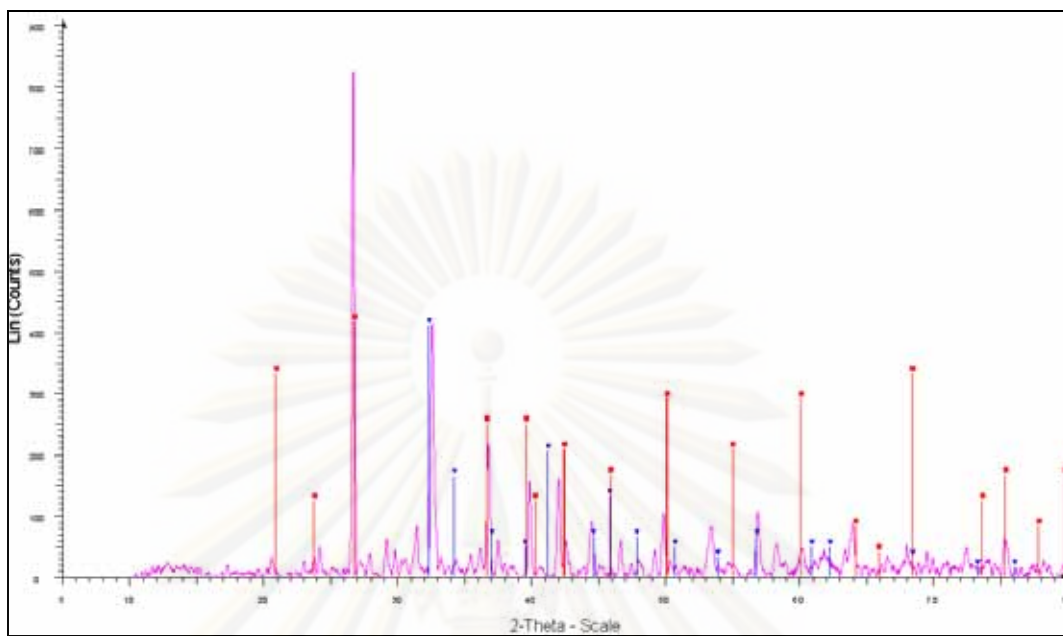
รูปที่ 16 XRD Pattern ของตัวอย่าง K3 หลังการเผาที่อุณหภูมิ 1,000°C

จากรูปที่ 14 - 16 สามารถนำมาเปรียบเทียบ XRD Pattern และวิเคราะห์หาองค์ประกอบทางเคมีได้ดังรูปที่ 17

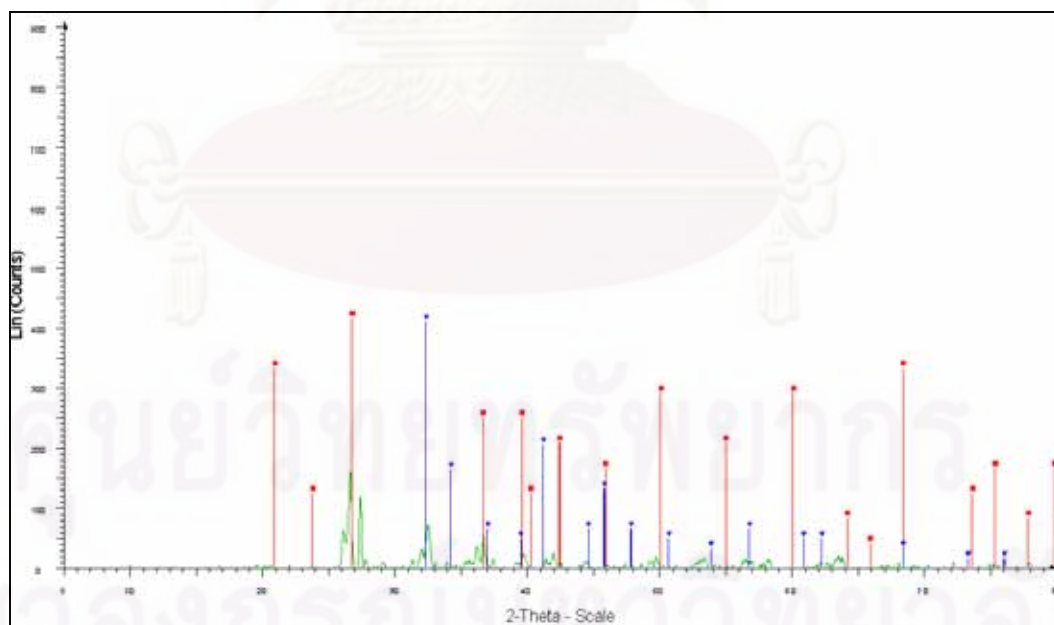


รูปที่ 17 XRD Pattern ของตัวอย่างของตัวอย่าง K3 ที่อุณหภูมิ  $800^{\circ}\text{C}$ ,  $900^{\circ}\text{C}$  และ  $1,000^{\circ}\text{C}$  จากรูปที่ 16 พบร่ว่าที่อุณหภูมิ  $900^{\circ}\text{C}$  (XRD Pattern สีเขียว) จะมียอดของพีคสูงที่สุด รองลงมาจะเป็น XRD Pattern ที่อุณหภูมิ  $800^{\circ}\text{C}$  (XRD Pattern สีน้ำเงิน) และ  $1,000^{\circ}\text{C}$  (XRD Pattern สีดำ) ตามลำดับ และชนิดของแร่หลักการเผาที่อุณหภูมิคือ แร่ควอตซ์ (สีน้ำเงิน) และกลุ่มแร่แคลเซียมซิลิกेट (สีแดง)

**ศูนย์วิทยหัตถการ  
จุฬาลงกรณ์มหาวิทยาลัย**



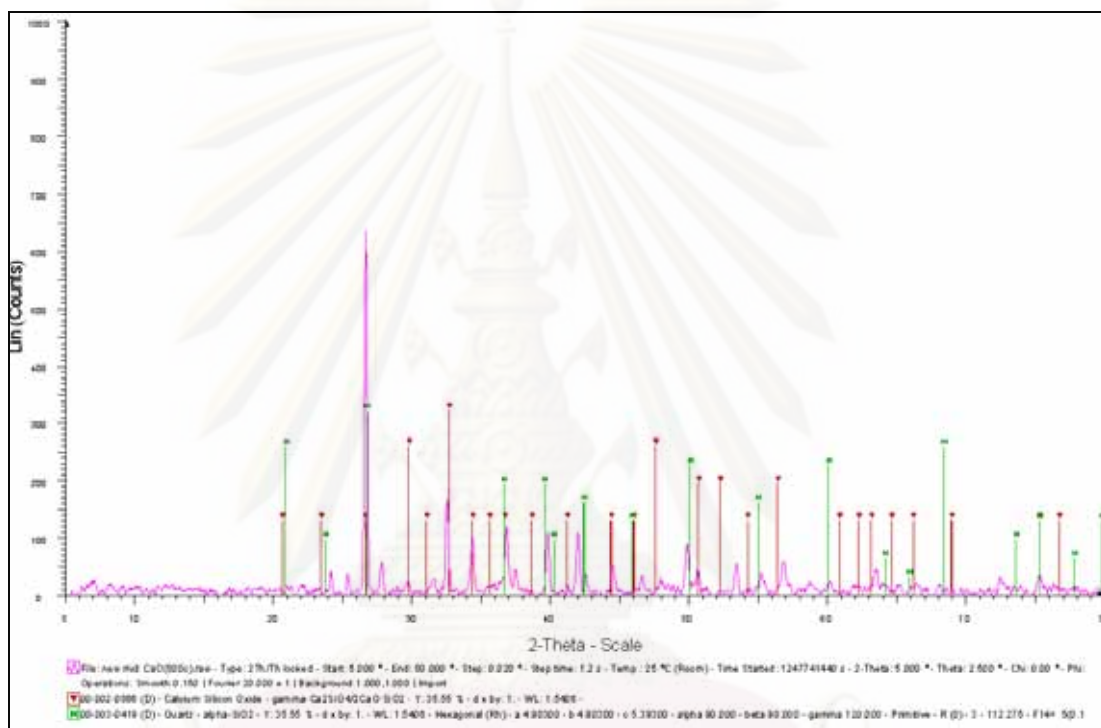
รูปที่ 18 แสดง XRD Pattern ตัวอย่างและชนิดแร่ของตัวอย่าง K3 หลังการเผาที่อุณหภูมิ 1,100°C (เส้นสีแดงแสดงตัวแหน่งของแร่คือตัวอย่าง เส้นสีน้ำเงินแสดงตัวแหน่งของกลุ่มแร่เคลเชียมซิลิกะ)



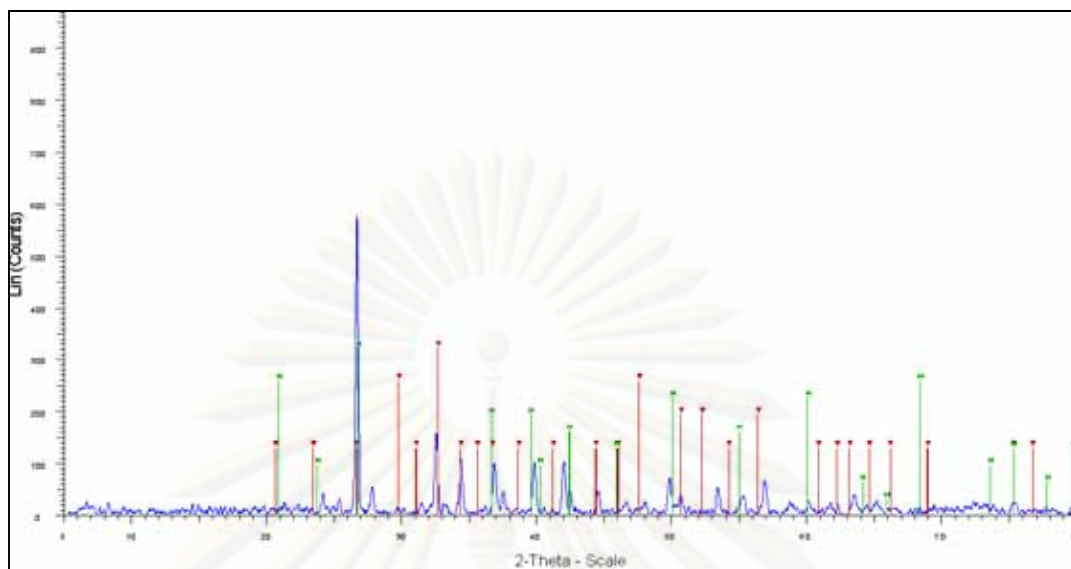
รูปที่ 19 แสดง XRD Pattern ตัวอย่างและชนิดแร่ของตัวอย่าง K3 หลังการเผาที่อุณหภูมิ 1,200°C (เส้นสีแดงแสดงตัวแหน่งของแร่คือตัวอย่าง เส้นสีน้ำเงินแสดงตัวแหน่งของกลุ่มแร่เคลเชียมซิลิกะ)

จากรูปที่ 18-19 พบว่า XRD Pattern ของตัวอย่างที่อุณหภูมิ  $1,200^{\circ}\text{C}$  มีปริมาณน้อยกว่าที่อุณหภูมิ  $1,100^{\circ}\text{C}$  มากและสามารถสรุปได้ว่าตัวอย่าง K3 (ค่าปริมาณร้อยละของ CO สูง) มีชนิดของแร่หลักการเผาที่อุณหภูมิแร่คือตซ์ และกลุ่มแร่แคลเซียมซิลิกेटเป็นหลัก และมีความเปลี่ยนแปลงขององค์ประกอบอย่างเห็นได้ชัดอยู่ระหว่างอุณหภูมิ  $1,100^{\circ}\text{C}$  ถึง  $1,200^{\circ}\text{C}$

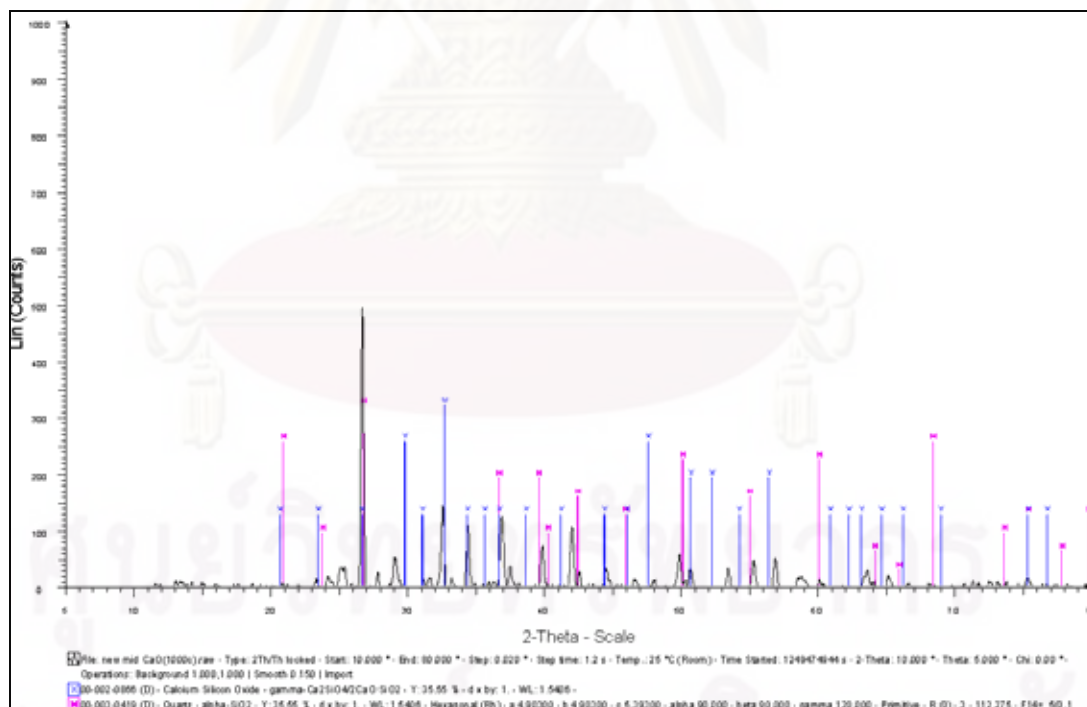
### 1.3 ตัวอย่าง Q4 (ค่าปริมาณร้อยละของ CaO เท่ากับ 27.42% (กลาง))



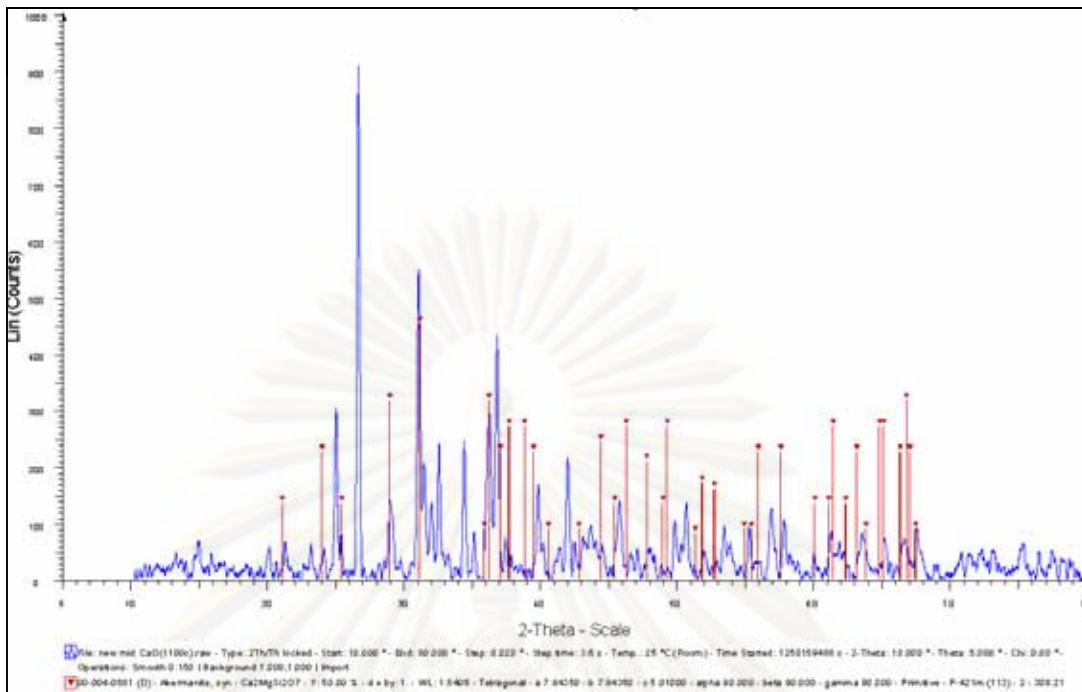
รูปที่ 20 แสดง XRD Pattern ตัวอย่าง Q4 และชนิดของแร่หลักการเผาที่อุณหภูมิ  $800^{\circ}\text{C}$  (เส้นสีเขียวแสดงตำแหน่งของแร่คือตซ์ เส้นสีแดงแสดงตำแหน่งของกลุ่มแร่แคลเซียมซิลิกेट)



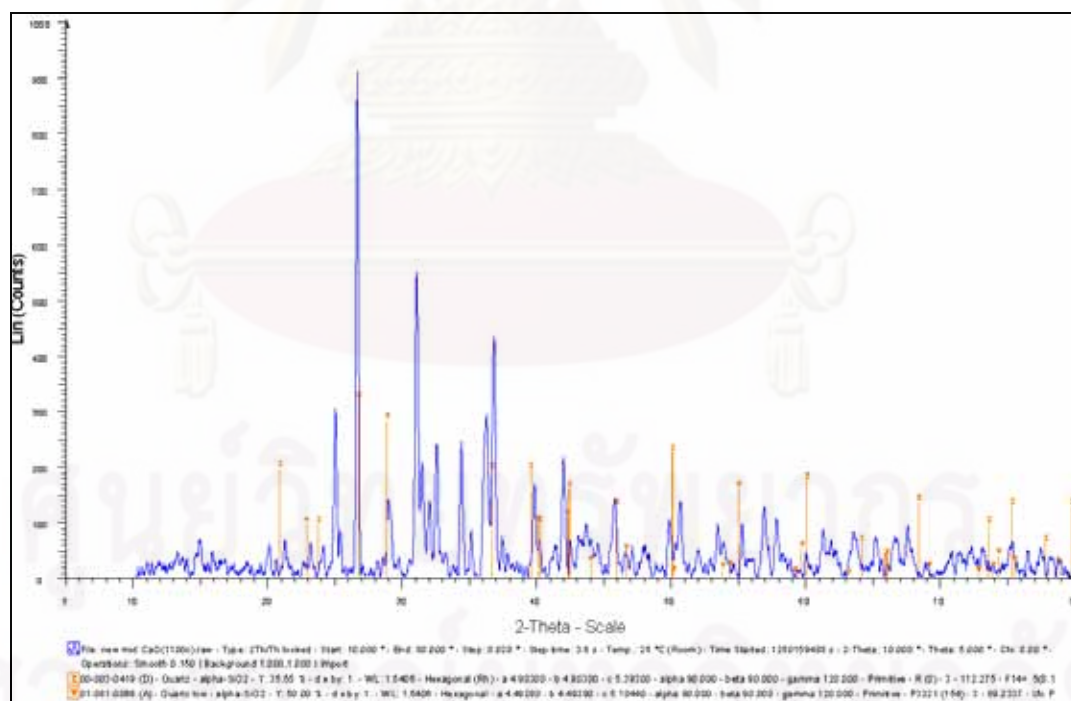
รูปที่ 21 แสดง XRD Pattern ตัวอย่าง Q4 และชนิดของแร่หลังการเผาที่อุณหภูมิ  $900^{\circ}\text{C}$   
(เส้นสีเขียวแสดงตำแหน่งของแร่ควอตซ์ เส้นสีแดงแสดงตำแหน่งของกลุ่มแร่แคลเซียมซิลิกेट)



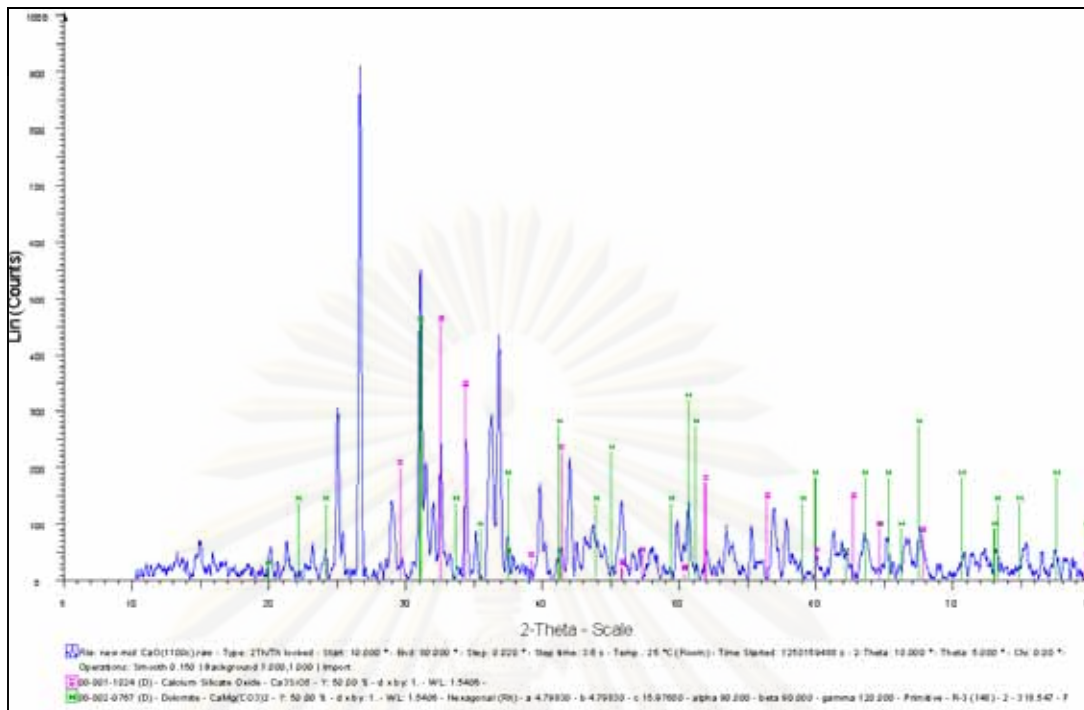
รูปที่ 22 แสดง XRD Pattern ตัวอย่าง Q4 และชนิดของแร่หลังการเผาที่อุณหภูมิ  $1,000^{\circ}\text{C}$   
(เส้นสีเข้มแดงแสดงตำแหน่งของแร่ควอตซ์ เส้นสีชมพูแสดงตำแหน่งของกลุ่มแร่แคลเซียมซิลิกेट)



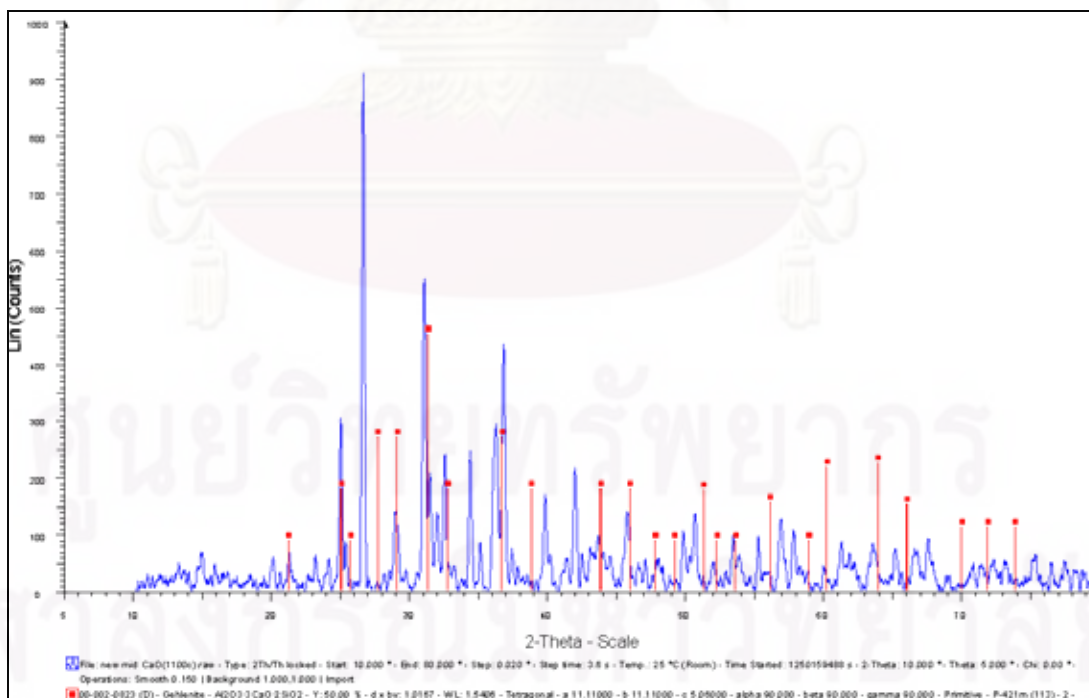
รูปที่ 23 แสดง XRD Pattern ตัวอย่าง Q4 และชนิดของแร่หลังการเผาที่อุณหภูมิ 1,100°C  
(เส้นสีแดงแสดงตำแหน่งของแร่อะเกอร์ว์มานิต)



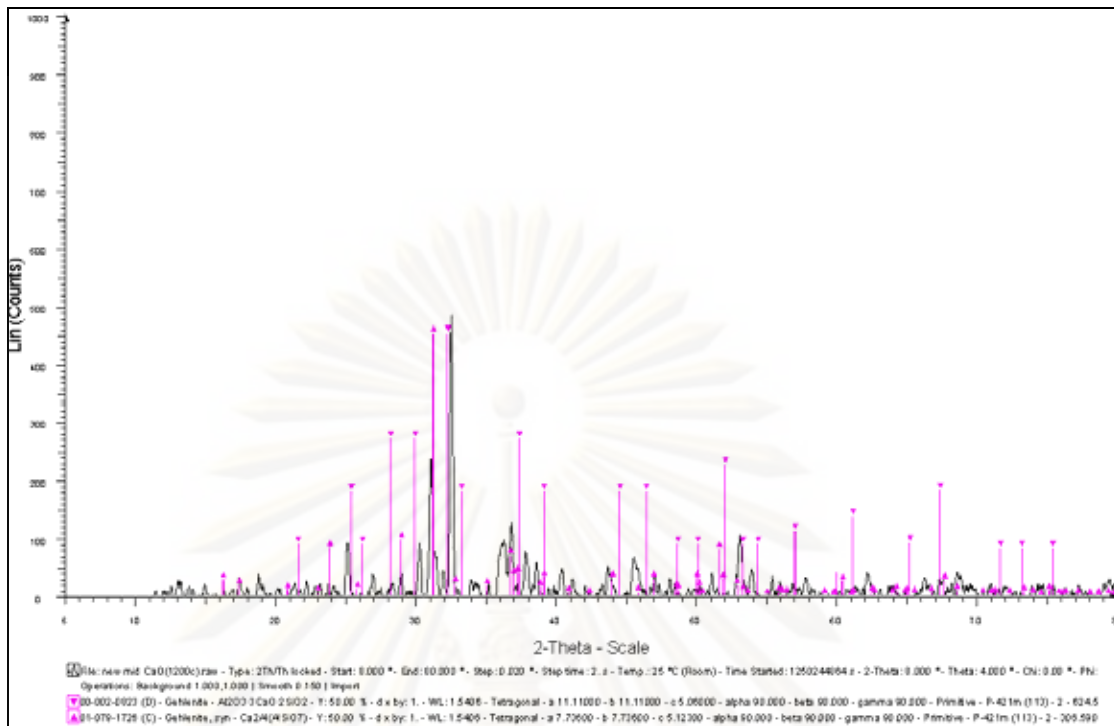
รูปที่ 24 แสดง XRD Pattern ตัวอย่าง Q4 และชนิดของแร่หลังการเผาที่อุณหภูมิ 1,100°C  
(เส้นสีส้มแสดงตำแหน่งของแร่ควอตซ์)



รูปที่ 25 แสดง XRD Pattern ตัวอย่าง Q4 และชนิดของแร่หลังการเผาที่อุณหภูมิ 1,100°C (สีเขียวแสดงผลการจำแนกของแร่ได้โดยไมเตอร์ ส่วนสีแดงแสดงผลการจำแนกของกลุ่มแร่แคลเซียมซิลิกเกต)



รูปที่ 26 แสดง XRD Pattern ตัวอย่าง Q4 และชนิดของแร่หลังการเผาที่อุณหภูมิ 1,100°C (สีเขียวแสดงผลการจำแนกของแร่เก็ทต์เลอโน๊ต)



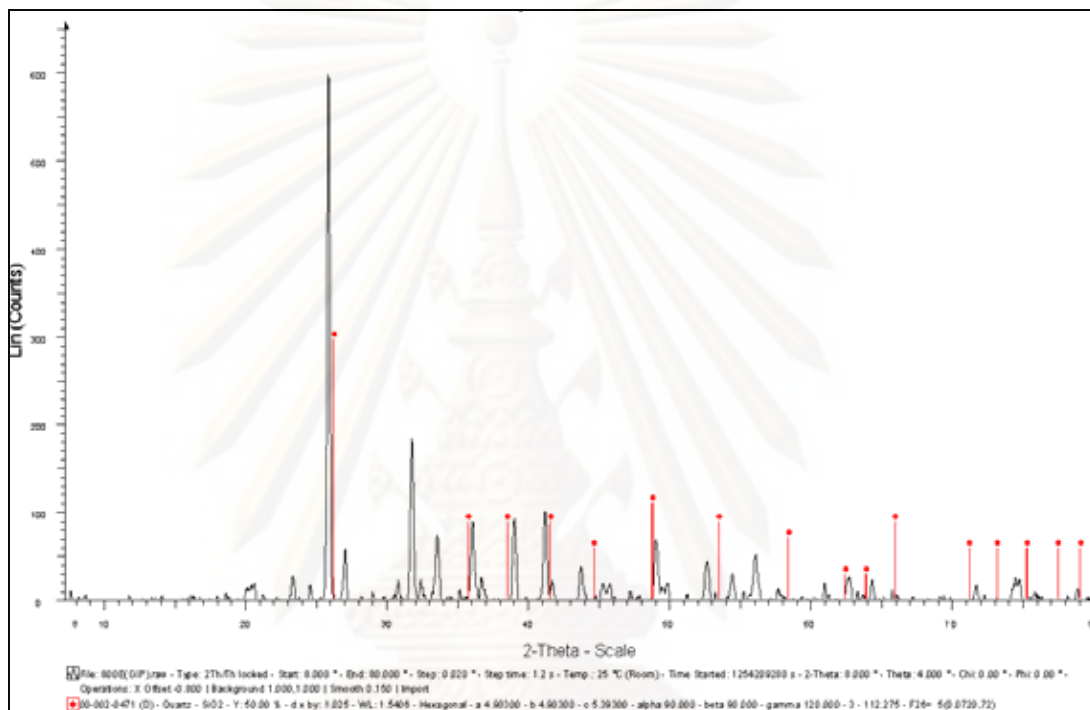
รูปที่ 27 แสดง XRD Pattern ตัวอย่าง Q4 และชนิดของแร่หลักการเผาที่อุณหภูมิ 1,200°C  
(เส้นสีชมพูแสดงตำแหน่งของแร่เก็ทเลอโนต์)

จากรูปที่ 20-22 จะเห็นว่า จากอุณหภูมิ 800°C - 1,000°C ยังมีการเปลี่ยนแปลงไม่มากนัก แร่ส่วนใหญ่ยังเป็นแร่ควอตซ์และกลุ่มแร่แคลเซียมซิลิกेट แต่เมื่อถึงอุณหภูมิ 1,100°C ปริมาณควอตซ์เพิ่มขึ้นและมีแร่ใหม่ฟอร์มตัวขี้นนั่นคือ แร่อะเคอร์มานิต และแร่ไดโอลไมต์ ซึ่งทั้งสองแร่นี้ต่างมีแมกนีเซียมอยู่เป็นองค์ประกอบทางเคมีด้วย ส่วนแร่เก็ทเลอโนต์เกิดขึ้นคล้ายกับผลวิเคราะห์ของตัวอย่างตะกรันที่มีมาก่อนหน้านี้ และจะพบแร่ชนิดนี้ที่อุณหภูมิ 1,200°C ด้วย

## 2 ผลการวิเคราะห์ตัวอย่างถ่านหินที่ผสมกันด้วยเครื่อง XRD

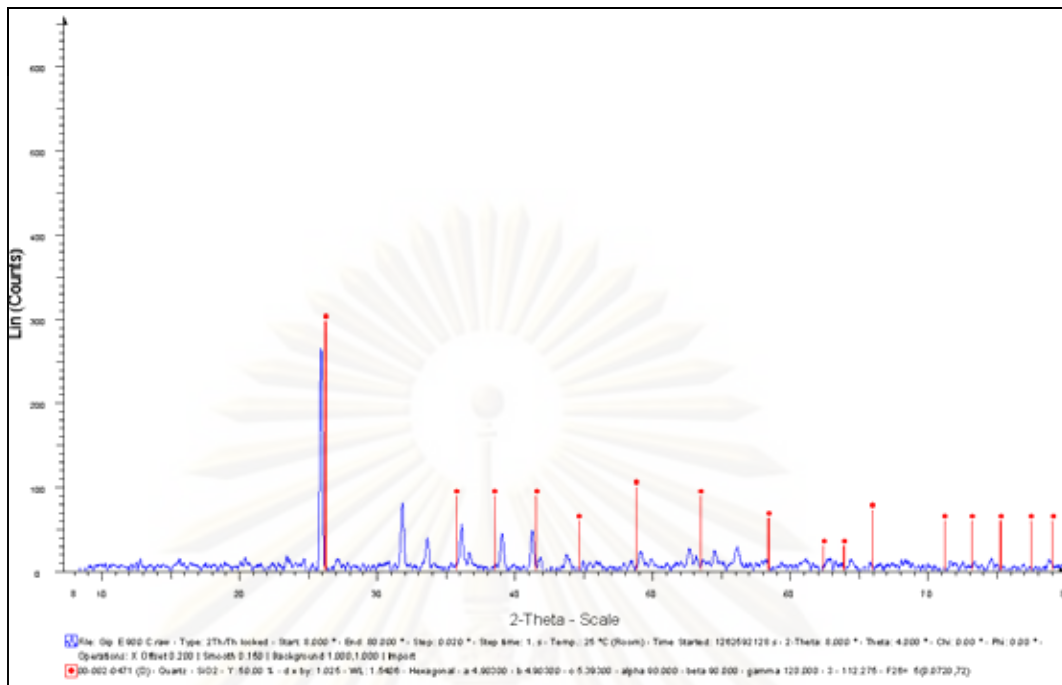
จากการวิเคราะห์ตัวอย่าง Q2 และ Q4 ที่ได้นำมาผสมกันในอัตราส่วนต่าง ๆ คือ Q2 20% + Q4 80%, Q2 40% + Q4 60%, Q2 60% + Q4 40%, และ Q2 80% + Q4 20% ทั้งหมด 4 ตัวอย่าง โดยได้ทำการทดลองเข่นเดียวกันกับในหัวข้อที่ 1 ได้ผลวิเคราะห์ดังนี้

### 2.1 ตัวอย่าง Q2 20% + Q4 80%

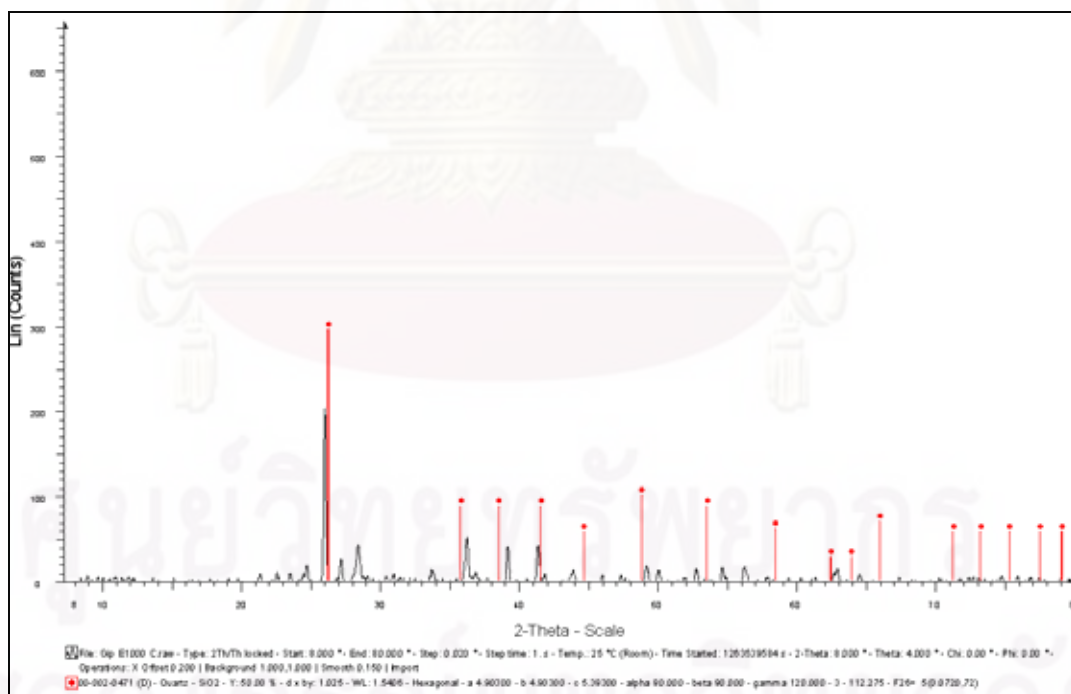


รูปที่ 28 แสดง Diffraction Pattern ตัวอย่างและชนิดของแร่หลักการทำที่อุณหภูมิ 800°C  
(เส้นสีแดงแสดงตำแหน่งของแร่ควอตซ์)

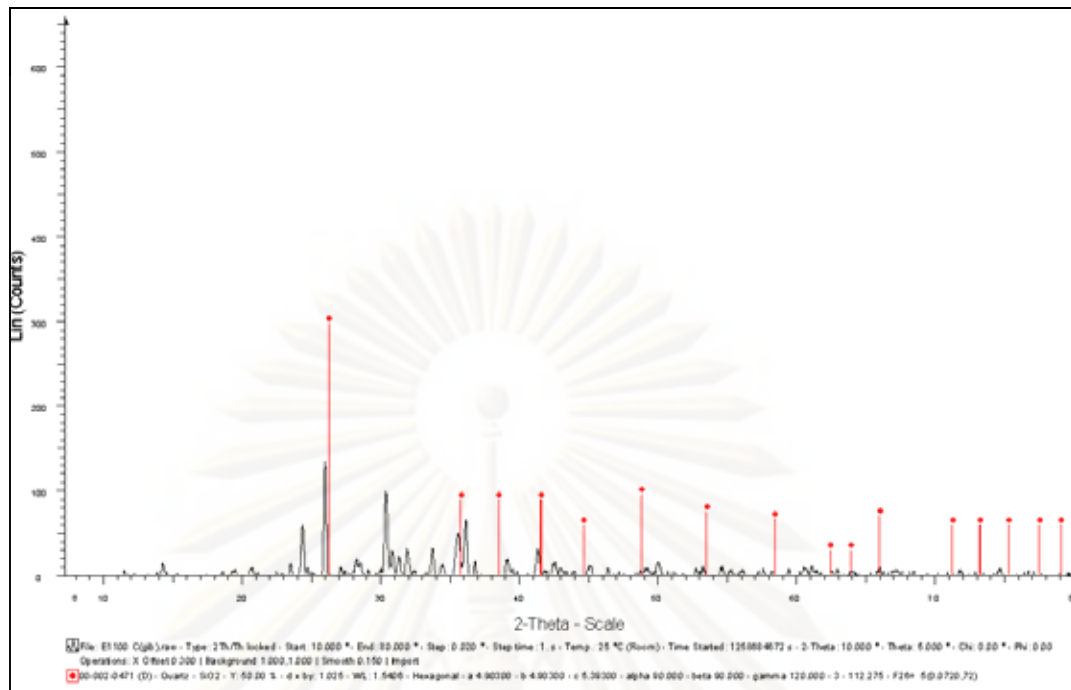
**ศูนย์วิทยหัพยากร  
จุฬาลงกรณ์มหาวิทยาลัย**



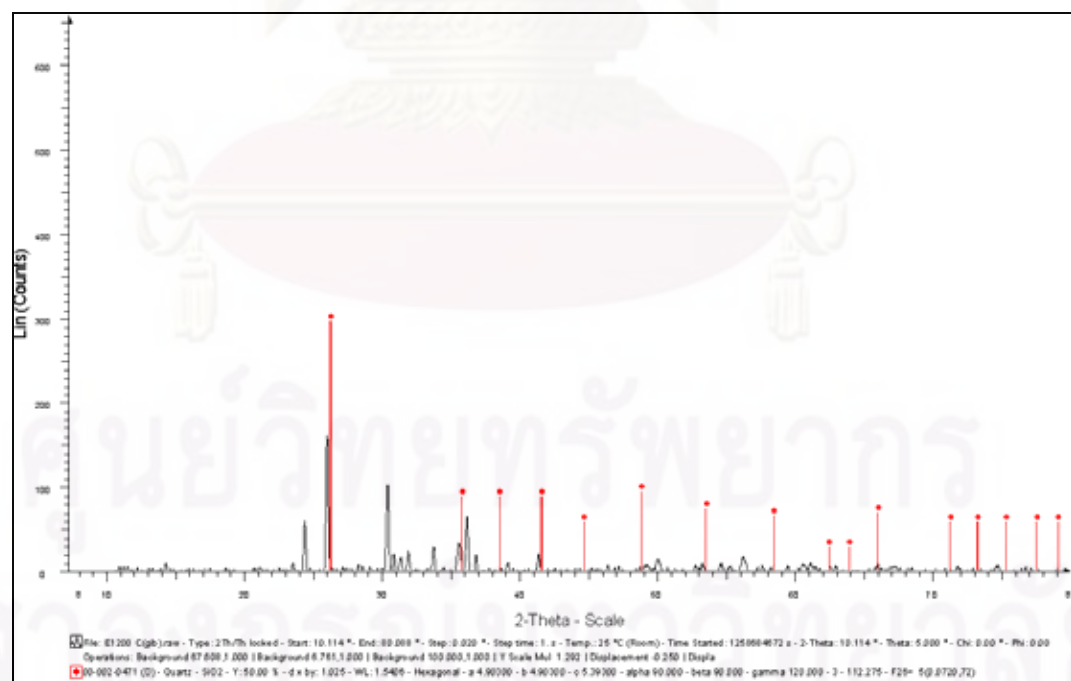
รูปที่ 29 แสดง Diffraction Pattern ตัวอย่างและชนิดของแร่หลังการเผาที่อุณหภูมิ 900°C  
(เด็นสีแดงแสดงตำแหน่งของแร่ควอตซ์)



รูปที่ 30 แสดง XRD Pattern ตัวอย่างและชนิดของแร่หลังการเผาที่อุณหภูมิ 1,000°C  
(เด็นสีแดงแสดงตำแหน่งของแร่ควอตซ์)



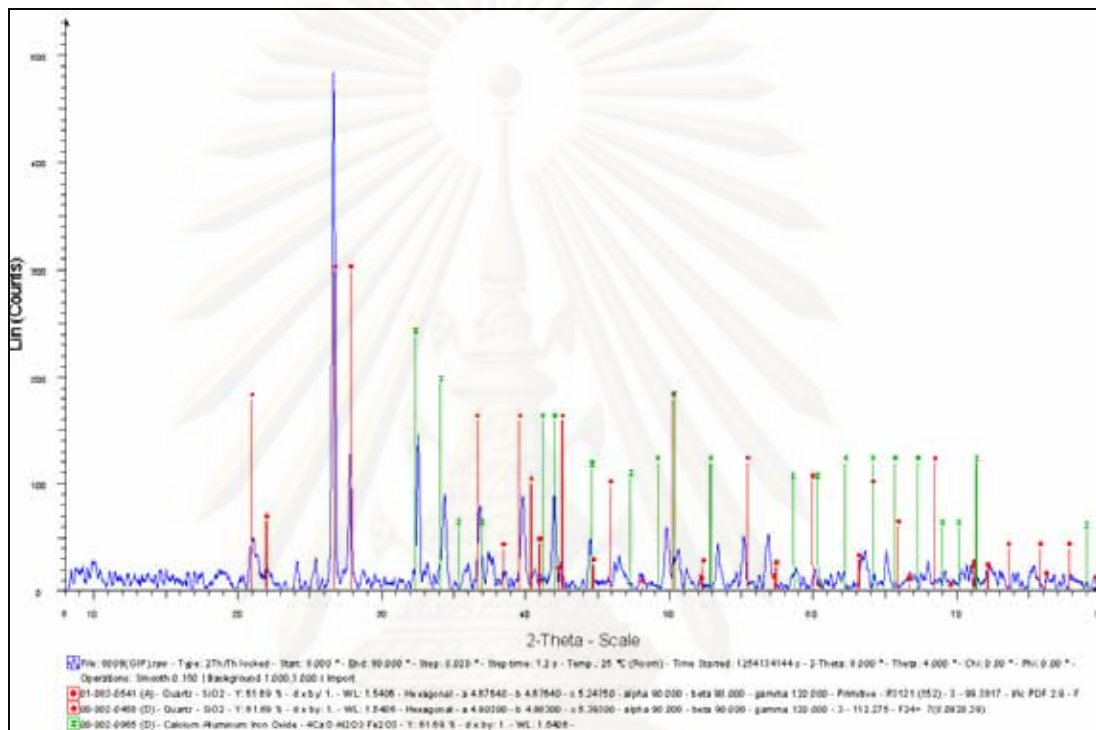
รูปที่ 31 แสดง XRD Pattern ตัวอย่างและชนิดของแร่หลังการเผาที่อุณหภูมิ 1,100°C  
(เส้นสีแดงแสดงตำแหน่งของแร่คือตัว)



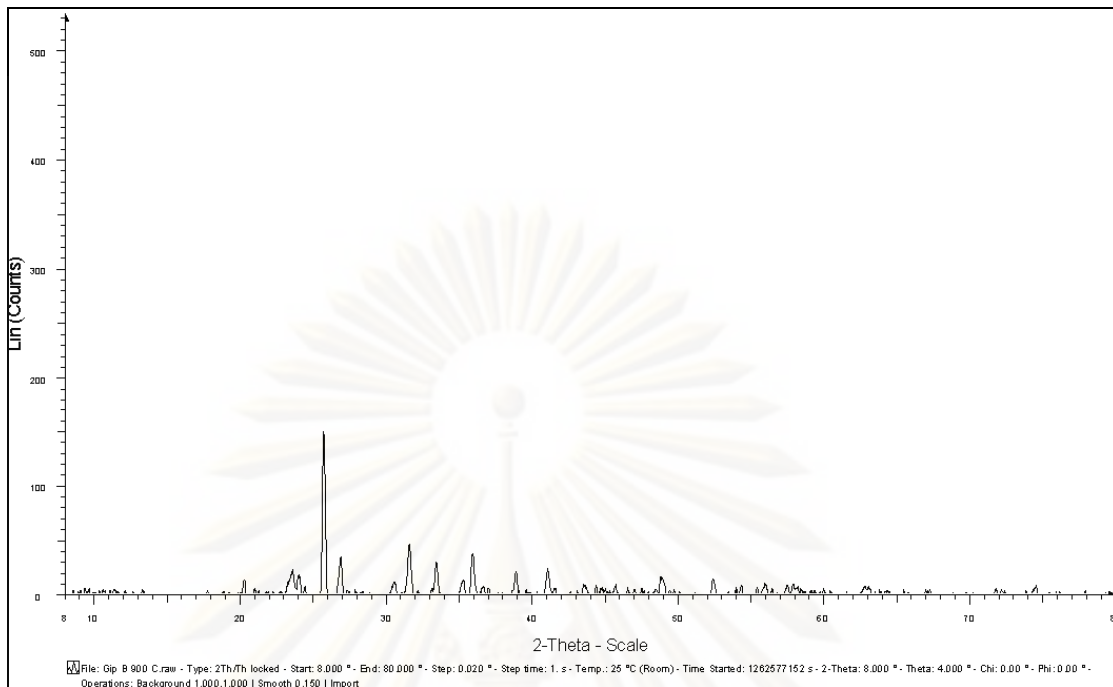
รูปที่ 32 แสดง XRD Pattern ตัวอย่างและชนิดของแร่หลังการเผาที่อุณหภูมิ 1,200°C  
(เส้นสีแดงแสดงตำแหน่งของแร่คือตัว)

จากรูปที่ 28 - 32 พบว่า มีการเปลี่ยนแปลงขนาดของXRD Pattern ที่เด่นชัดที่สุด คือระหว่างอุณหภูมิ  $800^{\circ}\text{C}$  -  $900^{\circ}\text{C}$  หลังจากนั้น ขนาดของXRD Pattern มีขนาดเล็กลง แสดงว่า ชนิดของแร่หลังการเผาที่อุณหภูมิเปลี่ยนไปไม่มากนักเมื่ออุณหภูมิสูงขึ้น

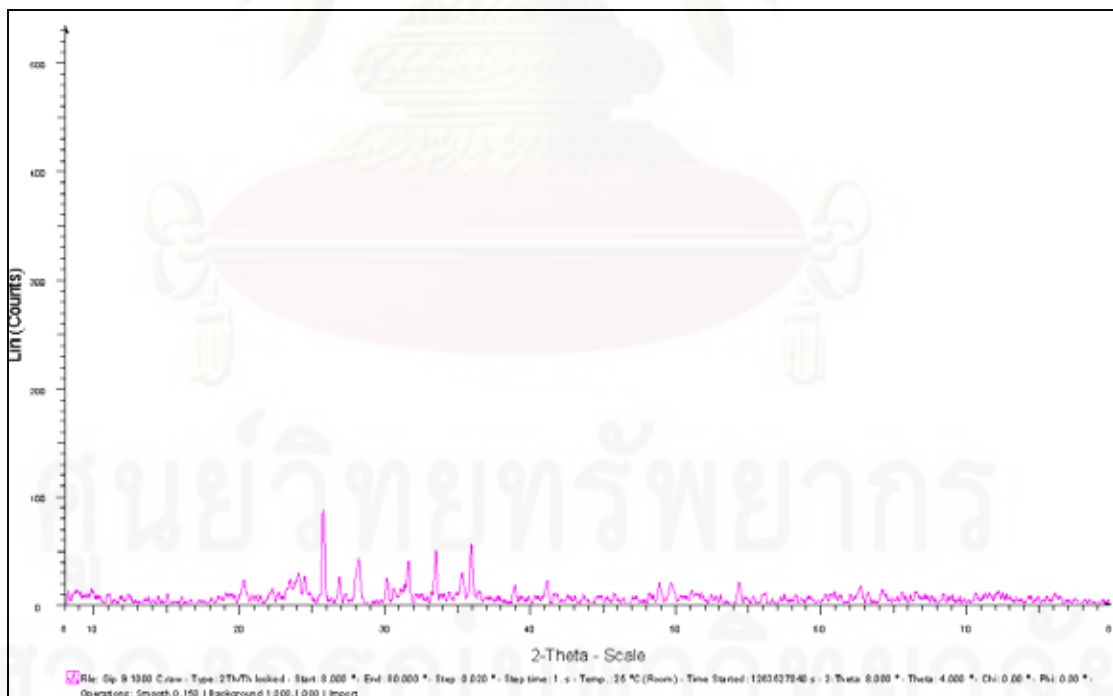
## 2.2 ตัวอย่าง Q2 40% + Q4 60%



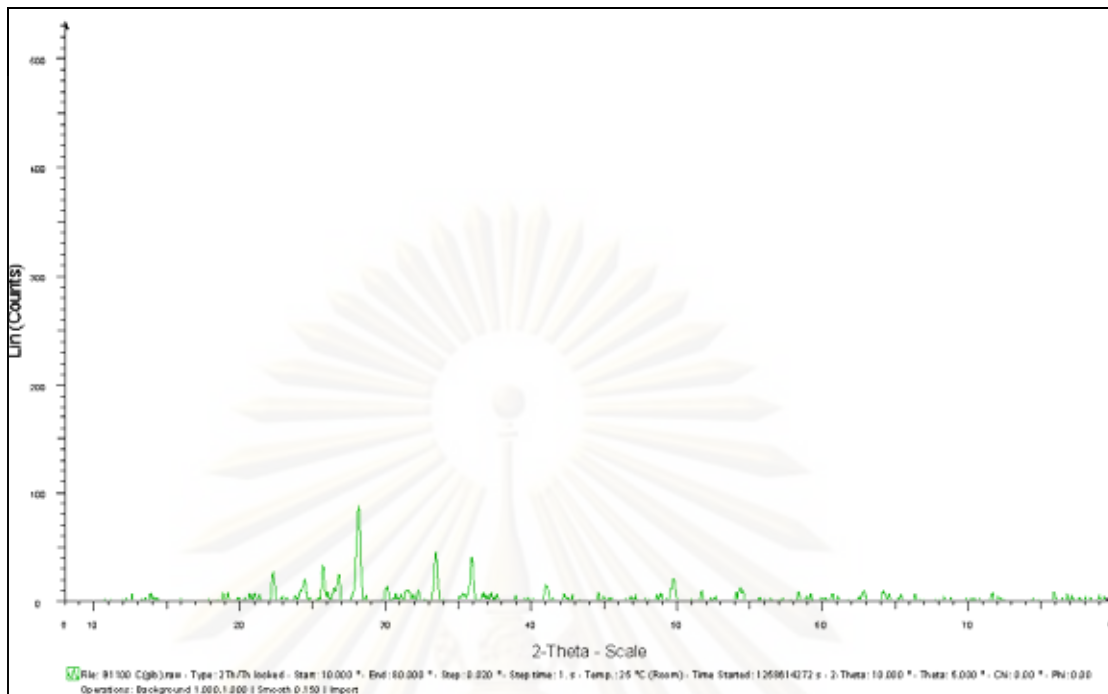
รูปที่ 33 แสดง XRD Pattern ตัวอย่างและชนิดของแร่หลังการเผาที่อุณหภูมิ  $800^{\circ}\text{C}$  (เส้นสีแดงแสดงตำแหน่งของแร่ควอตซ์, เส้นสีเขียวแสดงตำแหน่งของกลุ่มแร่แคลเซียมอลูมิเนียมไอ-รอนออกไซด์)



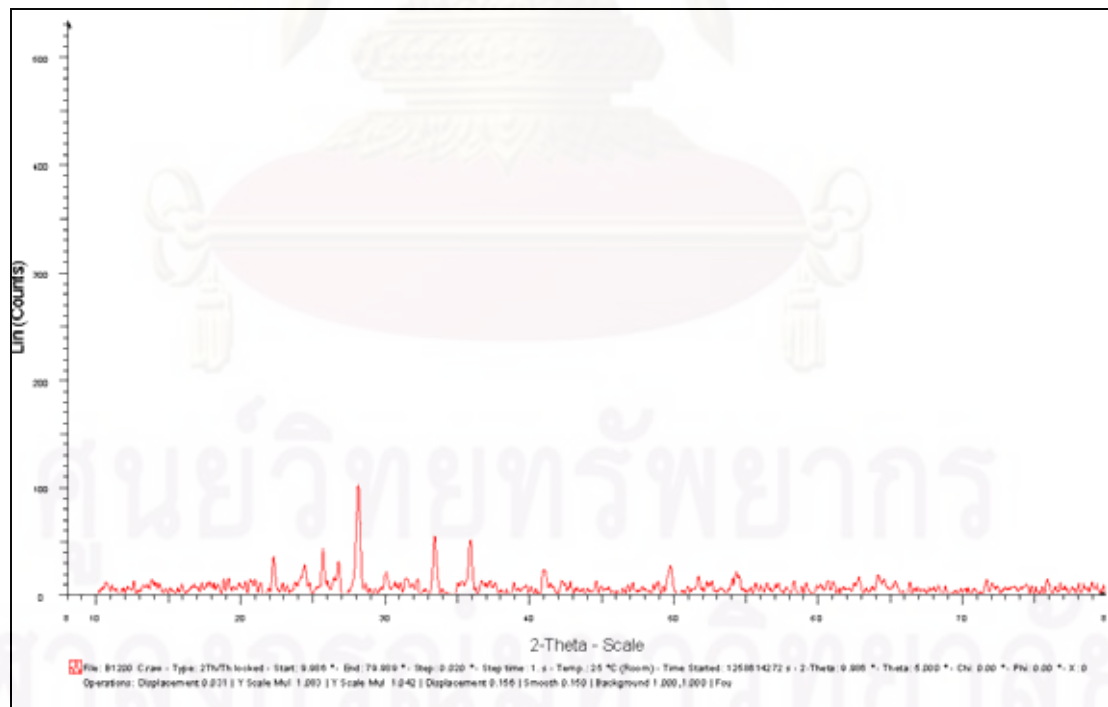
รูปที่ 34 แสดง XRD Pattern ตัวอย่างที่อุณหภูมิ  $900^{\circ}\text{C}$



รูปที่ 35 แสดง XRD Pattern ตัวอย่างที่อุณหภูมิ  $1,000^{\circ}\text{C}$



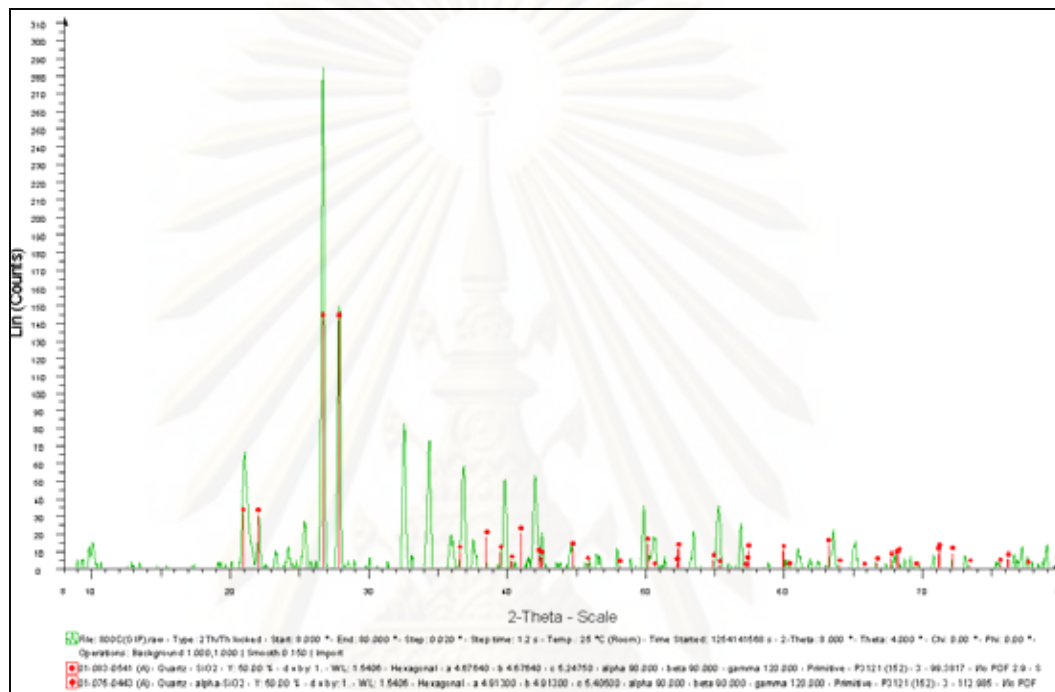
รูปที่ 36 แสดง Diffraction Pattern ตัวอย่างที่อุณหภูมิ 1,100°C



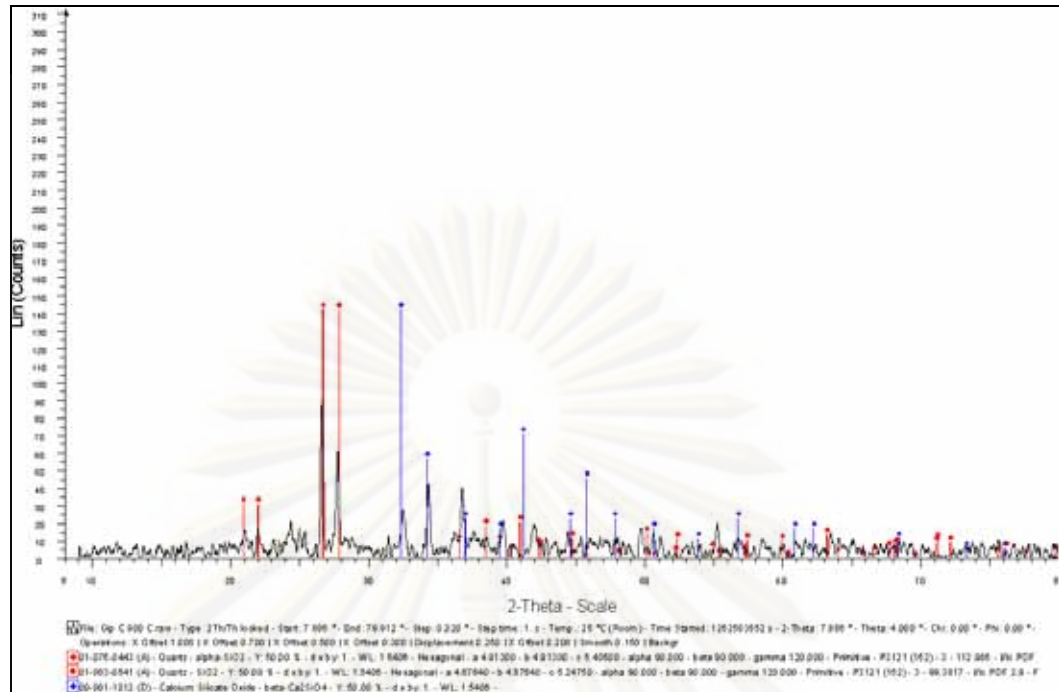
รูปที่ 37 แสดง Diffraction Pattern ตัวอย่างที่อุณหภูมิ 1,200°C

จากรูปที่ 33 – 37 พบว่าที่อุณหภูมิ  $800^{\circ}\text{C}$  จะพบ XRD Pattern ของแร่ควอตซ์ และกลุ่มแร่แคลเซียมอลูมินัม ไอกวนออกไซด์ชัดเจน แต่เมื่ออีกอุณหภูมิ  $900^{\circ}\text{C}$  จนถึงอุณหภูมิ  $1,200^{\circ}\text{C}$  พบว่า ขนาดของ XRD Pattern ลดลง

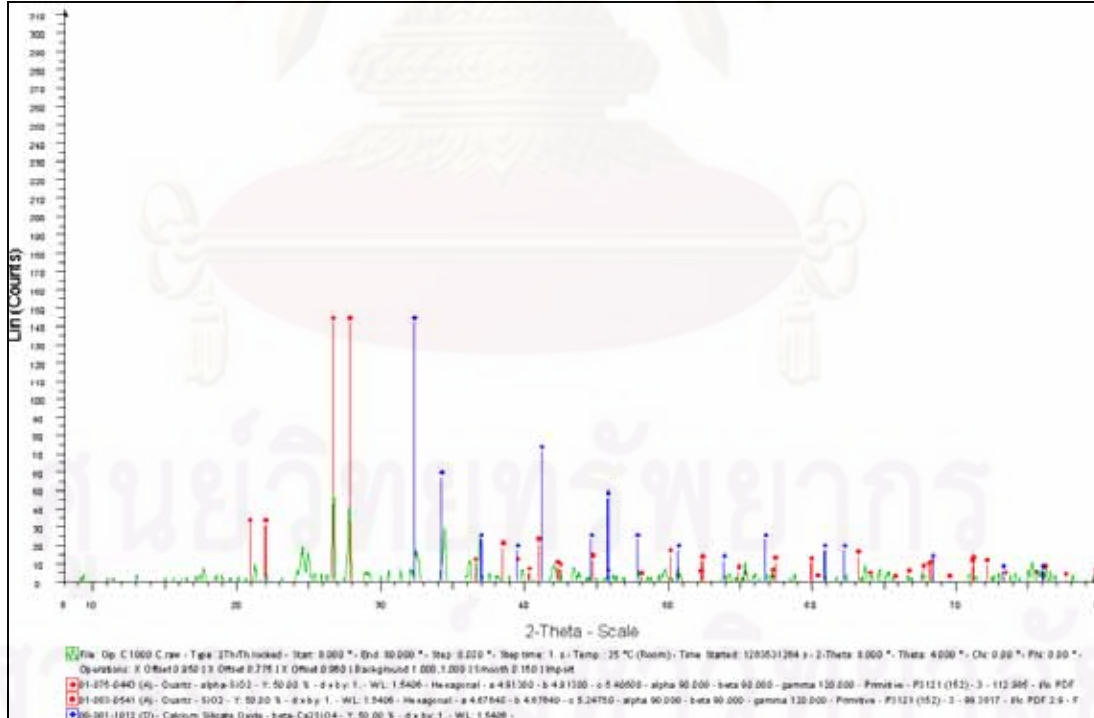
### 2.3 ตัวอย่าง Q2 60% + Q4 40%



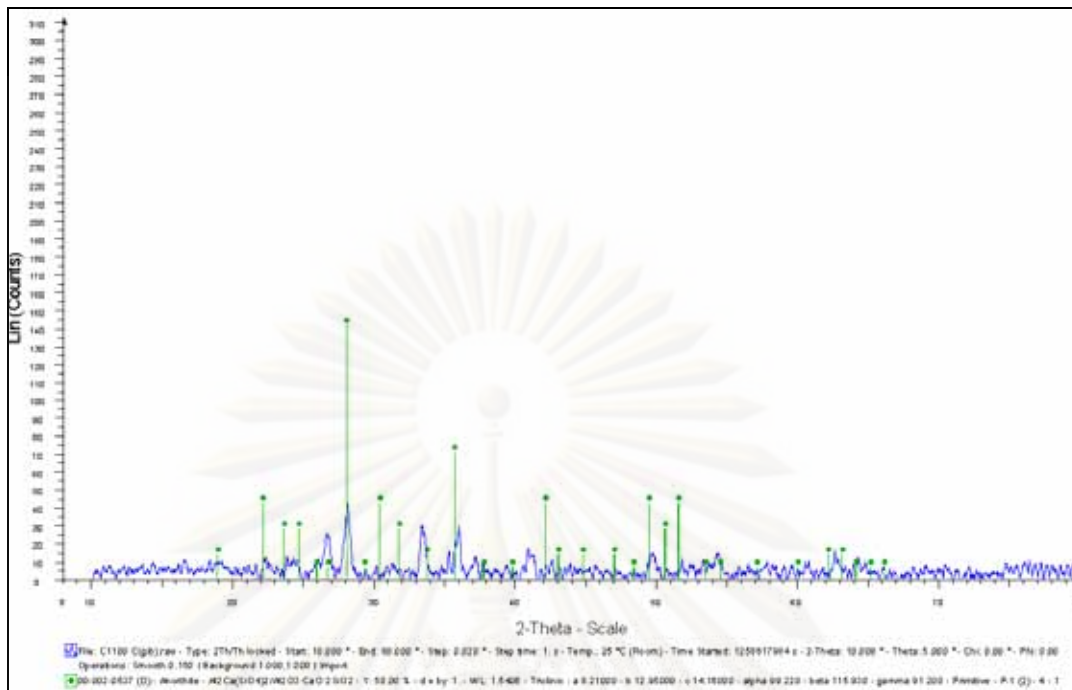
รูปที่ 38 แสดง Diffraction Pattern ตัวอย่างและชนิดของแร่หลังการเผาที่อุณหภูมิ  $800^{\circ}\text{C}$   
(เส้นสีแดงแสดงตำแหน่งของแร่ควอตซ์)



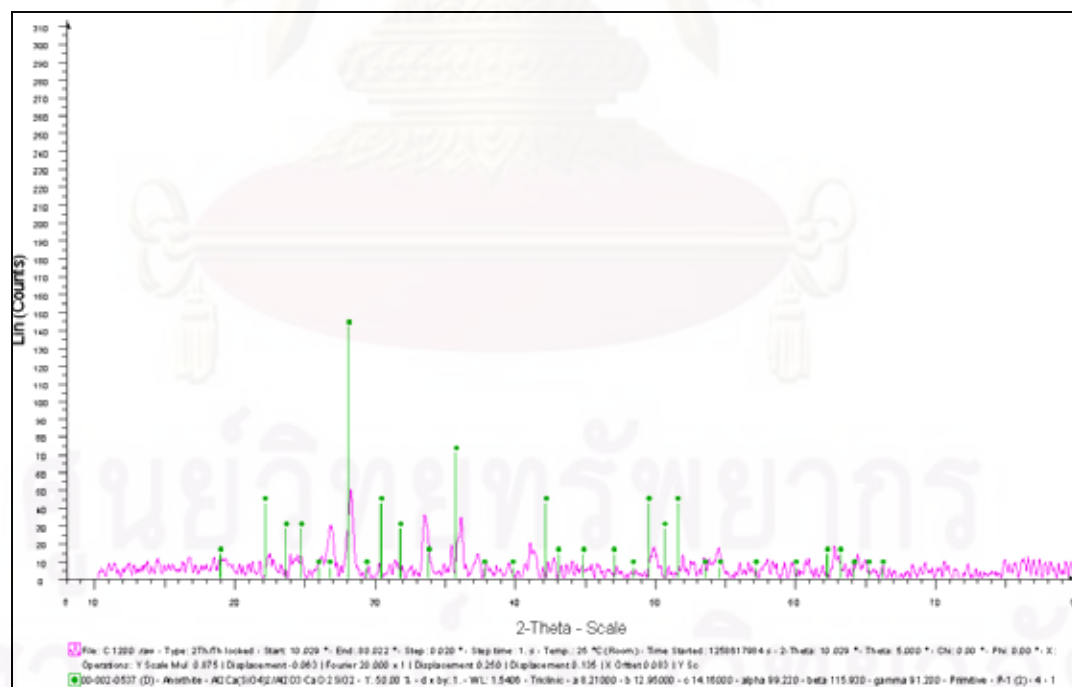
รูปที่ 39 แสดงDiffraction Patternตัวอย่างและชนิดของแร่หลังการเผาที่อุณหภูมิ 900°C  
(เส้นสีแดงแสดงตำแหน่งของแร่คือต์ซ์, เส้นสีน้ำเงินแสดงตำแหน่งของกลุ่มแร่แคลเซียมซิลิกेट)



รูปที่ 40 แสดงXRD Pattern ตัวอย่างและชนิดของแร่หลังการเผาที่อุณหภูมิ 1,000°C  
(เส้นสีแดงแสดงตำแหน่งของแร่คือต์ซ์, เส้นสีน้ำเงินแสดงตำแหน่งของกลุ่มแร่แคลเซียมซิลิกेट)



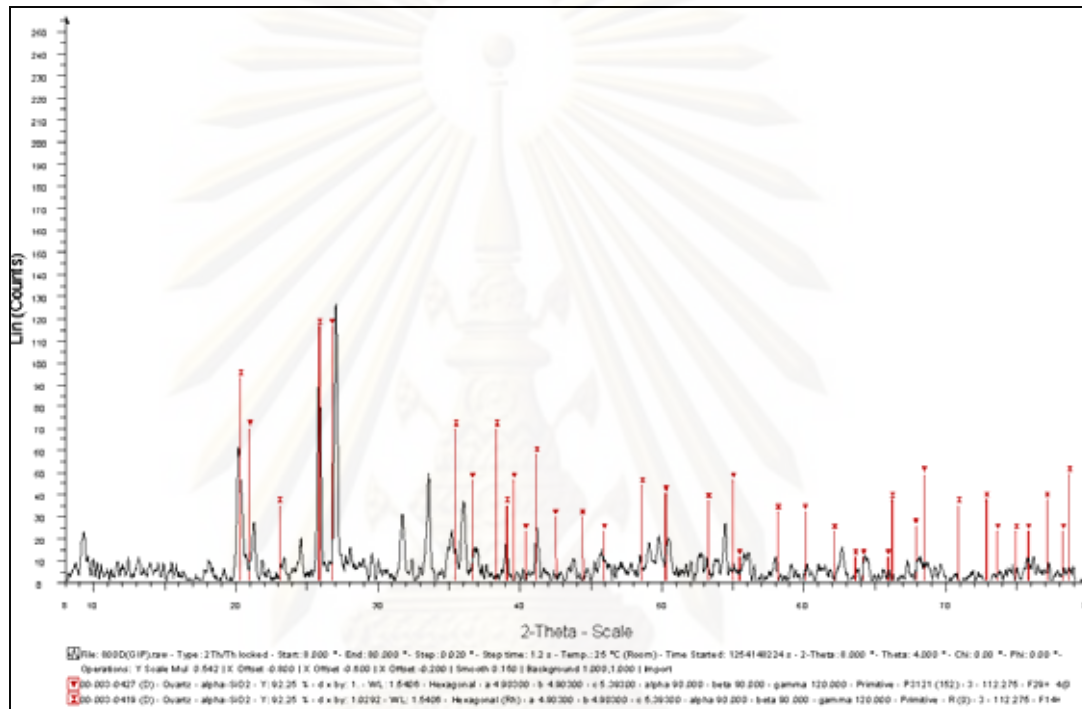
รูปที่ 41 แสดง Diffraction Pattern ตัวอย่างและชนิดของแร่หลังการเผาที่อุณหภูมิ 1,100°C  
(เส้นสีเขียวแสดงตำแหน่งของแร่อะโนร์ไธต์)



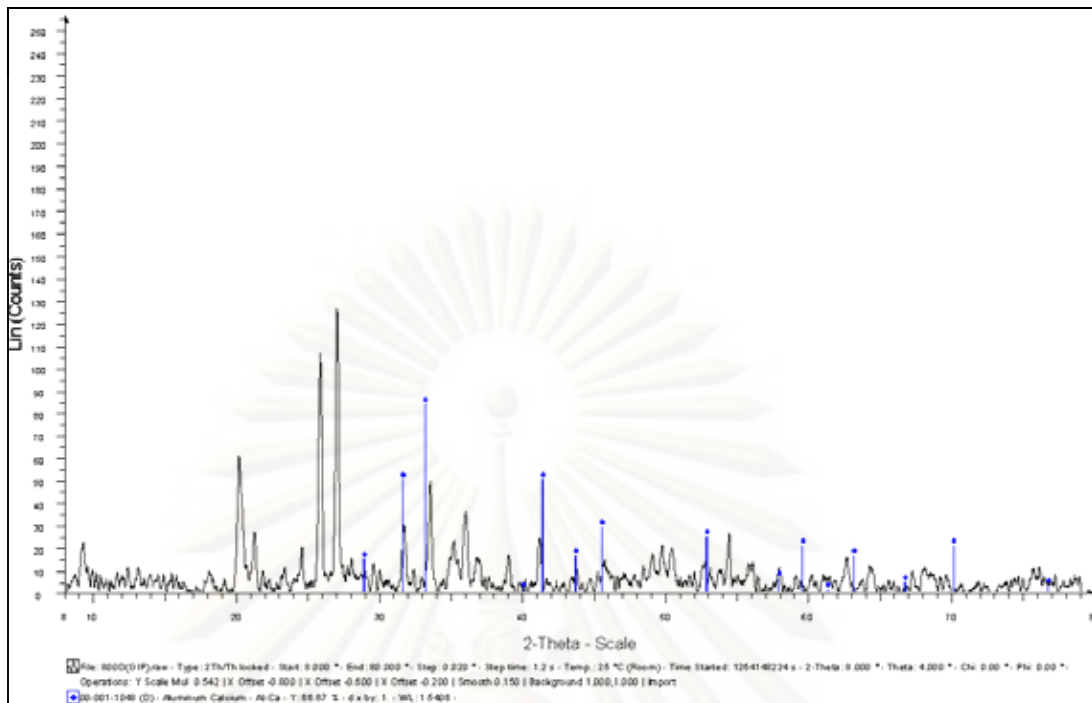
รูปที่ 42 แสดง Diffraction Pattern ตัวอย่างและชนิดของแร่หลังการเผาที่อุณหภูมิ 1,200°C  
(เส้นสีเขียวแสดงตำแหน่งของแร่อะโนร์ไธต์)

จากรูปที่ 38 – 42 พบว่า แบบ XRD Pattern มีการเปลี่ยนแปลงขนาดระหว่าง อุณหภูมิ  $800^{\circ}\text{C}$  -  $900^{\circ}\text{C}$  และมีการเปลี่ยนแปลงชนิดของแร่หลังการเผาที่อุณหภูมิจากแร่ควอตซ์ กับกลุ่มแร่แคลเซียมซิลิกेटเป็นแร่อะโนไทต์ที่อุณหภูมิ  $1,100^{\circ}\text{C}$

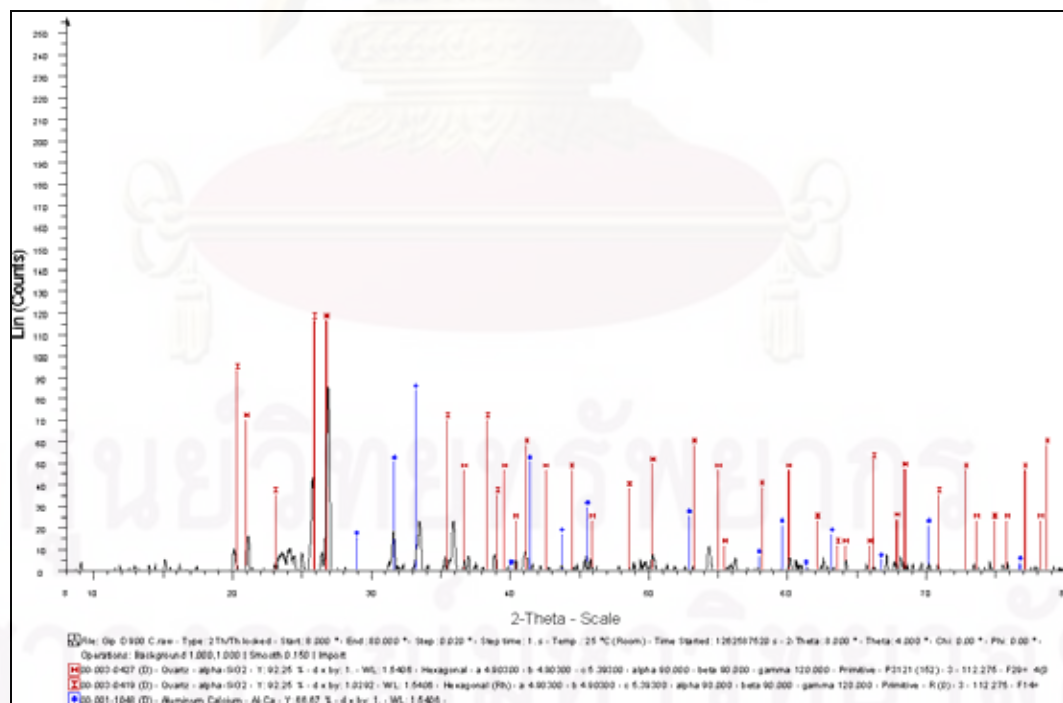
#### 2.4 ตัวอย่าง Q2 80% + Q4 20%



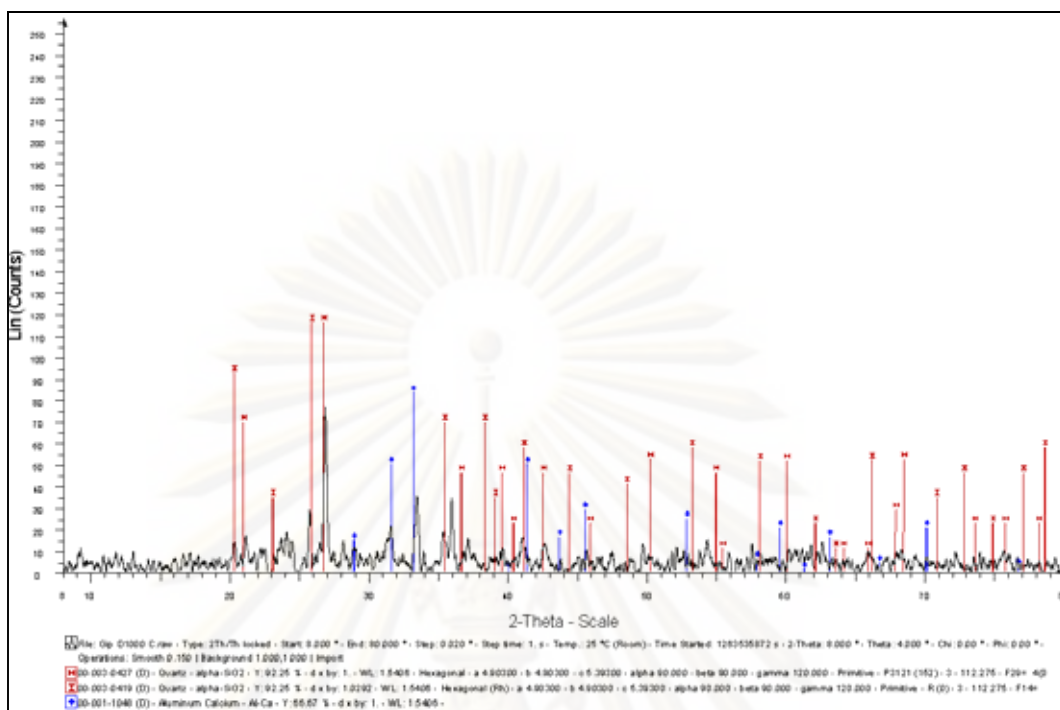
รูปที่ 43 แสดง Diffraction Pattern ตัวอย่างและชนิดของแร่หลังการเผาที่อุณหภูมิ  $800^{\circ}\text{C}$   
 (เล่นสีแดงแสดงตำแหน่งของแร่ควอตซ์)



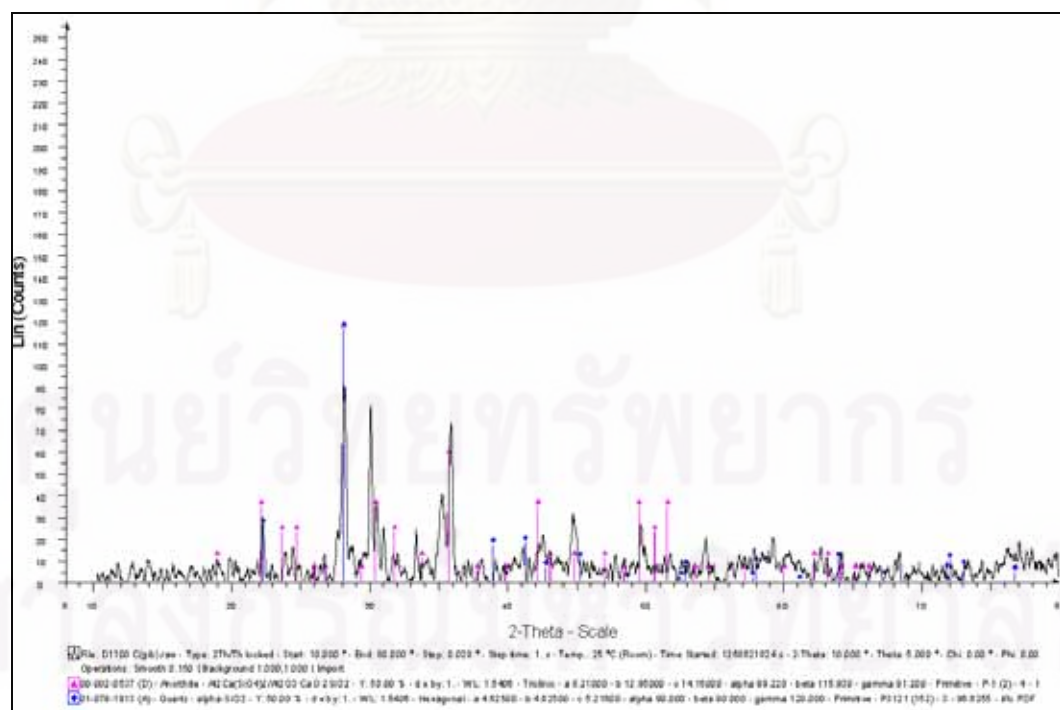
รูปที่ 44 แสดง Diffraction Pattern ตัวอย่างและชนิดของแร่หลังการเผาที่อุณหภูมิ 800°C  
(เส้นสีน้ำเงินแสดงตำแหน่งของกลุ่มแร่แคลเซียมอะลูминัม)



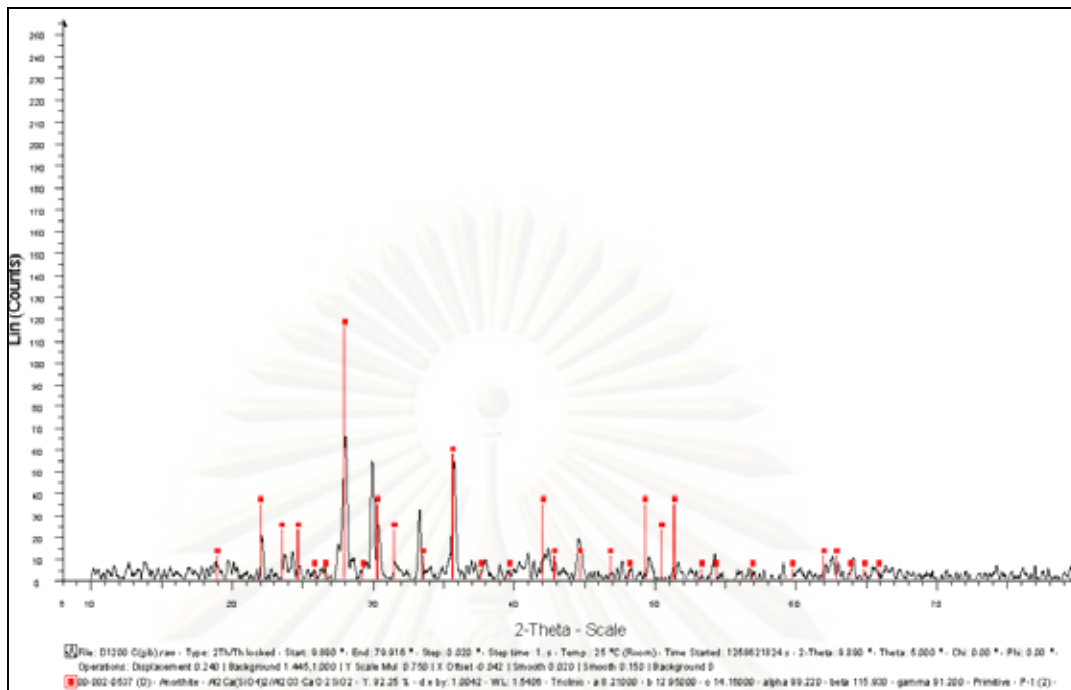
รูปที่ 45 แสดง Diffraction Pattern ตัวอย่างและชนิดของแร่หลังการเผาที่อุณหภูมิ 900°C  
(เส้นสีแดงแสดงตำแหน่งของแร่คอตซ์, เส้นสีน้ำเงินแสดงตำแหน่งของกลุ่มแร่แคลเซียมอะลูминัม)



รูปที่ 46 แสดง Diffraction Pattern ตัวอย่างและชนิดของแร่หลังการเผาที่อุณหภูมิ 1,000°C (สีเขียวแสดงตำแหน่งของแร่ควอตซ์, สีฟ้าแสดงตำแหน่งของกลุ่มแร่แคลเซียมอะลูมิնัม)



รูปที่ 47 แสดง Diffraction Pattern ตัวอย่างและชนิดของแร่หลังการเผาที่อุณหภูมิ 1,100°C (สีเขียวแสดงตำแหน่งของแร่ควอตซ์, สีฟ้าแสดงตำแหน่งของแร่อะโนไท์)



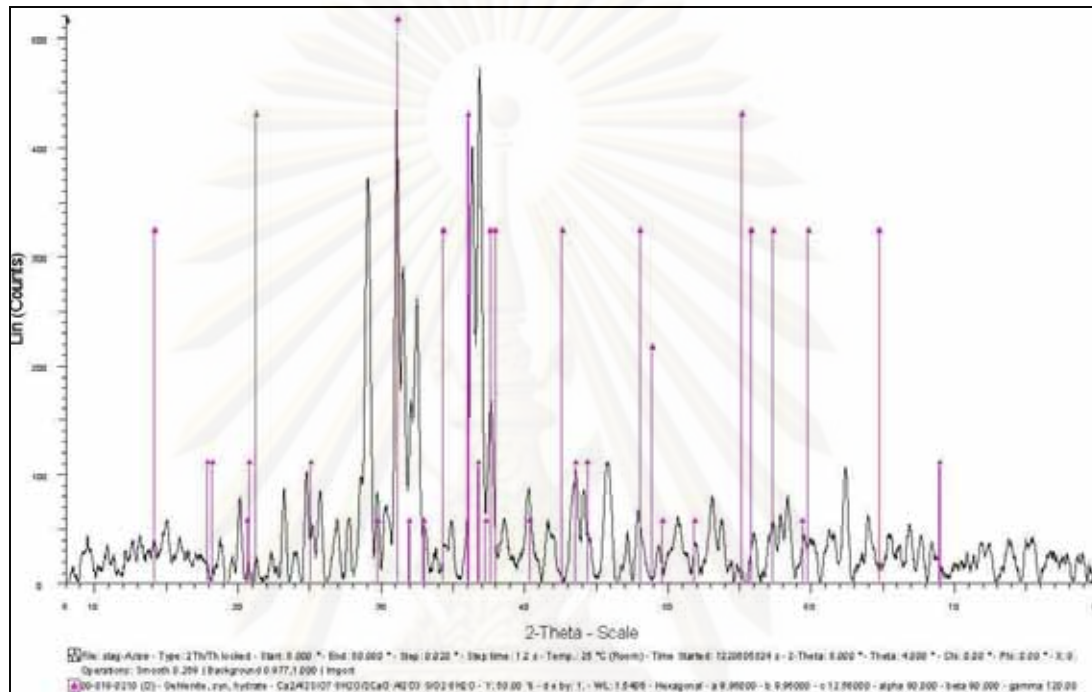
รูปที่ 48 แสดง Diffraction Pattern ตัวอย่างและชนิดของแร่หลังการเผาที่อุณหภูมิ 1,200°C  
(เส้นสีเข้มพูดแสดงตำแหน่งของแร่ในอิฐ)

จากรูปที่ 43 – 48 มีการเปลี่ยนแปลงชนิดของแร่หลังการเผาที่อุณหภูมิจากกลุ่มแร่เคลือร์ไซมอนอะลูมินัมเป็นแร่ออกานอิथที่อุณหภูมิ 1,100°C หลังจากนั้นไม่พบแร่คือตซที่อุณหภูมิ 1,200°C

### 3 ผลการวิเคราะห์ตัวอย่างตะกรันด้วยเครื่อง X-Ray Diffractometer (XRD)

จากการวิเคราะห์ตัวอย่างตะกรัน Slag A, Slag B, Slag C และ Slag D ที่ได้จากแต่ละตัวอย่างของผนังหม้าโภน้ำด้วยเครื่อง XRD ได้ผลดังนี้

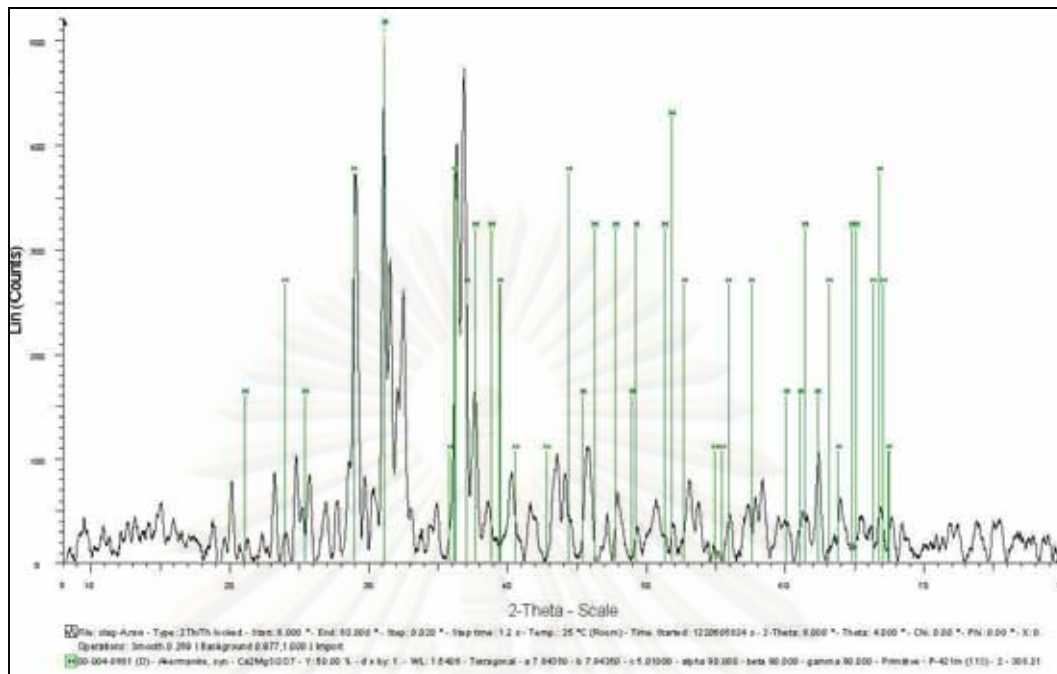
#### 3.1 ตัวอย่าง Slag A



รูปที่ 49 XRD Pattern XRD ของตัวอย่าง Slag A

(เส้นสีชมพูแสดงตำแหน่งของแร่เก็ทต์เลอโน๊ต)

ศูนย์วิทยาทรัพยากร  
จุฬาลงกรณ์มหาวิทยาลัย

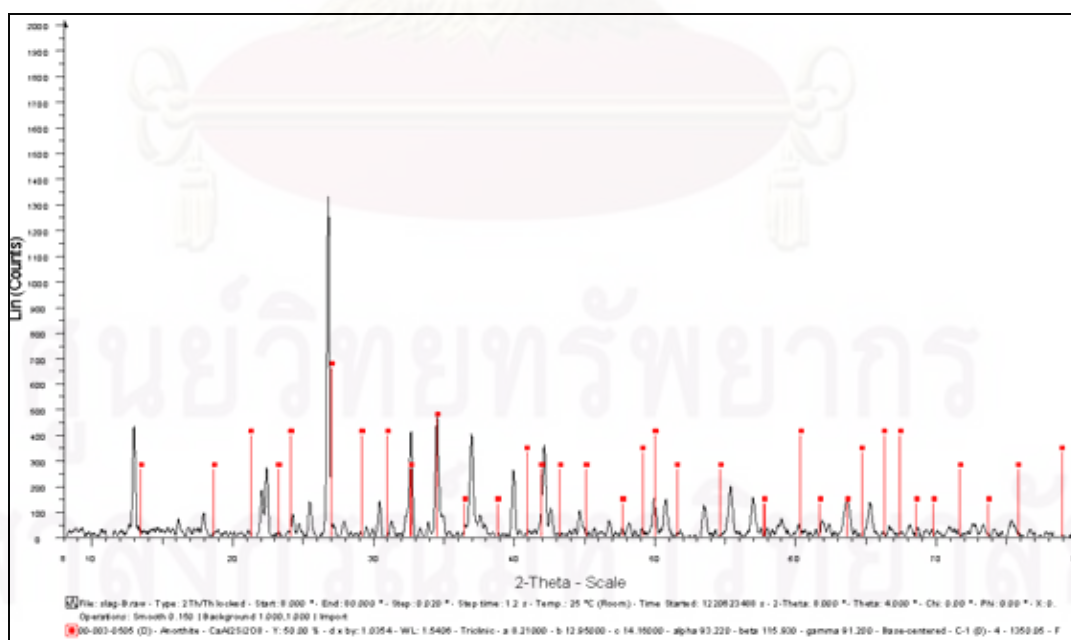


รูปที่ 50 XRD Pattern XRD ของตัวอย่าง Slag A

(เส้นสีเขียวแสดง Peak ของแร่օบเชคอร์มานิต)

จากรูปที่ 49-50 พบว่า ตัวอย่าง Slag A มีชนิดของแร่หลังการเผาที่คุณภาพมีคือ  
แร่เกล็อกโนนิต และแร่օบเชคอร์มานิต

### 3.2 ตัวอย่าง Slag B

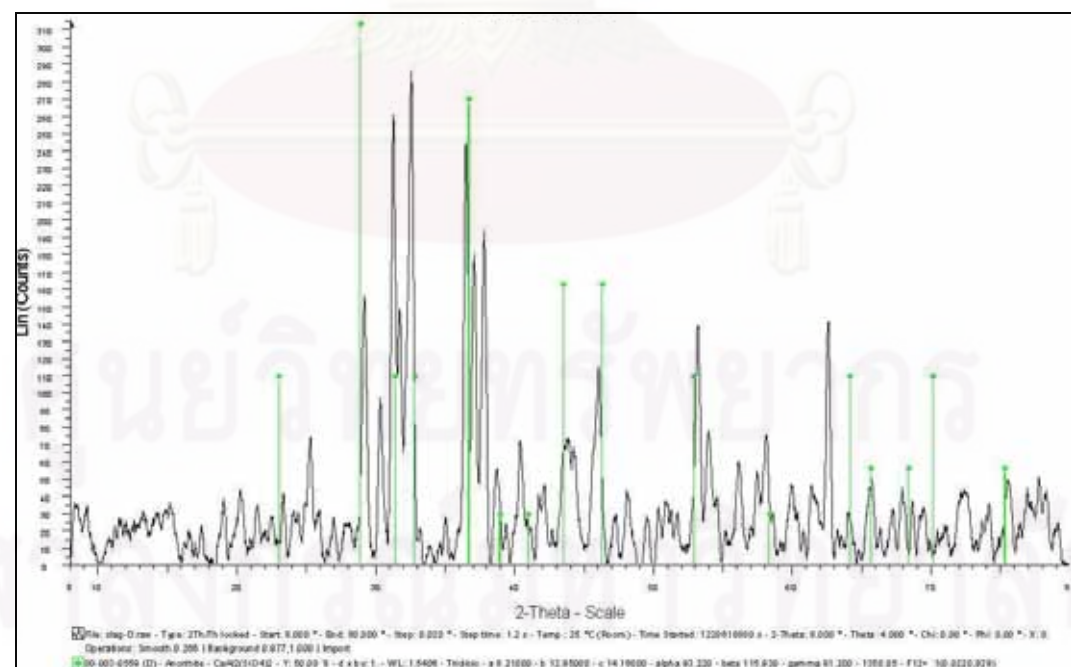
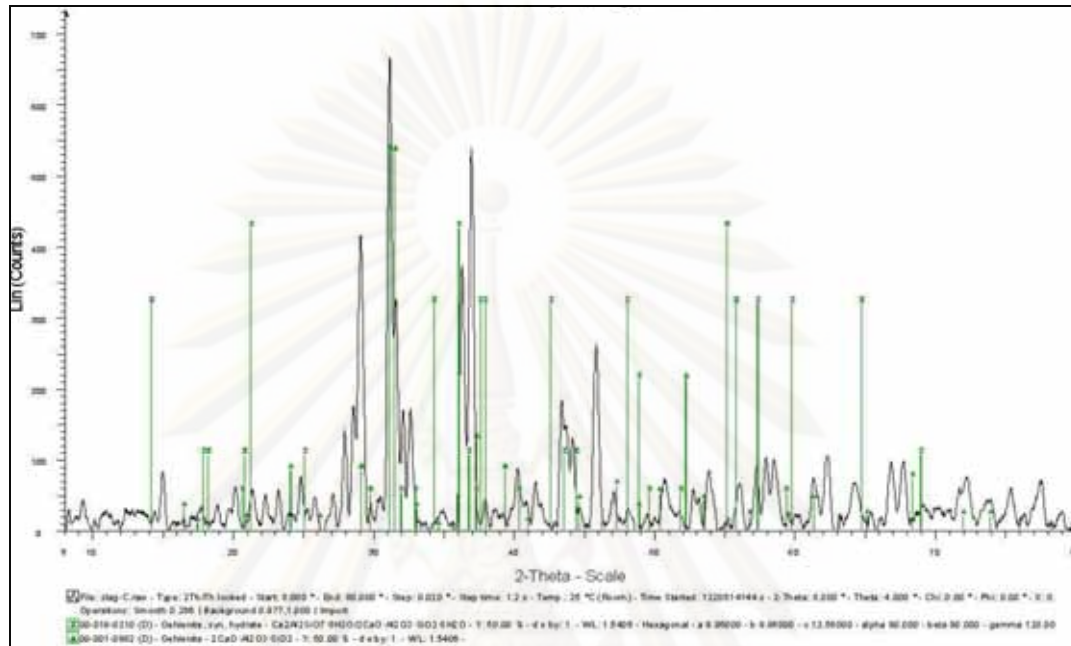


รูปที่ 51 XRD Pattern XRD ของตัวอย่าง Slag B

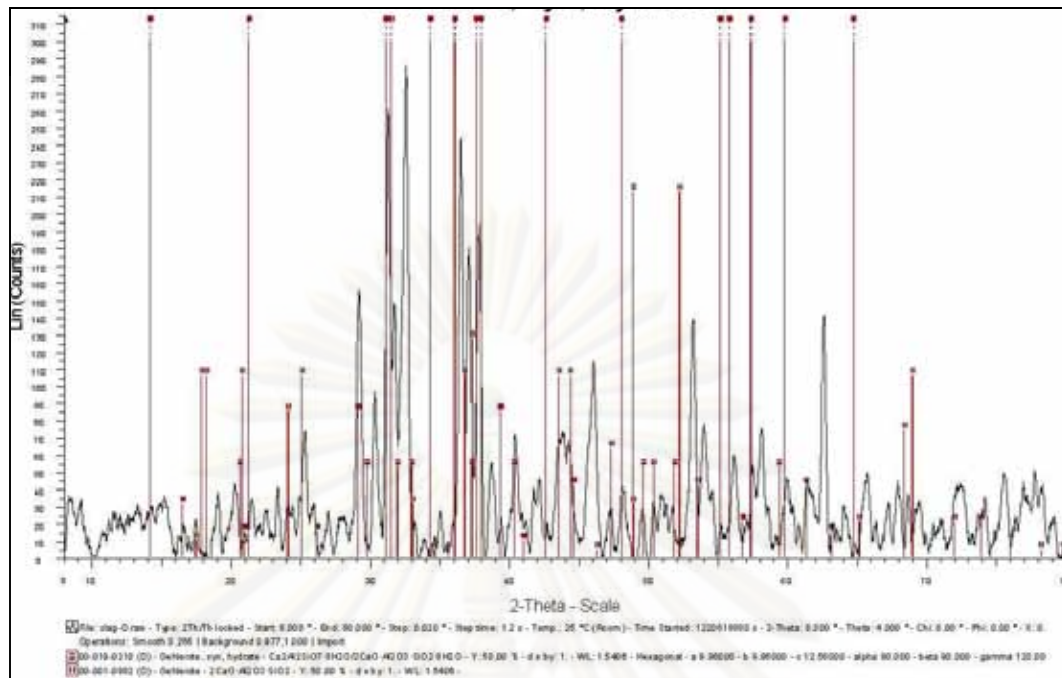
(เส้นสีน้ำตาลแสดงตำแหน่งของแร่อนโนไซต์)

จากรูปที่ 51 พบว่า ตัวอย่าง Slag B มีชนิดของแร่หลังการเผาที่อุณหภูมิคือ แร่ calcium ferrite และแร่อ่อนอุ่นอิทธิ์

### 3.3 ตัวอย่าง Slag C



รูปที่ 53 XRD Pattern XRD ของตัวอย่าง Slag C  
(เส้นสีเขียวแสดงตำแหน่งของแร่เอ็นโซลิโน)



รูปที่ 54 XRD Pattern XRD ของตัวอย่าง Slag C  
(เส้นสีแดงแสดงตำแหน่งของแร่เก็ทเลอเรต์)

ศูนย์วิทยหัพยากร  
จุฬาลงกรณ์มหาวิทยาลัย

## ประวัติผู้เขียนวิทยานิพนธ์

นายพิชชา ศรีบุศย์ดี จบการศึกษาจากภาควิชาวิทยาศาสตร์ทั่วไป จากคณะวิทยาศาสตร์ มหาวิทยาลัยเกษตรศาสตร์ ปี พ.ศ. 2546 ปัจจุบันได้เข้ารับการศึกษาต่อในระดับปริญญาโท สาขาวิชาวิศวกรรมทรัพยากรถรถน์ คณะวิศวกรรมศาสตร์ จุฬาลงกรณ์มหาวิทยาลัย ในปี พ.ศ. 2550 จนถึงปัจจุบัน

ศูนย์วิทยหัพยการ  
จุฬาลงกรณ์มหาวิทยาลัย